

03ანე ჯავახიშვილის სახელობის თბილისის სახელმწიფო უნივერსიტეტი
მედიცინის ფაკულტეტი

რუსული ივანიშვილი

პაროდონტის ქსოვილებაზე პირდაპირი ვინირების ზეგავლენის კლინიკურ-ბაქტერიოლოგიური თავისებურებები

მედიცინის დოქტორის აკადემიური ხარისხის მოსაპოვებლად
წარმოდგენილი დისერტაცია

სამეცნიერო ხელმძღვანელები:
გლადიმერ მარგელაშვილი
მედიცინის მეცნიერებათა დოქტორი, პროფესორი,
ივანე ჯავახიშვილის სახელობის თბილისის სახელმწიფო უნივერსიტეტის
მედიცინის ფაკულტეტის სტომატოლოგიისა და ყბა-სახის ქირურგიის
დეპარტამენტის ხელმძღვანელი

განანა კალანდაძე
მედიცინის აკადემიური დოქტორი, ასოცირებული პროფესორი,
ივანე ჯავახიშვილის სახელობის თბილისის სახელმწიფო უნივერსიტეტის
მედიცინის ფაკულტეტის სტომატოლოგიისა და ყბა-სახის ქირურგიის
დეპარტამენტი

თბილისი 2014 წელი



თბილისის
უნივერსიტეტის
გამოცემობა

სარჩევი

შესავალი	3
თავი I. ლიტერატურული მიმოხილვა	7
თავი II. მასალა და მეთოდები	27
თავი III. საკუთარი კვლევის შედეგები	36
3.1. საკუთარი მასალის დახასიათება	37
3.2. კბილის ესთეტიკური დაფაქტების გავრცელების რისკ ფაქტორებისა და ვინირების საჭიროების შეფასება საქართველოს მოსახლეობაში	51
3.3. ვინირების გართულებების რისკის შეფასება	57
3.4. ვინირების გართულების პროგნოზირება	65
3.5. პირის ღრუს ლორწოვანი გარსის მიკრობიოლოგიური სტატუსი ვინირებამდე და ვინირების შემდეგ	67
კლინიკური მაგალითები	95
თავი IV. განხილვა	99
დასკვნები და პრაქტიკული რეკომენდაციები	110
გამოყენებული ლიტერატურა	114

შესავალი

სტომატოლოგიაში დიდი მნიშვნელობა ენიჭება კბილების კოსმეტიკური საფარველის შერჩევას [4]. უკვე 20 წელზე მეტია, რაც ამ მიზნით გამოიყენება ფაიფურის და კომპოზიციური მასალებით ვინირება. მათი გამოყენება გამართლებულია როგორც ესთეტიკური, ისე პრაქტიკული თვალსაზრისით [59, 176, 38, 34, 228].

ვინირება წარმოადგენს მინიმალურად აგრესიულ მკურნალობას [164]. მისი წარმატება დამოკიდებულია დიაგნოსტიკურ მიღვომებზე, კონტინგენტის სწორ შერჩევაზე, კბილის შესაბამის მომზადებასა და ადჰეზიური მიმაგრების პროცედურაზე [37], თუმცა ზოგიერთ შემთხვევაში ვინირება შეიძლება გახდეს პირის დრუს პათოლოგიური პროცესის მაპროვოცირებელი ფაქტორი. პირის დრუს ადგილობრივ ფლორას მნიშვნელოვანი როლი აკისრია ადამიანების ჯანმრთელობაში. იგი მონაწილეობს იმუნური სისტემის განვითარებაში და უზრუნველყოფს პათოგენური მიკროორგანიზმებით კოლონიზაციისადმი რეზისტენტობას [131, 53, 24].

ტექნიკური გართულებებიდან აღსანიშნავია ვინირის მორყევა და წანაცვლება, აცლა, დაბზარვა. ვინირის სიცოცხლის ხანგრძლივობა დამოკიდებულია როგორც სტომატოლოგის კვალიფიკაციაზე, ისე პირის დრუს საწყის მახასიათებლებზე [32].

მიუხედავად იმისა, რომ ლიტერატურაში ცნობილია ვინირების შემდგომი გართულებები [5, 6], დღემდე არ არსებობს გართულებათა მაპროვოცირებელ რისკ-ფაქტორთა ჩამოყალიბებული სისტემა, რომელიც გამოავლენდა შედარებით უფრო აგრესიულ ფაქტორს მრავალრიცხვან მიზეზთა ჩამონათვალში. გართულებების პრედიქტორების განსაზღვრა კი აუცილებელია ვინირების აფექტურობის ასამაღლებლად და დაავადებათა პრევენციისათვის.

დღეისათვის სათანადოდ არ არის შესწავილი ვინირების გართულებათა კავშირი პირის დრუს ინიციალურ მახასიათებლებთან, ვინირების გამოსავლის დამოკიდებულება ორგანიზმის ზოგად მდგომარეობასთან, კვების ტიპთან, სოციალურ, ბიოლოგიურ ფაქტორებთან და მავნე ჩვევებთან. მნიშვნელოვანია ვინირების ჩვენებათა და წინააღმდეგ ჩვენებათა განსაზღვრა. არ არის გამოკვლეული პირის დრუს ლორწოვანი გარსის მიკრობიოლოგიური სტატუსი ვინირებამდე და ვინირების შემდეგ.

ყოველივე ზემოთქმულმა განაპირობა პირის დრუს კლინიკურ-ბაქტერიოლოგიური თავისებურებების შესწავლის აქტუალობა ვინირების დროს.

მთავარი

პაროდონტის ქსოვილებზე ვინირების ზეგავლენის კლინიკურ-ბაქტერიოლოგიური თავისებურებების შესწავლა.

ამოცანები

1. კბილის ესთეტიკური დეფექტების სიხშირისა და ვინირების საჭიროების შეფასება გამოკვლეულ კონტინგენტში;
2. კბილის ესთეტიკური დეფექტების რისკ ფაქტორების შეფასება გამოკვლეულ კონტინგენტში. პაროდონტის მახასიათებლების (PMA ინდექსი, პაროდონტული ინდექსი, ჰიგიენური ინდექსი) შესწავლა ვინირებამდე და ვინირების შემდეგ;
3. გართულების რისკის ფაქტორების დადგენა და გართულების რისკის შეფასება ვინირების შემდეგ;
4. კორელაციების დადგენა ვინირების გართულების ფაქტორებსა და პირის ღრუს ინიციალურ მახასიათებლებს შორის;
5. პირის ღრუს ბაქტერიოლოგიური მაჩვენებლების შედარებითი ანალიზი ვინირებამდე და ვინირების შემდეგ;
6. კორელაციების დადგენა ვინირების გართულების ფაქტორებსა და პირის ღრუს მიკრობიოლოგიურ მახასიათებლებს შორის.

სამეცნიერო სიახლეები

პირველად:

1. შესწავლილ იქნა ჰიგიენური, PMA და პაროდონტული ინდექსი ვინირებამდე და ვინირების შემდეგ;
2. შეფასდა რისკის ფაქტორები და გართულების რისკი ვინირების შემდეგ;
3. ჩატარებულ იქნა პირის ღრუს ბაქტერიოლოგიური მაჩვენებლების შედარებითი ანალიზი ვინირებამდე და ვინირების შემდეგ;
4. შესწავლილ იქნა ვინირების გართულების რისკის ფაქტორები და დადგინდა გართულების ფარდობითი და ატრიბუტული რისკი თითოეული ფაქტორისათვის;
5. დადგენილ იქნა კორელაციები ვინირების გართულების ფაქტორებსა და პირის ღრუს ინიციალურ მახასიათებლებსა და პირის ღრუს მიკრობიოლოგიურ მახასიათებლებს შორის;

6. შედგა რისკ ფაქტორების ანკეტა კითხვარი.

პრაქტიკული ღირებულება

დისერტაციის შედეგები ხელს შეუწყობს:

- ვინიორების გამოყნების ოპტიმიზაციას;
- ვინიორების ჩვენების განსაზღვრას პაროდონტის მახასიათებლების გათვალისწინებით;
- დაეხმარება პრაქტიკოს ექიმებს გართულების პრევენციასა და პროგნოზირებაში კონკრეტული კლინიკური შემთხვევის დროს.

კვლევის შედეგად შემუშავებულია გართულებათა რისკის შეფასების სისტემა; სამკურნალო-დიაგნოსტიკური ტაქტიკის ალორითმი.

სადისერტაციო ნაშრომის სტრუქტურა

ნაშრომში წარმოდგენილია: შესავალი, ლიტერატურის მიმოხილვა, საკუთარი გამოკვლევის შედეგები, მიღებული შედეგების ანალიზი, დასკვნები, პრაქტიკული რეკომენდაციები. გამოყენებული ლიტერატურის სია, რომელიც მოიცავს 229 წყაროს. შედეგები ასახულია 21 დიაგრამასა და 18 ცხრილში, ნაშრომი ილუსტრირებულია 15 ფოტოთ.

ଟାଙ୍କୋ I.

ଲୋତ୍ପରାତ୍ମନଙ୍କରୀ ମହାରାଜା

21-ე საუკუნის ესთეტიკური სტომატოლოგიის მიზანს წარმოადგენს როგორც ესთეტიკური, ისე მორფოლოგიური და ფუნქციური სრულყოფის მიღწევა [112, 161], რაც განსაზღვრავს ვინირების, როგორც თანამედროვე ესთეტიკური რესტავრაციის ძირითადი მიმართულების განვითარებას [35]. 1980-იანი წლების დასაწყისიდან ვინირება განიხილება მთლიანი გვირგვინის კონსერვაციულ ალტერნატივად [120]. იგი წარმოადგენს კბილის ვესტიბულარული ზედაპირის ადჰეზიურ მოპირკეთებას. ვინირება მთლიან გვირგვინთან შედარებით მოითხოვს კბილის ზედაპირული სტრუქტურის მინიმალურ მოცილებას, ოპტიმალური ფორმის, ფუნქციის და ესთეტიკის მიღწევით [103]. მრავალრიცხოვანი კვლევები ადასტურებს, რომ ვინირება უფრო მეტად აკმაყოფილებს ესთეტიკურ მოთხოვნებს, ხოლო სხვა პარამეტრებით უახლოვდება გვირგვინის პარამეტრებს [49, 53, 131, 157]. აღსანიშნავია, რომ ფუნქციურად ნორმალური გვირგვინები ხშირად 7-10 წლის შემდეგ შესაცვლელია გარეგნული შესახედაობის გამო [175].

განასხვავებენ ვინირების ორ მეთოდს – პირდაპირს (სარესტავრაციო ფოტოგამყარებადი მასალების გამოყენებით) და არაპირდაპირს (ფოტოკომპიტებით ან კერამიკით).

ყველაზე პერსპექტიულია სპეციალური ფოტოგამყარებადი კომპოზიტების გამოყენება (Denta-color, Targis System, Arabesk Top, Admira, Herculite XPK) [227].

ვინირების ხარისხი დამოკიდებულია მრავალ ფაქტორზე – მათ შორის: კბილის ქსოვილთა და პირის ღრუს ლორწოვანი გარსის მდგომარეობაზე, ორგანიზმის სხვა პათოლოგიებზე (ფსიქომოციურ, შინაგანი ორგანოების და სისტემების დარღვევაზე), ვინირების თავისებურებებზე და გამოყენებულ მასალაზე.

ვინირებისას ძალიან მნიშვნელოვანი ეტაპია მასალის შერჩევა. კბილის მასალებზე რეაქციის გამოკვლევამ აჩვენა, რომ კბილის დამუშავებისას პაციენტები ხვდებიან მრავალი ალერგენის მოქმედების ქვეშ, რომელთა სიმპტომები შეიძლება იყოს – წვა, ჩხვლეტა, ქეილიტი, ტუჩების და სახის შეშუპება, რაც შეიძლება გამოწვეული იყოს ამ დროს გამოყენებული მასალების ზემოქმედებით [63]. სტომატოლოგიური მასალის შერჩევა დღევანდელ სტომატოლოგიაში რთული და საპასუხისმგებლოა [208]. რთულია იმდენად, რამდენადაც სტომატოლოგიურ ბაზარზე წარმოდგენილია უამრავი მასალა, რომლებიც განსხვავდებიან ხარისხითა და ფასით. მათ სწორად შერჩევაზეა დამოკიდებული წარმატებული მკურნალობა [211, 202]. მასალა უნდა

აგმაყოფილებდეს შემდეგ პირობებს: უნდა მისცეს ექიმს მაღალესთეტიკური რესტავრაციის საშუალება, ხელს უნდა უშლიდს კბილის დემინერალიზაციას და კარიესულ პროცესებს [191].

ვინირებისას უპირატესობა ენიჭება კომპოზიციურ მასალებს, რამდენადაც ისინი ნაკლებად ზიანდება, კარგად პოლირდება, ფერის მიმართ ძალიან მდგრადია და ახასიათებს ფერთა დიდი გამა [184]. თუმცა სხვადასხვა კომპოზიციური მასალების შემთხვევაში ღრძილების მგრძნობელობა განსხვავებულია [164].

კომპოზიტების მექანიკური და ესთეტიკური მახასიათებლები ძირითადად დამოკიდებულია შემავსებლის ზომაზე. დღევანდელ სტომატოლოგიაში ყველაზე იშვიათად გამოიყენება მაკროშემავსებლები 30 მკმ-მდე ნაწილაკების ზომით [217]. ასეთი კომპოზიტები ცუდად პოლირდება, სწრაფად კარგავს ფერს და ელგარებას. ამის გამო ისინი ესთეტიკურ სტომატოლოგიაში პრაქტიკულად არ გამოიყენებიან, მიუხედავად იმისა, რომ გააჩნიათ გამძლეობის საკმარისი მახასიათებლები.

კომპოზიტები მინიშემავსებლებით, ნაწილაკების ზომით 0,04 მკმ-მდე გამოირჩევიან მაქსიმალური ფერმედეგობით, კარგად პრიალდებიან და ესთეტიკური თვისებებით მაქსიმალურად უახლოვდებიან კბილის მინანქარს, თუმცა ნაკლებად გამძლენი არიან. კომპოზიტები მინიშემავსებლებით, ნაწილაკების ზომით 1,5მკმ-მდე გამოირჩევიან მაღალი გამძლეობით [60].

დღეისათვის ვინირებისათვის გამოიყენება პიბრიდული კომპოზიტები, ნაწილაკების ზომით 1-2მკმ; ისინი გამოირჩევიან შემავსებლების ნაირსახეობითა და მაღალი კონცენტრაციით, კარგი ფიზიკური მაჩვენებლებით. გააჩნიათ საკმარისი გამძლეობა და მაღალი ესთეტიკური ხარისხი [216].

ფართო გამოყენება პპოვა აგრეთვე მიკროპიბრიდებმა, მათ გააჩნიათ მაღალი გამძლეობა სპეციალური მინის მიკრონაწილაკების გამოყენების გამო. ისინი რეკომენდებულია კბილის საჭრელი და საღეჭი ზედაპირების აღსადგენად. ეს მასალა კარგად პრიალდება და გააჩნია მაღალი ესთეტიკური ხარისხი, მაგრამ დროთა განმავლობაში მან შეიძლება დაკარგოს სიპრიალე, რაც კარგად ჩანს კბილის მინანქართან საზღვარზე [32].

პირდაპირი ვინირის ფორმირების ტექნიკა რთულია – კბილის მომზადებისთანავე ხდება კომპოზიტის დაფენა. ფოტოპოლიმერების გამოყენებისას კომპოზიციური მასალების დაფენა ხდება შრეობრივად, რაც ექიმს აძლევს

ფერების კომბინირების და მაქსიმალური ესთეტიკური ეფექტის მიღების საშუალებას. უფრო დრო ფენებს გააჩნიათ უფრო მქრქალი შეფერილობა, ხოლო ზედაპირთან და მჭრელ კიდესთან ახლოს ისინი უფრო გამჭვირვალენი ხდებიან. ძირითადად გამოიყენება კომპოზიციური მასალების 7 სხვადასხვა შრე, რითაც მიღწევა კბილის მაქსიმალურად ბუნებრივი გარეგნული სახე და საკმარისი ფიზიკური მახასითებლები [83].

ლიტერატურის მიხედვით პირდაპირი კომპოზიციური ბუნები (direct composite bonding) უფრო მეტად იცვლიან ფერს, ვიდრე არაპირდაპირი ფაიფურის ვინირები [91, 138]. კომპოზიციური მასალები ისე არ პრიალდება, როგორც ფაიფური, ამიტომ მათზე რჩება საკვების ნაწილაკები და ლაქები. ტექნიკურად უფრო რთული შესასრულებელია და მოითხოვს დიდ დროს [42]. 5 წლის შემდეგ პირდაპირი კომპოზიციური მასალები ამჟღავნებენ ცვეთას და ზედაპირის მცირე ხორცლიანობას [20].

კომპოზიციური ბუნების გამძლეობა დროთა განმავლობაში მცირდება. ამ პროცესს განაპირობებს 2 ძირითადი მექანიზმი – მდგრადობა და ჰიდროლიზი [169]. პირველს განსაზღვრავს ოერმული გაფართოვება და შეკუმშვა, კომპოზიტების პოლიმერიზაცია და ძლიერი დატვირთვა. კომპოზიციური კავშირების შესუსტება დაკავშირებულია ჰიდროლიზაცია და ადჰეზურ მასალებთან [184, 186].

ფრონტალური კბილების რესტავრაციისათვის აუცილებელია გათვალისწინებულ იქნას რამდენიმე პარამეტრი, ყოველმა რესტავრაციამ უნდა ადადგინოს ბუნებრივი კბილის ფორმა და ფერი [85].

ვინირი გამოიყენება კბილის ფორმის და ფერის შესაცვლელად შემდეგ შემთხვევებში:

1. კბილის ფერის შეცვლის დროს [83, 101]:

- კბილის ფერის მედიკამენტური შეცვლა (ტეტრაციკლინის, მონოციკლინის, გოგირდოვანი კბილები) [42,31];
- კბილის პულპის მთლიანი მოცილება ტექნოლოგიის დარღვევით, რის შედეგადაც კბილმა შეიძლება მიიღოს გარდისფერი – ფორმალინის პასტით არხების დაბუნენის შემდეგ, ხოლო ყვითელი – იოდფორმის შემცველი პასტით დაბუნენის შემდეგ;
- ფერის შეცვლა კბილის ტრაგმის შემდეგ;
- კბილის თანდაყოლილი მანკი (ჰიპოპლაზია);

- დაუმთავრებელი ამელოგენეზი თოხივე ფორმის შემთხვევაში [26,69]. პირველი ფორმის დროს მინანქარი შენარჩუნებულია, ის დებულობს ყვითელ ან ყავისფერ ფერს, რის გამოც იგი ერევათ ტეტრაციკლინის კბილებთან [172,125];
- ფლუოროზი [139];
- ძველი ბჟენების არადამაკმაყოფიებელი ესთეტიკური გარეგნული სახე;
- მინანქარის დემინერალიზაცია.

2. დებულუქციული პროცესების შედეგად განვითარებული ცვლილებები [113]:

- III, IV, V კლასის კარიესი;
- მინანქარის საშუალო და მძიმე სარისხის ეროზია, როდესაც ეროზია იკავებს კბილის ნახევარ ვესტიბულარულ ზედაპირს;
- მინანქარის ნეკროზი [10];
- სოლისებური დეფექტები, მაგარი ქსოვილების პათოლოგიური ცვეთა;
- კბილის ტრაგმა;
- მინანქარის მრავლობითი პიგმენტირებული ბზარები;
- დრძილების რეცესია [24].

3. კბილის ფორმის, მდებარეობის შეცვლის დროს:

- კბილის ფორმის ანომალია;
- კბილის მობრუნება დერძის გარშემო;
- დიასთემის და ტრემის კორექცია [4];
- კბილის მოძრაობა პაროდონტის დაავადების ან ტრაგმის შედეგად;
- კბილის მდებარეობა რკალის გარეთ.

ლიტერატურაში გვხვდება ვინირების გამოყენების მონაცემები მაკროდონტიის დროს [177]. ფაიფურის ვინირები კბილის ფერის ძლიერი შეცვლისას წარმოადგენენ აღეჭვატურ მკურნალობას [55], ხოლო დიასტემის მკურნალობა ვინირებით განიხილება, როგორც ესთეტიკური და არა ფუნქციური [186]. ვინირება ეფექტურია ორთოდონტული მკურნალობის შემდეგ წარმოშობილი რეზორბციის შემდეგაც [147, 88]. ვინირების წარმატება დამოკიდებულია ინიციალურ ფაქტორებზე [147].

ვინირების გამოყენების წინააღმდეგჩენებებია:

- არაჯანსაღი კბილები;
- სუსტი კბილები;
- ბრუქსიზმი;

- პირდაპირი თანკბილვა;
- პაროდონტის დაავადებები.

რესტავრაციის ხარისხის შეფასება მოიცავს: ანატომიური ფორმის ადაპტაციის, კიდევების შეფერილობის, ფერთა შეხამების,ზედაპირის უსწორმასწორობის შესწავლას [216].

ხარისხის შეფასების ესთეტიკური ინდექსი

ცხრილი 1

	მაჩვენებლები	შეფასება ქულებით
კბილის გეომეტრიული ფიგურა	მართკუთხა	
	სამკუთხა	
	ოვალური	
	კვადრატული	
კბილის ზომა სიმაღლე, მმ განიგი ზომა, მმ	ყელის მიდამო	
	ეკვატორის მიდამო	
	მჭრელი კიდის მიდამო	
გვირგვინის კუთხის ნიშნები	გამოხატული	
	არ არის გამოხატული	
გვირგვინის სიმრუდის ნიშნები	ყველაზე ამაღლებული წერტილი წანაცვლებულია მედიალურად	
	ყველაზე ამაღლებული წერტილი წანაცვლებულია შუა ხაზთან	
	ყველაზე ამაღლებული წერტილი წანაცვლებულია დისტალურად	
	არ არსებობს	
ფესვის გადახრის ნიშნები	გამოხატული	
	არ არის გამოხატული	
დრძილის კონტური	გასქელებულია	
	მომრგვალებულია	
მჭრელი მხარე	სწორი	
	ამოზნექილი	
	მოხრილი	
	დაკბილული	

ცხრილი 1 (გაგრძელება)

გესტიბულარული ზედაპირის რელიეფურობა	გამოხატულია	
	არ არის გამოხატული	
ქბილის გამჭვირვალობის ტიპი	მინანქარი გამჭვირვალეა ქბილის გვირგვინის ყველა მონაკვეთზე	
	გამოხატული გამჭვირვალობა ქბილის პროქსიმალურ ზედაპირზე	
	გამჭვირვალეა მჭრელი მხარე	
	გამჭვირვალეა მჭრელი მხარე და პროქსიმალური ზედაპირი	
ქბილის ფერის შეფასება VITA სისტემით	ყელის მიდამოში	
	ეპვატორის მიდამოში	
	მჭრელი ბოლოსკენ	
	პროქსიმალურ ზედაპირზე	
მინანქარის სიგლუვის ხარისხი	თანაბრად მქრქალი	
	მქრქალი ყელის მიდამო	
	მბრწყინავი	
ქბილის ინდივიდუალური თავისებურებების არსებობა	ლაქა პიპოპლაზიისას, ფლუოროზი	

თითოეულ პარამეტრს ეძლევა შესაბამისი ქულა: 3 ქულა – შედეგი სრულად შეესაბამება დაგეგმილს; 2 ქულა – შედეგი ნაწილობრივ შეესაბამება დაგეგმილს; 1 ქულა – შედეგი არ შეესაბამება დაგეგმილს. შემდეგ ყველა ქულა იკრიბება. ხარისხის შეფასება: 33-36 ქულა – საუკეთესო; 29-32 ქულა – კარგი; 24-28 ქულა – დამაკმაყოფილებელი; <24 ქულა – არადამაკმაყოფილებელი შედეგი.

შენიშვნა: თუ პუნქტს 9, 10, 12-ის შესაბამისი ქულა <3-ზე, რესტავრაცია არ შეიძლება შეფასებულ იქნას, როგორც საუკეთესო და კარგი შედეგი.

36 არის მაქსიმალური ქულა.

შედეგების ინტერპრეტირება:

0,9-1 – საუკეთესო შედეგი;

0,7-0,8 – კარგი შედეგი, საჭიროა რესტავრაციის უმნიშვნელო კორექცია;

<0,7 – არადამაკმაყოფილებელი შედეგი, საჭიროა კონსტრუქციის შეცვლა.

ვინირების წარმატება დამოკიდებულია დიაგნოსტიკურ მიდგომებზე, კონტინგენტის სწორ შერჩევაზე, ისევე როგორც კბილის შესაბამის მომზადებასა და ადჰეზიური მიმაგრების პროცედურებზე [37, 116, 173].

მყარ ადჰეზიას განსაზღვრავს მრავალი ფაქტორი: წელის სორბცია და ადჰეზიური მასალის პილროლიზი; არასაკმარისი მონომერ/პოლიმერული გარდაქმნა, მასალის არასრული შეღწევა დემინერალიზებულ დენტინში, გამხსნელის არასრული აორთქლება, ნერწყვის ფერმენტული ზემოქმედება [168, 169, 129].

დღეისათვის არსებული მუდმივად განახლებადი ადჰეზიური სისტემები ხელს უწყობს ვინირების წარმატების დანერგვას [44]. ვინირების შემდგომი ლრძილების რეაქცია დამოკიდებულია როგორც ადჰეზიურ მასალაზე, ისე კბილებს საწყის მახასიათებლებზე [128].

ვინირების არაკეთილსაიმედო შედეგის თავიდან ასაცილებლად საჭიროა ადჰეზიური მასალების შესაბამისი შერჩევა [39]. კბილის დუღაბის ადჰეზიური მასალების რბილ ქსოვილებზე მავნე ეფექტის თავიდან ასაცილებლად აუცილებელია ლრძილის მომზადება ვინირებისათვის [140]. ლრძილების მკურნალობის შემდეგ ვინირების გამოსავალი კეთილსაიმედოა [28].

კომპოზიციური მასალა შედგება 2 ან მეტი კომპონენტისგან (ფაზისგან) და განსხვავებულ თვისებათა კომპლექსისგან, ამასთან თითოეული კომპონენტი ინარჩუნებს ინდივიდუალურ მახასიათებელს. კომპოზიტების მექანიკური და ესთეტიკური მახასიათებლები ძირითადად დამოკიდებულია კომპონენტებზე. ამდენად კომპოზიციური კბილების გამძლეობის დროზე დამოკიდებულება წარმოადგენს რთულ ფუნქციას და დამოკიდებულია შემავსებლების ცალკეულ ფაზაზე [114, 154, 130].

ვინირების ფუნქციური და ესთეტიკური პოტენციალი მოიცავს კბილის კონსერვატიულ მომზადებას. ვინირის პროქსიმალური გაფართოების უპირატესობა წინა კბილებისათვის მნიშვნელოვნად აღემატება კბილის ზედმეტი დამუშავებით გამოწვეულ ნაკლს [135].

ვინირება ხშირად წარმოადგენს ლაქებიანი კბილების იდეალურ აღდგენას, როდესაც კბილის მინანქარი ზიანდება ან აღარ ახდენს სასურველ ესთეტიკურ ეფექტს. ტრადიციულ გვირგვინთან შედარებით კბილის დამუშავება უფრო დამზოგველია, ვინირი უფრო მეტად უზრუნველყოფს ლრძილების ჯანმრთელობას და ბევრად უფრო ესთეტიკურია [48].

ფაიფურის ვინირების დამაგრების მეთოდიკა მოიცავს ფაიფურის თხელ გარსს, რომელიც მაგრდება მინიმალურად მომზადებულ კბილის ზედაპირზე (მინანქარზე და/ან დენტინზე) შემავსებლით და ადჰეზიური სისტემების გამოყენებით [94].

შესწავლილ იქნა 546 ტეტრაციკლინის კბილის მინანქარის ვინირების შედეგები 0.5, 1.5 და 2.5 წლის შემდეგ. შესწავლილ იქნა კიდევების ადაპტაცია, მეორადი კარიესი და ფერთა შეხამება. 99%-ში აღინიშნა კიდევების კარგი ადაპტაცია, ფერთა შეხამება იყო მდგრადი, კარიესი არ დაფიქსირდა [38, 33].

40 პაციენტის შესწავლამ აჩვენა, რომ ფლუოროზის დროს და ნორმალური მინანქარის კბილებზე ფაიფურის ვინირების დამაგრების ხარისხს შორის სარწმუნო განსხვავება არ აღინიშნებოდა [139].

რეტროსპექტულად შესწავლილ იქნა ფაიფურის ვინირების კლინიკური ეფექტურობა 12 წლის შემდეგ. ფერთა შეხამება, კიდევების მთლიანობა, ფაიფურის ზედაპირის სიპრიალე, კიდევების ფერადობა, შეფასებისთვის გამოყენებულ იქნა CDA/RYGE კრიტერიუმი. ამ კრიტერიუმით ეს მაჩვენებლები შეესაბამება A მაჩვენებელს. გატეხვის რისკი შეფასებულ იქნა Kaplan-Meier-ს ანალიზით, ეს რისკი შეადგენდა 94%-ს [54].

ვინირებიდან 9 წლის შემდეგ შესწავლილ იქნა 260 პაციენტი, 617 CAD/CAM ფაიფურის ვინირი Cerec სისტემით. დამზადებული ვინირის სრულფასოვნება Kaplan-Meier-ს მიხედვით შეადგენდა 94% (CI: 95% 90.7-97.8) 98%-ში დაფიქსირდა კლინიკურად დადებითი შედეგი, რაც მიუთითებს ამ ტიპის ვინირის უპირატესობაზე [52, 156, 171].

კომპოზიტური მასალებით საღეჭი კბილების რესტაგრაციისას კლინიცისტი აწყდება წინააღმდეგობებს, რომლებიც დაკავშირებულია, კომპოზიტური მასალისა და კბილის ქსოვილის კონტაქტთან და ადაპტაციასთან, აგრეთვე ტექნიკურ სიძნელეებს, რომელიც დაკავშირებული სწორი ანატომიურ მახასიათებლების შექმნასთან, პოლიმერიზაციის ტექნიკასთან, მინანქარზე ბზარების გაჩენასთან და კიდოვან დეფექტებთან, რაც გამოწვეულია პოლიმერიზაციის დროს კომპოზიტების შეკუმშვით [83].

ვინირების მნიშვნელოვანი ნაკლოვანება მდგომარეობს იმაში, რომ ვინირსა და კბილს შორის შეიძლება წარმოიქმნას მიკრონაპრალები, რომლებიც ხელს უწყობენ მიკრობების დაგროვებას. გარდა ამისა შესაძლებელია ფაიფურის ბზარების წარმოქმნა, აგრეთვე კბილიდან აცლა. არ არის გამორიცხული

ღრმილის ტრავმირება კბილის ყელის მიდამოში კერამიკული ვინირის კიდეების მიერ. ფაიფურის ვინირები განკუთვნილია კბილის გარეგნული სახის გასაუმჯობესებლად, მათ არ შეუძლიათ ძლიერი დატვირთვის ატანა [160], თუმცა ტექნოლოგიის სათანადოდ დაცვის შემთხვევაში ფაიფურის ადჰეზიური ვინირები კბილთან ქმნის მყარ კომპლექსს ვიტრო და ვივო, არ ახდენს უარყოფით ზემოქმედებას ღრმილებზე ოპტიმალური ჰიგიენის დაცვის დროს, მთავარი ნაკლოვანებებია შედარებით დიდი კიდოვანი შეუსაბამობა და არასაკმარისი ცვეთა მედებობა, თუმცა ეს ნაკლოვანებები არ მოქმედებენ საშუალო პერიოდის განმავლობაში, რაც შეეხება შორეულ შედეგებს, ისინი ჯერ კიდევ შესასწავლია [132].

კბილის ზომის შემცირება ვინირების დროს განპირობებულია პაროდონტის ბიოლოგიური შეზღუდვებით და ესთეტიკური მოთხოვნებით [62]. კბილების გათანაბრებამ შეიძლება მოითხოვოს კბილის სტრუქტურების ზედმეტი მოცილება.

კბილის დამუშავების ხარისხი დამოკიდებულია ვინირის ტიპზე [86, 58]. დაკრესილი კერამიკის ვინირები მოიხვენ კბილის მეტად დამუშავებას (0,5-1,0 მმ), ხოლო Stackable ფაიფურის ვინირები – 0,3 მმ-ს. ვინრება უფრო გამძლეა, როდესაც ხდება კბილის კუთხეების დამრგვალება და არა ჩამოჭრა, ხოლო ვინირს გააჩნია ერთნაირი სისქე – 0,5 მმ [104, 61].

კბილის მინანქარი კბილს იცავს მექანიკური, ქიმიური და თერმული დაზიანებისაგან, ვინირის ფიქსაცია მოითხოვს კბილის დამუშავებას, მინანქრის ფენის აცლას კბილის სისქის შესამცირებლად და ზედაპირულ საფართან შეჭიდულობის გასაძლიერებლად [21]. ვინირის დაყენება არ არის სასურველი ისეთ კბილებზე, რომელთაც გააჩნიათ კბილის მინანქარის მნიშვნელოვანი დაზიანება, კბილის ქსოვილის მნიშვნელოვანი დარღვევა და დიდი ზომის ბუნები.

თუმცა ზოგიერთი აგტორის მონაცემებით ვინირება შესაძლებელია გამოყენებულ იქნას ძლიერ დაზიანებული კბილისთვისაც, ამ დროს ფაიფურის ვინირი უნდა დამაგრდეს პირდაპირ დენტინზე [134].

ვინირებიდან 16 წლის შემდეგ შესწავლილ იქნა 15-73 წწ. ასაკის 100 ავალმყოფი 304 ვინირით. ფაიფურის გატეხვის რისკი შემცირებულია: $96\% \pm 1\%$ – 5-6 წწ.; $93\% \pm 2\%$ – 10-11 წწ.; $91\% \pm 3\%$ – 12-13 წწ.; და $73\% \pm 16\%$ – 15-16 წწ., ესთეტიკურად სასიამოვნოა, მარგინალური მთლიანობა შენარჩუნებულია, პირის ღრუ ჯანმრთელია, პაციენტის კმაყოფილება მიღწეულია 31%-ში, მექანიკური გართულება 31%-ში, გართულება პირის ღრუს ლორწოვანი გარსის მხრივ 12.5%-

ში, კარიესი 6%-ში. კბილის მოტეხვა 6%-ში. ვინირის ხანგრძლივობა სასურველია არ აღემატებოდეს 10 წელს [97].

მნიშვნელოვანია ვინირის დამაგრების ტექნიკა. არასწორი დამაგრების შემთხვევაში ვინირსა და კბილს შორის გვერდებზე შეიცლება დარჩეს მიკრონაპრალი. მიუხედავად იმისა, რომ ამ ნაპრალის ზომა მცირეა, იგი მიკრობებისთვის სასურველი გარემოა.

ამასთან ერთად შეიძლება მოხდეს ფაიფურის ფირფიტის სრიალი და კბილიდან დაშორება. ამ შემთხვევაში საჭიროა ახალი ვინირის დამზადება.

შესაძლებელია, აგრეთვე ვინირმა გამოიწვიოს კბილის ყელთან დრმილის ტრაგმირება.

ვინირების უარყოფითი მხარეები [153,159]:

- ვინირების დამაგრების ტექნიკასთან დაკავშირებული ცვლილებები;
- მაღალი ფასი;
- ვინირი არ ექვემდებარება შეკეთებას;
- შეიძლება გამოიწვიოს მგრძნობელობის მომატება ცხელი და ციფი საკვების მიმართ;
- ვინირის ფერი შეიძლება არ იყოს ჰარმონიაში სხვა კბილის ფერთან, კბილის გათეთრება შეიძლება ვინირის დამაგრებამდე;
- შეიძლება ვინირი მოცილდეს კბილს, ამიტომ საჭიროა კბილზე მექანიკური დატვირთვის შემცირება;
- ვინირებამ შეიძლება გამოიწვიოს მეორადი კარიესი.

ვინირის დაზიანება იყოფა სამ კატეგორიად – მოტეხვა, მიკროგაჟონვა და აცლა [3, 152, 79]. [55]-ის მიხედვით აცლა შეადგენს დაზიანების 67%-ს, მიკროგაჟონვა 22%-ს, ხოლო მოტეხვა – 11%-ს [58]. არაკეთილსაიმედო შედეგის ძირითად მიზეზს წარმოადგენს დენტინის დიდი ზომის დეფექტი კბილის მომზადების პროცესში [176]. კბილის მომზადების შემდეგ დატოვებული კბილის მინანქარის რაოდენობა, კლინიცისტის ჩვევები, კბილის და ცემენტის შეჭიდულობის ხარისხი [58].

დამაგრების ეფექტურობა და მიკროგაჟონვა დამოკიდებულია აღჭეზურ აგენტებზე [77, 66].

ყველა წინა კბილის მინანქარის ზომა, გარდა ზემო-გვერდითი მჭრელი კბილისა 0,5 მმ-ზე მცირეა ყელის არეში. ყველა წინა კბილის მედიალური და დისტალური ზედაპირების მინანქარი 5 მმ-ზე მეტია. 8 მმ-ის დინეზე მჭრელების

ფრონტალურ ზედაპირებს გააჩნიათ 1 მმ-ზე ოდნავ მეტი მინანქარი, ხოლო ეშვებს – 1,3 მმ მინანქარი, პაციენტის ასაკთან ერთად კბილის მინანქარის სისქე მცირდება [11].

აღდგენა უნდა აკმაყოფილებდეს პაციენტის მოთხოვნებს და ინარჩუნებდეს კბილის მინანქარის მაქსიმალურ რაოდენობას. სტანდარული ვინირების დროს კბილის ზედაპირის შემცირება თანაბარი უნდა იყოს და უნდა შეადგენდეს არა უმცირეს 0,5 მმ [58, 176]. კბილის მომზადება უნდა გაგრძელდეს ინტერპროქსიმალურად კბილის გვირგვინის საწყისი ფორმის პარალელურად, ზოგჯერ ხდება მინანქარის მოცილება დენტინის დონემდე, კბილის ყელის და პროქსიმალურ ნაწილებში [121, 19, 35]. ამ ნაწილებში მინანქარი თხელია [122, 36]. დენტინამდე მინანქარის მოცილება ძირითადად ხდება ყელის მიდამოში (95%) [188]. ოკლუზური ზედაპირის არაადექვატური მოდელირება და არაფუნქციური ოკლუზის ფორმირება იწვევს საყრდენი კბილების გადატვირთვას, კიდოვანი მიმაგრების დარღვევას და ზოგჯერ ორთოპედიული კონსტრუქციის დაზიანებას, შედეგად საყრდენი კბილების კარიესის განვითარებას [145].

კბილის გვირგვინის დახრის კუთხე პირდაპირაა დამოკიდებული მინანქარის დამუშავების ხარისხზე. როდესაც ვინირება აღადგენს მინანქარის საწყის სისქეს, მაშინ ნატურალურ და ვინირებულ კბილებს შორის ფიზიომექანიკურ თავისებურებების მიხედვით განსხვავება არ აღინიშნება (დრეკადობა, მოტეხვის ძალა, სიმკვრივე და თერმული გაფართოვება) [105, 166], როდესაც ცემენტი დაკავშირებულია კბილის მინანქართან და არა დენტინთან, ფუნქციური დატვირთვა მცირეა [105]. კავშირი ოპტიმალურია, როდესაც ცემენტის სისქე მინიმალური და თანაბარია [94, 77, 29, 19, 72]. კბილის ცემენტის სისქის გაზრდა იწვევს დაძაბულობის მომატებას [99].

აგრესიული ვინირების დროს მინანქარის დიდი რაოდენობის აცლისას ვინირი მაგრდება ძირითადად დენტინზე, რაც ასუსტებს ვინირებულ კბილს [52]. ამიტომ დამუშავებისას რეკომენდებულია მეტი მინანქარის დატოვება [103].

გარდა ამისა, დენტინის დამუშავების შემდეგ აუცილებელია დენტინის ზედაპირის დაუყოვნებელი დაგრუნტვა [120]. რეკომენდებულია ჰერმეტიზაცია immediate dentin sealing (IDS)-ით (დენტინის პოლიმერიზაციის აგენტი), რაც უზრუნველყოფს კბილის დაცვას და ვინირების გამოყენების გახანგრძლივობას [106].

დენტინის დამუშავების შემდეგ კბილის მგრძნობელობა იზრდება, Tubulitec-ის აპლიკაციის შემდგომ მგრძნობელობის გაზრდა არ აღინიშნება. დაუცველ

კბილზე ასევე ადინიშნება ბაქტერიული კონტამინაცია, მაშინ როდესაც აპლიკაცია იცავს კბილს ბაქტერიების შეღწევისაგან [22]. დენტინის მგრძნობელობა მომატებულია ძირითადად საშუალო ასაკის პირებში [223].

დისკუსიის საგანს წარმოადგენს ვინირების გამოყენება თანკბილვის გასწორებისას [120], ტრადიციულად ვინირები გამოიყენებოდა კბილის არასწორი ან სპეციფიური კონტურის, კბილებს შორის ინტერვალის, დრძილის რეცესიის, არასწორი, გაცვეთილი ან ფერშეცვლილი კბილებისათვის [40, 6, 42, 26]. ზოგიერთი ავტორის აზრით, ფორმის მცირე შესწორება შესაძლებელია მაშინ, როდესაც არსებობს ვინირების ჩვენება [46], თუმცა დღეისათვის ვინირების საშუალებით ფორმის შეცვლას ამართლებენ ჯანმრთელი კბილების შემთხვევაშიც [101], რასაც უწოდებენ მომენტალურ ორთოდონტიას “instant orthodontics” ან ორდანიშნულებიან ორთოდონტიას two-appointment orthodontics [76, 165].

ლიტერატურაში ნაჩვენებია, რომ სრული ვინირება შესაძლებელია გამოყენებულ იქნას თანკბილვის დარღვევის გამოსასწორებლად [45], თუმცა ორთოდონტიული მკურნალობის ნაცვლად ვინირების გამოყენება დაკავშირებულია ეთიკურ დილემასთან [81].

ეს არატრადიციული და აგრესიული მიდგომები უარყოფილია ზოგიერთი კლინიცისტის მიერ. პროფესიული უერნალები გამოხატავენ შეშფოთებას ვინირების არასწორი გამოყენების გამო [176, 166, 6, 57].

ზოგიერთ შემთხვევაში ვინირი შეიძლება გახდეს პირის დრუში პათოლოგიური პროცესის მაპროვოცირებელი ფაქტორი, განსაკუთრებით პირის დრუს ლორწოვანი გარსის არასათანადო მდგომარეობის დროს [37, 137, 51, 106].

გამოკვლევების მიხედვით მოსახლეობის მხოლოდ 12%-ს აქვს ჯანმრთელი პაროდონტი, 53%-ს აღენიშნება საწყისი ანთებადი ცვლილებები, 23%-ს საწყისი დესტრუქციული ცვლილებები და 12%-ს აღენიშნება საშუალო და მძიმე ხარისხის დაზიანება [197, 109].

რიგი გამოკვლევებისა გვიჩვენებს, რომ პაროდონტიტის გავრცელება უფრო მაღალია მამაკაცებში. ითვლება, რომ მამაკაცებისათვის პაროდონტიტის დესტრუქციული ფაზა იწყება დაახლოებით 35 წლისათვის, მაშინ, როცა ქალებისათვის დესტრუქციული პროცესი იწყება უფრო გვიან, 45 წლისათვის [212].

პირის დრუს დაავადებები განპირობებულია ადგილობრივი მიკროფლორის დისბალანსით, რაც იწვევს პათოგენური მიკროფლორის გავრცელებას. პირის დრუს ეკოსისტემის დარღვევა შეიძლება გამოიწვიოს როგორც ენდოგენურმა,

ისე გარემო ფაქტორებმა [16]. ორგანიზმის დაცვით რეაქციებს თრგუნავს და პათოგენური მიკროფლორის ინვაზიას დრძილის ქსოვილების სიღრმეში ხელს უწყობს მოწევა. მოწევის გავლენის მექანიზმი მრავალგვარია და ბოლომდე შესწავლილი არ არის. მოწევის ძირითადი ეფექტია ბაქტერიული აგრესის აქტივიზაცია [71]. დადგენილია მჭიდრო კავშირი მოწევასა და წყლულოვან ნეკროზული პაროდონტიტის განვითარებას შორის. მწეველებში წყლულოვან ნეკროზული დაზიანება სხვადასხვა გამოკვლევის მიხედვით შეინიშნება 8-14 – ჯერ ხშირად, ვიდრე არამწეველებში [162, 214, 150].

დადგენილია, რომ უკვე ქრონიკული გინგივიტის კლინიკური სურათის დროს პაროდონტიტი აღინიშნება აქტიური ანთებადი პროცესის გავრცელების მორფოლოგიური ნიშნები, დრძილის საზღვრებს მიღმა ალგეოლური მორჩის ძვლოვანი ქსოვილის სიღრმეში, რასაც თან ახლავს დესტრუქციული ცვლილებების მთელი კომპლექსი: ძვლოვანი ნივთიერების რეზორბცია, და პერიოდონტის კოლაგენური ბოჭკოების ლიზისი [222, 70].

გამწვავებული ქრონიკული გენერალიზებული პაროდონტიტის დროს, მკურნალობამდე ბიოფსიურ მასალაში აღინიშნება დრძილის შეშუპება, ეპითელური საფარის მკვეთრი გასქელება, მწვავე დისცირკულაციური პროცესები (სისხლსაგსეობა, სტაზე, სისხლჩაქცევა) და აგრეთვე ანთების გამოხატული ექსუდაციური კომპონენტი [70, 217].

პაროდონტის დაზიანების პირველად ფაქტორად დღესდღეობით განიხილება კბილის ნადების ბაქტერიული ფლორა. საუკუნეზე მეტია გრძელდება გამოკვლევები ბაქტერიული კოლონიზაციის როლის შესახებ პაროდონტის დაავადებების განვითარებაში, და ამ პერიოდის განმავლობაში მეცნიერთა მონაცემები ამ საკითხის მიმართ არაერთხელ შეიცვალა [221]. კბილის ნადებში ლოკალიზდება პირის ღრუს მიკროორგანიზმების ძირითადი მასა, კბილის ნადების მოცულობის 70%-ს შეადგენენ მიკრობები. ნადების მშრალი მასის 1 მგ შეიცავს მიახლოებით 250 მიკრობს [191].

პირის ღრუს მიკრობული ფლორა დაკავშირებულია პიგიენურ სტატუსთან, იგი მონაწილეობს იმუნური სისტემის განვითარებაში და უზრუნველყოფს პათოგენური მკრობების კოლონიზაციისადმი მედეგობას [100, 65, 48, 226].

კბილების გახეხვიდან 2 საათის შემდეგ დაგროვებას იწყებს კბილის ნადები, ამ უკანასკნელის წარმოქმნის დინამიკის შესწავლით დადგინდა, რომ დღე-დამის განმავლობაში კბილის ზედაპირზე ჭარბობს კოკური ფლორა, 24 საათის შემდეგ

ჩხირისებური ბაქტერიები. 2 დღე-დამის შემდეგ კი კბილის ზედაპირზე უკვე არსებობს მრავალრიცხოვანი ჩხირები და ძაფისებრი ბაქტერიები [74]. კბილის ნადების განვითარების შესაბამისად იცვლება მისი მიკრობული ფლორაც. პირველად წარმოქმნილი ნადები შეიცავს აერობულ, ხოლო შედარებით გვიანი ნადები კი აერობულ და ანაერობულ მიკროორგანიზმებს [196].

კბილის ნადების წარმოქმნის მექანიზმში მნიშვნელოვნად ჭარბობს შაქარი [145]. ამ პირობებში შესწავლილია სხვადასხვა შტამის მიკროორგანიზმების აქტივობა. მნიშვნელოვან როლს თამაშობს *S. mutans*, რადგანაც ზუსტად ეს მიკროორგანიზმები იწვევენ ნადების ფორმირებას ნებისმიერ ზედაპირზე. მაგრამ სტრეპტოკების აბსორბციას ხელს უწყობენ სხვა მიკროორგანიზმებიც *C. albicans*, *S. salivarius* და ა.შ. [198].

ორდღიანი კბილის ნადები თითქმის მთლიანადაა ჩამოყალიბებული მიკროორგანიზმებით. კბილის ნადებში ბაქტერიების კონცენტრაცია საკმაოდ მაღალი [49]. პირის ლრუს სხვადასხვა უბნიდან ადებულ მასალაში მიკროორგანიზმების რაოდენობა განსხვავებულია [198].

პაროდონტიტების განვითარებაში მნიშვნელოვანი როლი უჭირავს ნერწყვს. (მისი შამაღებენლობა და თვისებები, ქიმიური შემადგენლობა, კალციფიკაცია) [209]. ნერწყვის რაოდენობის შემცირებისას იზრდება ნადების ჩამოყალიბება კბილებზე, რაც ხელს უწყობს პაროდონტის ანთებადი დაავადებების ჩამოყალიბებას [193]. კბილის მაგარი ნადების წარმოქმნა ხელს უწყობს პირის ლრუს სითხის ტუტე გარემოს მომატებას [207]. კბილის ბალთის მიკროორგანიზმები იკვებებიან ნერწყვის შარდოვანადან (მისი შეგუბების ადგილებზე), ხდება ამიაკის ფორმირება, რის შედეგადაც იმატებს ტუტე გარემო და კბილის ქვის კომპონენტები ილექტება [209].

კბილის ნადებსა და ნერწყვში მიკროორგანიზმების რაოდენობა განსხვავებულია. ასე მაგალითად, კბილის ნადებში მცირე რაოდენობითაა *S. salivarius* (მიახლოებით 1%), იმ დროს როცა ნერწყვში ეს მიკროორგანიზმები დიდი რაოდენობითაა; კბილის ნადებში 100-ჯერ მეტია ლაქტობაცილები ვიდრე ნერწყვში [49]. დღესდღეობით დიდი მნიშვნელობა ენიჭება პირის ლრუში ნახშირწყლების მეტაბოლურ გარდაქმნის შესწავლას, იმდენად რამდენადაც მისი შედეგია პირის ლრუს სითხის pH-ის მჟავე მხარეს გადანაცვლება, რაც იწვევს კარიესის განვითარება [199]. მთელი რიგი მექანიზმთა კომპლექსის დახმარებით, იქმნება რა იდეალური პირობები ნადების ოკუმულაციისათვის და დრძილის

დარის ნორმალური ეკოლოგიური ბალანსის დარღვევისათვის, პათოგენური მიკროფლორა, გამოდევნის ნორმალურ გრამ-პოზიტიურ ფაკულტატურ ორგანიზმებს [219, 151, 108, 26, 98].

მიკრობულ კოლონიზაციაში 70%-ზე მეტი სტრეპტოკოკებია, 15%-ი ვეილონელები და ნეისერიები, ხოლო დანარჩენი ფლორა – დიფტეროიდები, აქტინომიცეტები და საფუარა სოკოები. მოყვანილია ასეთი შეფარდება კბილის ნადების ბაქტერიებს შორის: ფაკულტატური სტრეპტოკოკები-27%, ფაკულტატური დიფტეროიდები-23%, ანაერობული დიფტეროიდები-18%, პეპტოსტრეპტოკოკები – 13%, ვეილონელები – 6%, ბაქტეროიდები – 4%, ფუზობაქტერიები – 4%, ნეისერიები – 3%, ვიბრიონები – 2% [28].

კბილის ნადებში ასევე აღმოჩენილია ნოკარდიები და სოკოების ექვსი სახეობა. ყველაზე ხშირად გვხვდება *Candida albicans*. კბილის ნადების მიკრობული ფლორა არ არის მუდმივი როგორც რაოდენობრივად, ისე ხარისხობრივად. უპირატესად მიკროკოკებისაგან შედგება 1-2 დღიანი ნადები, იმდროს როცა 3-4 დღიანი ნიმუშში ჩნდება და მე-5 დღიდან მრავლდება სპირილები [198, 209].

ზოგიერთი მონაცემით, პირდაპირი ვინირება ნეგატიურად მოქმედებს პირის ღრუს სტომატოლოგიურ სტატუსზე. შეისწავლეს პირდაპირი კომპოზიციური მასალების მოქმედება მარგინალურ პაროდონტულ ქსოვილზე. ულტრათხელი კომპოზიციური მასალები უშუალოდ იყო მოთავსებული 79 ინტაქტურ ზემო-წინა კბილებზე. 5-6 წლის შემდეგ გამოიკვლიეს კბილის ნადების ინდექსი, რესტავრირებული კბილების უნილატერალურად. შედარება ჩატარდა ნამკურნალევ და ინტაქტურ უბნებს შორის. ნადების და გინგივიტის ინდექსები სარწმუნოდ მაღალი იყო დამუშავებული კბილებისათვის (შესაბამისად $P=0.029$; $P=0.059$) [132].

თუმცა მტკიცებითი მედიცინის მიხედვით ჩატარებულმა მეტა ანალიზებმა აჩვენა, რომ ფერშეცვლილი კბილების შემთხვევაში სარწმუნო განსხვავება პირდაპირ და არაპირდაპირ ვინირებს შორის არ არსებობს [181, 110].

ფაიფურის ვინირებზე ბაქტერიული ნადების დაგროვება გაცილებით მცირეა, ვიდრე ადჰეზიურ მასალასა და კბილის სტრუქტურაზე [89].

ვინირების შემდგომი ბაქტერიული კონტამინაცია გამოწვეულია გარკვეული დროის შემდეგ ზედაპირის მექანიკური დაზიანებით და ცვეთით [91].

პაროდონტის დაავადების განვითარებას ჰომეოსტაზის რთული დაზიანების გზით, ხელს უწყობს სტრესი. სტრესი გვევლინება სხვადასხვა პირობებში (მათ შორის სომატური დაგადების დროსაც), პაროდონტის დაავადების გაღრმავების

პროგოგატორად [12, 57]. კბილთა რკალის დეფექტების დროს ირდვევა წონასწორობა დეჭვითი დატვირთვისას, რის გამოც იქმნება ტრავმული ოკლუზია, ღრმავდება პათოლოგიური პროცესები პაროდონტი, რაც ხელს უწყობს პაროდონტული ჯიბეების წარმოქმნას. თუმცა, ზოგიერთი ავტორი უარყოფს პირდაპირ კავშირს თანკბილვის პათოლოგიასა და პაროდონტის დაზიანებას შორის [28].

კბილების გადატვირთვა იწვევს კბილის ნადების გაძლიერებულ წარმოქმნას და ქსოვილებში ანთებად ცვლილებებს [210, 9, 215]. ასევე დამტკიცებულია, რომ დეჭვით დატვირთვაზე საპასუხოდ რეაგირებს სისხლძარღვოვანი სისტემა, რომელიც უზრუნველყოფს ამ ქსოვილების ჟანგბადით და ნივთიერებათა ცვლისათვის საჭირო პროდუქტებით მომარაგებას [190, 68, 213]. ერთ-ერთი მნიშვნელოვანი რგოლი პაროდონტის ანთებითი დაავადებების განვითარებაში არის მიკროცირკულაციის დარღვევა. სისხლძარღვოვან-ქსოვილოვანი გამტარებლობის მომატებას მივყავართ სისხლძარღვთა კედლებისა და პერივასკულარული ქსოვილების გაჯერება ცილებით.

დადგენილია, რომ პაროდონტიტის კლინიკური სურათის დროს პაროდონტიში აღინიშნება აქტიური ანთებადი პროცესის გავრცელების მორფოლოგიური ნიშნები, ღრძილის საზღვრებს მიღმა ალვეოლური მორჩის ძვლოვანი ქსოვილის სიღრმეში, რასაც თან ახლავს დესტრუქციული ცვლილებების მთელი კომპლექსი: ძვლოვანი ნივთიერების რეზორბცია, და პერიოდონტის კოლაგენური ბოჭკოვების ლიზისი [218]. ვინირების შემდგომ ხდება ღრძილის მორფოლოგიის ცვლილება [13, 5, 182, 90, 96].

ურთიერთსაწინააღმდეგოა ლიტერატურის მონაცემები ვინირების შემდეგ მეორადი გინგივიტის განვითარების შესახებ. [141]-ის მონაცემებით გინგივიტის რაოდენობამ ვინირებიდან 2-3 წლის შემდეგ მოიმატა 60%-ით, ხოლო [137]-ის მიხედვით ვინირებიდან 3 წლის განმავლობაში გინგივიტის განვითარებას ადგილი არ ჰქონია.

პირის ღრუს სტატუსის შესწავლამ ვინირებიდან 14 თვის შემდეგ აჩვენა 91,2%-იანი დადებითი შდეგი, გინგივიტის და სისხლდენის ინდექსებს შორის ვინირებამდე და ვინირების შემდეგ სარწმუნო განსხვავება არ აღმოჩნდა, ნადების ინდექსი ვინირების შემდეგ სარწმუნოდ შემცირდა [82].

შესწავლილ იქნა მიკრობული ნადების და ღრძილების ანთებითი პასუხი ფაიფურის ლამინირებულ ვინირებაზე. ვინირებამდე და ვინირების შემდეგ პირის

ღრუს სტატუსის შესწავლამ აჩვენა, რომ ღრძილოვანი ჯიბის სითხის რაოდენობამ მოიმატა, სტატისტიკურად სარწმუნოდ არ შეიცვალა ფერმენტების პროტეოლიზური აქტივობის მაჩვენებლები ($P>0,05$), სარწმუნოდ შემცირდა ნადების ინდექსი ($P=0,000$) და ნადების ბაქტერიების სიცოცხლისუნარიანობა ($P=0,018$) [90].

შესწავლიდ იქნა ლამინირებული ვინირების შემდგომი ღრძილების რეაქცია, მარგინალური ინდექსი, პაპილარული (დვრილებიდან) დარის სიღრმე, ღრძილის რეცესია [25, 50]. არაკეთილსამედო შედეგი დაფიქსირდა 4%-ში, როდესაც ვინირი ნაწილობრივ დამაგრებული იყო დენტინზე შვიდიდან 6 აცლა დაფიქსირდა, მარგინალური ინტეგრაცია დაფიქსირდა 99%-ში და 63%-ის შემთხვევაში შეფასებული იყო, როგორც ძალიან კარგი. ზედაპირული მარგინალური გაუფერულება დაფიქსირდა 17%-ის შემთხვევაში, რეცესია 31%-ში და სისხლდენა 25%-ში. სიცოცხლის ხანგრძლივობა კაპლან-მეიერ-ის მიხედვით 10 წლის განმავლობაში შეადგენდა 91%.

ბაქტერიული კოლონიზაციის მნიშვნელოვან ეტაპს განეკუთვნება მიკროორგანიზმების ადჰეზია კბილისა და ღრძილის ზედაპირზე. ბაქტერიული აგრესიის შემდეგი ეტაპია ქსოვილების სიღრმეში მიკროორგანიზმების ინგაზია [204, 102].

ბაქტერიული ინგაზის მნიშვნელობა ქრონიკული გინგივიტის და პაროდონტიტის დროს ნაკლებად არის გამოხატული და ძირითადად ახასიათებს ბაქტერიების მულტიპლიკაცია ეპითელურ შრეებში [163]. ზოგიერთი ავტორი [138, 157] თვლის, რომ ბაქტერიები ქსოვილების სიღრმეში აღწევენ ქსოვილების მიკროტრაგმისას პასიური დიფუზიის წყალობით, მაგალითად კბილების გახეხვის დროს. ადგეზირდება რა ბაზალური მემბრანის, კოლაგენური ბოჭკოების ზედაპირზე, ბაქტერიები იჭრებიან უფრო ღრმად ალვეოლურ ძვლამდე. ნაგარაუდევია, რომ ბაქტერიულმა ინგაზიამ შეიძლება მოახდინოს ქრონიკულად მიმდინარე პაროდონტიტის გამწვავების პროცესირება.

პათოლოგიური ცელილებების პროგრესირებას მიგყავართ ანთების გავრცელებისკენ ალვეოლის ძვლოვან ქსოვილზე – გინგივიტი გადადის პაროდონტიტში.

რესტავრაციის დროს ანთებითი აქტივობის მძიმე ფორმებმა შეიძლება გამოიწვიოს პულპის ნეკროზი. ნაკლებად მძიმე შემთხვევაში პულპის ანთება დაკაგშირებულია მგრძნობელობის გაზრდასთან სითბურ, მექანიკურ და თსმოსურ გამდიზიანებელზე, რასაც შეუძლია ტკივილის გამოწვევა [93, 119].

დენტინისა და კომპოზიტების არასაკმარისმა შეჭიდულობამ შეიძლება გამოიწვიოს ბაქტერიების შეჭრა კბილისა და რესტავრაციის საზღვარზე. ბაქტერიული მიკროგაუნივერსიტეტის შემცირება ხელს შეუწყობს ანთებითი პროცესების შემცირებას და პულპის ქსოვილის სიცოცხლის გახანგრძლივებას. სარესტავრაციო მასალების შერჩევა მნიშვნელოვნად მოქმედებს ბაქტერიების გაუნივერსიტეტის ბაქტერიების აღმოჩენა კომპოზიტური რესტავრაციების შიგნით აჩვენებს, რამდენად მნიშვნელოვანია კომპოზიტების შეკუმშვის შემცირება პოლიმერიზაციის დროს [119].

ზოგიერთი ავტორის აზრით რესტავრაციის შემდეგ ადინიშნება ბაქტერიების საერთო რაოდენობის სარწმუნო მომატება ($p<0,05$), ამასთან სარწმუნოდ მცირდება გრამდადებითი და მატულობს გრამუარყოფითი ანაერობული მიკრობების სიხშირე ($p<0,05$) [153]. სხვა მონაცემების მიხედვთ რესტავრაციის შემდეგ ადგილი ჰქონდა სტრეპტოკოკის სიხშრის შემცირებას, ხოლო ლაქტობაცილის სიხშირე არ შეიცვალა [142].

ექსპერიმენტულად დადგენილია, რომ ვინირება იცავს კბილს კარიესისაგან კარიესი ერთერთი ყველაზე გავრცელებული დაავადებაა. მონაცემებით ეკონომიკურად განვითარებულ ქვეყნებში მოსახლეობის კარიესით ავადობა დაახლოებით 95-98%-ია და ამასთანავე მზარდი ტენდენცია ახასიათებს [126]. კბილის მაგარი ქსოვილების დარბილება, რომელსაც თან სდევს დეფექტი, ანუ კარიესული ღრუს ჩამოყალიბება.

კარიესი ინფექციურ პათოლოგიური პროცესია, რომელიც გამოვლინდება კბილების ამოჭრის შემდეგ, რომლის დროსაც ხდება დემინერალიზაცია და მაგარი ქსოვილების დარბილება, რასაც თან სდევს დეფექტის ანუ კარიესული ღრუს ჩამოყალიბება [228]. კარიესის ჩამოყალიბების ყველაზე გავრცელებულ მექანიზმს წარმოადგენს სტრეპტოკოკული ინფექცია, თუმცა გარკვეული მნიშვნელობა ენიჭება ფიზიოლოგას, კვების ტიპს, pH-ს და კბილის მინანქრის ხარისხს [78, 15, 229].

მეორადი კარიესის ჩამოყალიბების ძირითად ფაქტორს წარმოადგენს ბაქტერიული კოლონიზაცია [17].

ვინირებიდან 16 წლის შემდეგ შედეგების ანალიზმა აჩვენა, რომ რეკურენტული კარიესი დაფიქსირდა შემთხვევათა 6%-ში [189].

საკვების, გაზიანი სასმელის, ბაქტერიული ნადების, ცხელი საკვების მოქმედება იწვევს კომპოზიტების ზედაპირის დეგრადაციას [129]. ვინირის

სიცოცხლის ხანგრძლივობა დამოკიდებულია როგორც გარემო ფაქტორებზე, ისე პირის დრუს ინიციალურ მახასათებლებზე [32].

სარესტავრაციო მასალების ზემოქმედებამ შეიძლება გამოიწვიოს იმუნური სისტემის ანთებითი რეაქცია, რამაც შეიძლება დააზიანოს პულპის უჯრედების პოპულაცია და მოახდინოს წარმატებული რესტავრაციის გართულების პროცესირება [1].

ამრიგად ვინირების შესახებ არსებობს აზრთა სხვადასხვაობა და დღემდე სადაც ესთეტიკური რესტავრაციის კრიტერიუმები [164, 104, 134], რაც განსაზღვრავს თემის აქტუალობას.

თავი II.
მასალა და გეთოდები

სამუშაოს საფუძვლად დაედო 18-დან 70 წლამდე ასაკის 330 პირის გამოკვლევა ქ-
თბილისის საერთო მოსახლეობიდან, მათგან 179 ქალი, 151 მამაკაცი, <20 წელზე
ნაკლები იყო 28, 20-40 წლის ასაკის – 172, 41-60 – 108 და 60 წელზე უფროსი 22
პაციენტი.

კვლევა წარიმართა რამდენიმე მიმართულებით. ქბილის ესთეტიკური
დეფექტების გავრცელებისა და ვინირების საჭიროების დასადგენად ჩატარდა
რეტროსპექტული კვლევა, კვლევის ტიპი – შემთხვევა-კონტროლი. ალტერნა-
ტიული ანალიზით შესწავლილ იქნა 330 პაციენტი, რომელთაგან 121-ს
ესაჭიროებოდა ვინირი. დადგინდა ვინირების საჭიროების მაპროვოცირებელი
ფაქტორები და ფარდობითი შანსი.

ვინირების გართულებების დასადგენად შეირჩა პაციენტთა ჯგუფი (64
პაციენტი ვინირით, რომელთაც ჰქონდათ 3 წელზე მეტი ხანგრძლივობის
ვინირი), მათ შორის 40 ქალი და 24 მამაკაცი, რომელთა ასაკობრივი
განაწილება ასეთია: 20 წლამდე 4 პაციენტი, 20-40 – 35 პაციენტი, 40-60 – 23
პაციენტი >60 2 პაციენტი.

დადგინდა კორელაციები ვინირების გართულებებსა და პაციენტის ინი-
ციალურ მახასიათებლებს შორის.

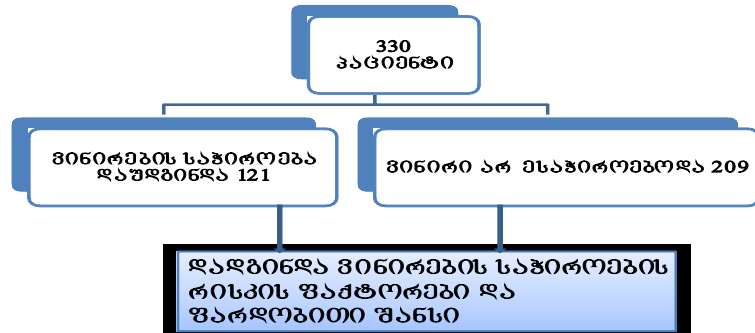
ვინირებამდე და ვინირების შემდეგ პირის ღრუს სტატუსის დასადგენად
ჩვენს მიერ პროსპექტულად შესწავლილ იქნა ვინირების საჭიროების მქონე 65
პაციენტი ვ. მარგველაშვილის სტომატოლოგიური კლინიკის კონტინგენტიდან,,
მათ ჩატარდათ ვინირება კომპოზიციური მასალით Estelite Sigma Quick (ტოკიო,
იაპონია). მათ შორის 36 ქალი და 29 მამაკაცი, მათგან 20 წლამდე ასაკის – 6,
20-40 – 40, 40-60 – 18 და 60 წელზე მეტი ასაკის 1 პაციენტი. იმ პაციენტთა
რაოდენობა, რომელთაც არ ჰქონდათ პირველადი ვინირი შეადგენდა 37, ხოლო
ვისაც ჰქონდა პირველადი ვინირი – 28.

ჩართვის კრიტერიუმები: პაციენტების კვლევა, რომელთაც 2005-2009 წლებში
მიმართეს ვ. მარგველაშვილის კლინიკას; პაციენტების ინფორმირებული თან-
ხმობა კვლევაზე.

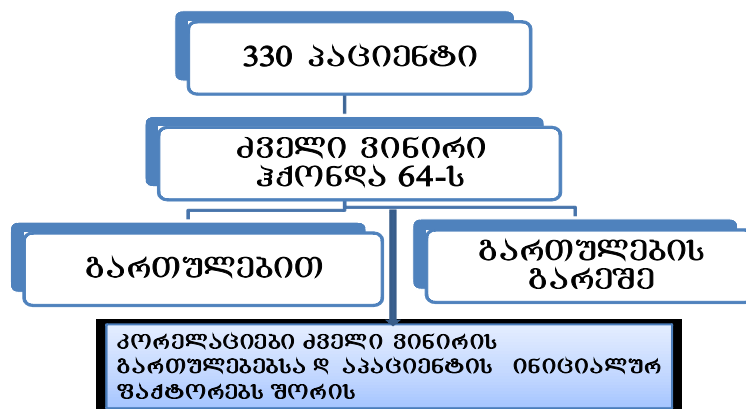
გამორიცხვის კრიტერიუმები: ყველა ის დააგადება ,რომლის დროსაც
კლინდება პირის ღრუს ლორწოვანი გარსისა და პაროდონტის ქსოვილების
მძიმე დაზიანებები (სისტემური დააგადებები, აუტოიმუნური დააგადებები,
დიაბეტის მძიმე ფორმა და სხვა), პაროდონტიტის და პაროდონტოზის მძიმე
ფორმა, ბრუქსიზმი, კბილის მაგარი ქსოვილების პათოლოგიური ცვეთა.

კვლევის აღგორითმი

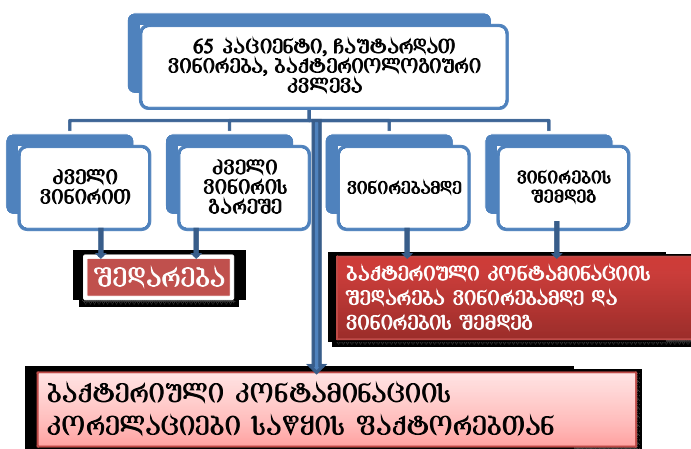
1 ପ୍ରକାଶ



II ၁၄၂၃၀



III 38.830



რესტავრაცია წარმოებდა შემდეგი მეთოდიებით: კბილები გაწმენდა ხდებოდა წყლის ჭავლის ქვეშ, არაფთორირებული აბრაზიული პასტისა (Proxyt RDA 36, Ivoclar Vivadent, lixtenStaini) და დაბალი სიჩქარის ბუნიკზე დამაგრებული ჯაგრისის (Opti Shine, Kerr, შვეიცარია) საშუალებით. ყოველ კბილზე გამოიყენებოდა ახალი ჯაგრისი. გაუტკივარება ხდებოდა ინფილტრაციული ანესტეზიის მეთოდის გამოყენებით (Ultrakain D-C forte an Septanest SP 4%).

კბილის მაგარი ქსოვილების მექანიკური დამუშავება ხორციელდებოდა წყლის ჭავლის ქვეშ ტურბინულ ბუნიკზე (DURAtec 2068D, გერმანია) დამაგრებული მრგვალთავიანი და ფისურული ალმასის ბორებით (Diatec, გერმანია). პრეპარირება შეძლებისდაგვარად ტარდებოდა ღრძილის კიდის დონეზე. კბილების იზოლაცია ხდებოდა ცელულოიდის მატრიცებით რის შემდეგაც ხორციელდებოდა რესტავრაციის ეტაპები. კბილის ზედაპირი, მწარმოებლის მოთხოვნილებებისამებრ მისი მომზადების შემდეგ იფარებოდა ერთ-მომენტიანი ადჰეზიური მასალით Bond Force (Tokuyama Dental, იაპონია) (ცხრილი 2.1). ბორცის პროცედურები ხორციელდებოდა მწარმოებლის მიერ მოწოდებული მასალის გამოყენების ინსტრუქციის მიხედვით.

რესტავრაციისათვის იყენებდნენ სხივამყარებად კომპოზიციურ მასალას Estelite Sigma Quick (Tokuyama Dental, იაპონია) (ცხრილი 2.1). სარესტავრაციო მასალის ფერის შერჩევა ხდებოდა Estelite Sigma Quick-ის (Tokuyama Dental, იაპონია) ფერთა შკალის გამოყენებით.

ბუნების შეტანა ხორციელდებოდა ეტაპობრივად, 2 მმ-მდე სისქის მასალის ფენობრივი შეტანით მწარმოებლის ინსტრუქციის გათვალისწინებით. კომპოზიციური მასალის გამყარება ხდებოდა მაღალი სიმძლავრის პელიო ნათურით (Blu Pac, სინათლის საშუალო ინტენსივობა 1400 mW/cm²).

რესტავრაციის ფინირება ხორციელდებოდა წყლის ჭავლის ქვეშ კარბიდული ფინიშური ბორებითა და ყვითელზოლიანი ალმასის ბორებით (Acurata, გერმანია). ხოლო, კბილებს შორის ზედაპირი მუშავდებოდა ცელულოიდის შტრიფსებით (Finishing and Polishing Shrips, Kerr, შვეიცარია).

პოლირება ხდებოდა პოლირების სისტემის (Kerr Nawe Polishing Kit, შვეიცარია) საშუალებით. პოლირება ტარდებოდა ეტაპობრივად, ანაწყობის მწარმოებლის ინსტრუქციის გათვალისწინებით (სხვადასხვა ხაოიანობის მქონე დისკებისა და საპოლირებელი ჭიქების მეშვეობით). რესტავრაციის ბოლო ეტაპზე კბილები მუშავდებოდა არაფტორირებული საპრიალებელი პასტით გაჯერებული ჯაგრისით.

ცხრილი 2.1

№	მასალა	ქიმიური შემადგენლობა	გამოყენების ინსტრუქცია
1	Bond Force	ფოსფორმჼავის მონიმერი, ბისფენოლ-ა (2-ჰიდროქსი-კროპოქსი), დიმეთაკრილატი (ბის-გმა), ტრიეთოლენგლიკოლ დიმეთაკრილატი, 2-ჰიდროქსიეთოლ მეთაკრილატი (HEMA), კამპორქინინი, სპირტი, გამოხდილი წყალი. pH=2.3	<ol style="list-style-type: none"> აპლიკაციის მეშვეობით დეფექტის ბონდით დაფარვა და შეზელვა 20წმ-ის განმავლობაში; ჰაერის სუსტი, არაპირდაპირი ჭავლით ბონდის გაფანტვა სანამ შეწყდება მოძრაობა და შემდეგ პირდაპირი ჭავლი 5 წმ-ის განმავლობაში. სხივ-გამყარება 10წმ-ის განმავლობაში.
2	Estelite Sigma Quick	სილიკო-ცირკონიუმისა და კომპოზიციური შემავსებლები – 82% წონით (71% მოცულობით), არაორგანული შემავსებელი-სფერული სუბმიკრონ შემავსებელი (ნაწილაკის ზომა 0,2 მკმ), ბისგმა, ტრიეთოლენგლიკოლ დომეტაკრილატი	<ol style="list-style-type: none"> ბენზის შეტანა ხდება ეტაპობრივად არაუმეტეს 2მმ სისქის ფენისა. ჰელიო ნათურით დანათება 10 წმ-ის განმავლობაში.

პაციენტთა მახასიათებლები შევისწავლეთ შემდეგი ანგეტა-კიოთხვარის მიეღვით – ცხრილი 2.2 [80].

ცხრილი 2.2 ანგეტა-კიოთხვარი

სქასი	მდედრობითი	1 ან 0
	მამრობითი	1 ან 0
ასაკი	<20	1 ან 0
	20-40	1 ან 0
	41-60	1 ან 0
	>60	1 ან 0
ჰიგიენური ჩვევები	კბილების გამოხეხვა	1 ან 0
	სავლების ხმარების კულტურა	1 ან 0
	ფლოსის გამოყენება	1 ან 0
მავნე ჩვევები	სიგარეტის წევა	1 ან 0
	ალკოჰოლიზმი	1 ან 0
	ნარკომანია	1 ან 0

ცხრილი 2.2 (გაგრძელება)

გარემო ფაქტორები	მავნე საწარმოო ფაქტორების მოქმედება	1 ან 0
	კანცეროგენული ნივთიერებების მოქმედება	1 ან 0
	საცხოვრებელი გარემოს მავნე ექოლოგიური ფაქტორები	1 ან 0
თანმხლები დაავადებები	პუჭ-ნაწლავის ტრაქტის პათოლოგიები	1 ან 0
	ენდოკრინული დაავადებები	1 ან 0
	გულ-სისხლძარღვთა დაავადებები	1 ან 0
	ჰიპოვიტამინზი	1 ან 0
	ფოკალური ინფექციის კერები	1 ან 0
ლორწოვანი გარსის ტრავმები	ქიმიური	1 ან 0
	ფიზიკური	1 ან 0
	მექანიკური	1 ან 0
მედიკამენტების მიღება		1 ან 0
კვების ტიპი	უპირატესად ნახშირწყლოვანი	1 ან 0
	უპირატესად ცილოვანი	1 ან 0
	ცხარე საკვების ხშირი მიღება	1 ან 0
	ობლიგატური ალერგენები	1 ან 0
	ტენილული	1 ან 0
	უპირატესად სწრაფი კვება	1 ან 0
კვების რეჟიმი	ჯანსაღი კვების რეჟიმი	1 ან 0
	სპეციალური დიეტის დაცვა	1 ან 0
	ყავის ხშირი მოხმარება	1 ან 0
	სინთეზური სითხეების გამოყენება	1 ან 0
თანკბილვა	ორთოგნათიული	1 ან 0
	დრმა	1 ან 0
	პირდაპირი	1 ან 0
	ჯვარედინი	1 ან 0
	დია	1 ან 0
	მეზიალური	1 ან 0
	დისტალური	1 ან 0

ცხრილი 2.2 (გაგრძელება)

პირის დრუს დაავადებები	კომპენსირებული კარიესი	1 ან 0
	სუბკომპენსირებული კარიესი	1 ან 0
	დეკომპენსირებული კარიესი	1 ან 0
	პაროდონტიტი	1 ან 0
	გინგივიტი	1 ან 0
	პირის დრუს ლორწოვანი გარსის დაავადება	1 ან 0
ინდექსები	ჰიგიენური	1,2,3,4,5
	პაროდონტული	1,2,3,4
	PMA	1,2,3
ძველი ვინირის არსებობა		1 ან 0
ვინირების შემდგომი გართულებები	ბენის ნაწილობრივი ან პირდაპირი ატკეზვა	1 ან 0
	ბენის ფერის ცვლილება	1 ან 0
	დემარკაციული ხაზის გაჩენა	1 ან 0
	რეციდიული კარიესი	1 ან 0
	გინგივიტი	1 ან 0
	პაროდონტიტი	1 ან 0
	დრძილის რეცესია	1 ან 0
პათოლოგიური მიკროფლორის გამოვლენა		1 ან 0

ყოველმა ფაქტორმა შეიძლება მიიღოს განსაზღვრული მნიშვნელობა (1 ან 0).

პირის დრუს ინდექსური მახასიათებლები შედარდა როგორც საშუალო მნიშვნელობების მიხედვით, ისე მათი სიხშირეების მიხედვით, რისთვისაც მოხდა ფაქტორთა კოდირება (ცხრილი 3).

ცხრილი 3

პირის დრუს ინდექსების შფასება

	შფასება	მდგომარეობა	კოდი
ჰიგიენური ინდექსი [10]	1,1-1,5	კარგი	1
	1,6-2	დამაკმაყოფილებელი	2
	2,1-2,5	არადამაკმაყოფილებელი	3
	2,6 – 3,4	ცუდი	4
	3,5-5	ძალიან ცუდი	5

ცხრილი 3 (გაგრძელება)

PI	0,1-1	ჯანმრთელი დროილი	1
	1-2	საწყისი ფორმა	2
	2-3,5	საშუალო	3
	>3,5	მძიმე	4
PMA ინდექსი (%)	<30	მსუბუქი	1
	30-60	საშუალო	2
	>60	მძიმე	3

ბაქტერიოლოგიური გამოკვლევა ჩატარდა ვინირებამდე და ვინირებიდან 3 გვირის შემდეგ.

მიკრობიოლოგიური ანალიზი ჩატარდა მიკრობთა იდენტიფიცირებისა და ანტიმიკრობული მგრძნობელობის დისკო-დიფუზური მეთოდით – მიკრობიოლოგიურ ანალიზატორზე VITEK 2 Compact. (VITEK 2 Compact, MIC-Minimum Inhibitory Concentration, disc diffusion-antimicrobial susceptibility).

ფიოდოროვ-ვოლოდკინას (Федоров Ю.А., Володкина В.В.) მეთოდის მიხედვით პირის ღრუს პიგიენურ მდგომარეობას ისახდვრება შემდეგნაირად: 43, 42, 41, 31, 32, 33 კბილების ვესტიბულურ ზედაპირი იღებება შილერ-პისარევის, ლუგოლის ან სხვა სადებავებით. კბილის გვირგვინის შეღებილი ზედაპირი ფასდება 5 ქულიანი სისტემით:

- 1 – შეღებვის არ არსებობა;
- 2 – კბილის გვირგვინის 1/4-ის შეღებვა;
- 3 – კბილის გვირგვინის 1/2-ის შეღებვა;
- 4 – კბილის გვირგვინის 3/4-ის შეღებვა;
- 5 – კბილის გვირგვინის მთელი ზედაპირის შეღებვა.

პიგიენის ინდექსის გამოსათვლელი ფორმულა:

$$N_{\Sigma} = \Sigma / 6,$$

სადაც Σ – ყველა 6 კბილის ქულათა ჯამია; 6 – გამოსაგვლევი კბილების რიცხვი.

N_{Σ} -ის შედეგების მიხედვით ისახდვრება პირის ღრუს პიგიენის დონე:

1,1-1,5 ქულა – პიგიენის კარგი დონე;

1,6-2,0 ქულა – დამაკმაყოფილებელი;

2,1-2,5 ქულა – არადამაკმაყოფილებელი;

2,6-3,4 ქულა – ცუდი;

3,5-5,0 ქულა – ძალიან ცუდი.

ფიოდოროვ-ვოლოდკინას პიგიენურ ინდექსს არ შეიძლება ჰქონდეს 5-ზე მეტი და 1 ქულაზე ნაკლები მნიშვნელობა.

პაროდონტული ინდექსი – პი [143, 118] განსაზღვრავს ღრძილის ანთებას, პაროდონტული ჯიბეების არსებობას ალვეოლური ძვლის საბოლოო რეზორბციით და კბილის დაკარგვას. ყოველი კბილის მდგომარეობა ფასდება ქულებით 1-დან 8-მდე, ინდექსი ითვლება ქულების ჯამის ფარდობით კბილების რაოდენობასთან. კლინიკურად ჯანმრთელი ღრძილის შემთხვევაში იგი იმყოფება საზღვრებში 0,1-0,2, გინგივიტის დროს 0,1-დან 1, მსუბუქი გინგივიტის და დესტრუქციული მოვლენების დასაწყისი 0,5-1,9, განვითარებადი და ტერმინალური სტადია 1,5-5,0.

სტატისტიკური ანალიზი

- სტატისტიკური დამუშავება მოიცავდა საშუალო სიდიდეების(M) და მათი საშუალო კვადრატული გადახრის გამოთვლას Std;
- ხარისხობრივი მაჩვენებლებისათვის ვითვლიდით საშუალო სიხშირეს, ჯგუფებს შორის განსხვავების შეფასებას ვახდენდით F კრიტერიუმით., ხოლო პაციენტთა სიხშირეები ვინირებამდე და ვინირების შემდეგ შედარდა Wilcoxon ranks test-ის მიხედვით;
- რაოდენობრივი მაჩვენებლები შეფასდა t კრიტერიუმით;
- პირის ღრუს სტატუსსა და ორგანიზმის საერთო მდგომარეობას შორის ურთიერთკავშირის განსაზღვრისათვის ჩატარდა სპირმენის რანგული კორელაციური ანალიზი (Spearman). 95%-იანი სარწმუნოებით სარწმუნოების ალბათობა $p<0,05$ [205, 220];
- ვინირების საჭიროების ფარდობითი შანსი შეფასდა მტკიცებითი მედიცინის მეთოდებით [201, 225, 200, 199];
- ვინირების გართულების პროგნოზირება ჩატარდა რეგრესიული ანალიზის გამოყენებით;
- მათემატიკური უზრუნველყოფა განხორციელდა პროგრამების პაკეტის SPSS v17.0-ის გამოყენებით.

თავი III.

საკუთარი პელევის შედეგები

3.1. საკუთარი მასალის დახასიათება

ჩვენს მიერ შესწავლილი 330 პაციენტიდან ვინირების საჭიროება აღმოაჩნდა 121-ს (36,7%), მათგან 71 იყო ქალი, ხოლო 50 მამაკაცი. ვინირების საჭიროების მქონე პაციენტები ასაკის მიხედვით შემდეგნაირად განაწილდნენ: 20 წელზე ნაკლები – 6, 20-40 წლის – 66, 41-60 – 46, 60 წელზე უფროსი – 3.

კბილებს რეგულარულად იხეხავდა 119, სავლებს ხმარობდა – 39, ხოლო ფლოსის გამოყენებას აღნიშნავდა 24 პაციენტი.

მავნე ჩვევების შესწავლაშ ვინირების საჭიროების მქონე პაციენტებს შორის გვიჩვენა, რომ სიგარეტის მწეველი იყო 79, ალკოჰოლს ჭარბად მოიხმარდა 38, ნარკომანიას აღნიშნავდა მხოლოდ 1. მავნე გარემო ფაქტორების მოქმედება აღინიშნა 14 შემთხვევაში.

ორგანიზმის ზოგადი მდგომარეობის შესასწავლად განვიხილეთ პაციენტთა ზოგადი დაავადებები. კუჭ-ნაწლავის ტრაქტის პათოლოგიები აღმოაჩნდა 70 პაციენტს, ენდოკრინული დაავადებები – 30-ს, გულ-სისხლძარღვთა დაავა-დებები – 33-ს, ჰიპოვიტამინოზი – 16-ს, ფოკალური ინფექციის კერები – 18-ს, ქრონიკული რესპირატორული ინფექციები – 9-ს, ლორწოვანი გარსის ტრავმები აღენიშნებოდა 22 პაციენტს, მათგან 21-ს მექანიკური, ხოლო 1-ს ქიმიური. მედიკამენტებს იღებდა 43 ვინირების საჭიროების მქონე პაციენტი.

კვების ტიპის შესწავლაშ ვინირების საჭიროების მქონე პაციენტებს შორის გვიჩვენა, რომ უპირატესად ნახშირწყლოვან საკვებს მოიხმარდა 99 პაციენტი, მათგან ტკბილულს 97; ცილოვან საკვებს – 101, ცხარე საკვების ხშირი მიღებას აღნიშნავდა 71, ობლიგატური ალერგენების – 27; უპირატესად სწრაფ კვებას – 56, ჯანსაღი კვების რეჟიმს – 63; სპეციალური დიეტის დაცვას – 34, ყავის ხშირ მოხმარებას – 81; სინთეზური სითხეების გამოყენებას – 71.

ვინირების საჭიროების მქონე პაციენტებს შორის ორთოგნათიული თან-კბილვა აღმოაჩნდა 34 პაციენტს, ლრმა – 31-ს, პირდაპირი – 13-ს, ჯვარედინი – 20-ს, დია – 2-ს, მეზიალური – 4-ს, დისტალური – 17-ს.

კარიესი აღენიშნებოდა 114 პაციენტს, მათგან კომპენსირებული – 24-ს, სუბკომპენსირებული – 52-ს ხოლო დეკომპენსირებული კარიესი – 38-ს.

პაროდონტიტი აღმოაჩნდა 55 პაციენტს, პაროდონტოზის მსუბუქი ფორმა – 4-ს, გინგივიტი – 37-ს.

პირის ღრუს ლორწოვანი გარსის სხვა დაავადებები – 17-ს, ძველი ვინირი პქონდა 65 პაციენტს. აღინიშნა ვინირების შემდეგი გართულებები: ბჟეზის

ნაწილობრივი ან სრული ატკეზვა – 30, ბჟენის ფერის ცვლილება – 53, დემარკაციული ხაზის გაჩენა – 38, რეციდიული კარიესი – 33, გინგივიტი – 17, პაროდონტიტი – 29, ლრძილის რეცესია – 18, პათოლოგიური მიკროფლორის გამოვლენა – 45.

ქველი ვინირი აღმოაჩნდა 65 პაციენტს, მათი განაწილება ასაკისა და სქესის მიხედვით მოცემულია ცხრილში 4.

პაციენტების განაწილებამ ვინირის არსებობის მიხედვით გვიჩვენა, რომ საქართველოს მოსახლეობაში ვინირების გამოყენების სიხშირე სარწმუნოდ არ განსხვავდება ასაკისა და სქესის მიხედვით

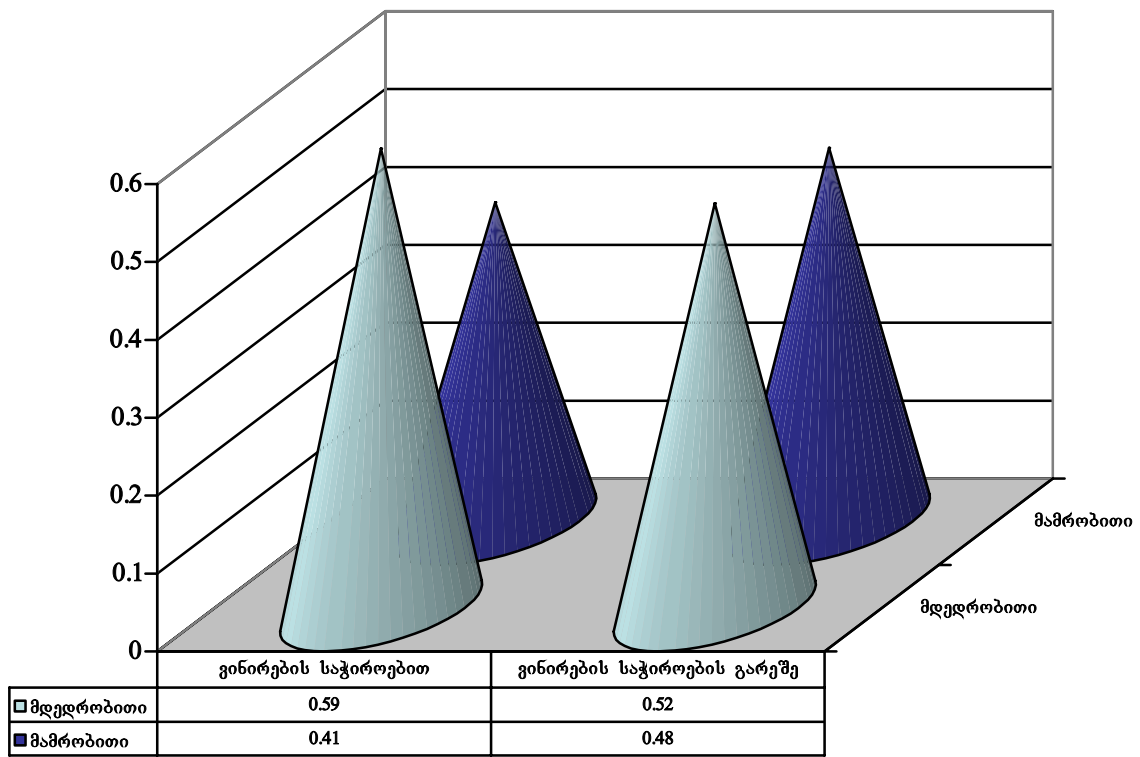
ცხრილი 4

**პაციენტების განაწილება ასაკისა და სქესის მიხედვით
ვინირებით და ვინირების გარეშე**

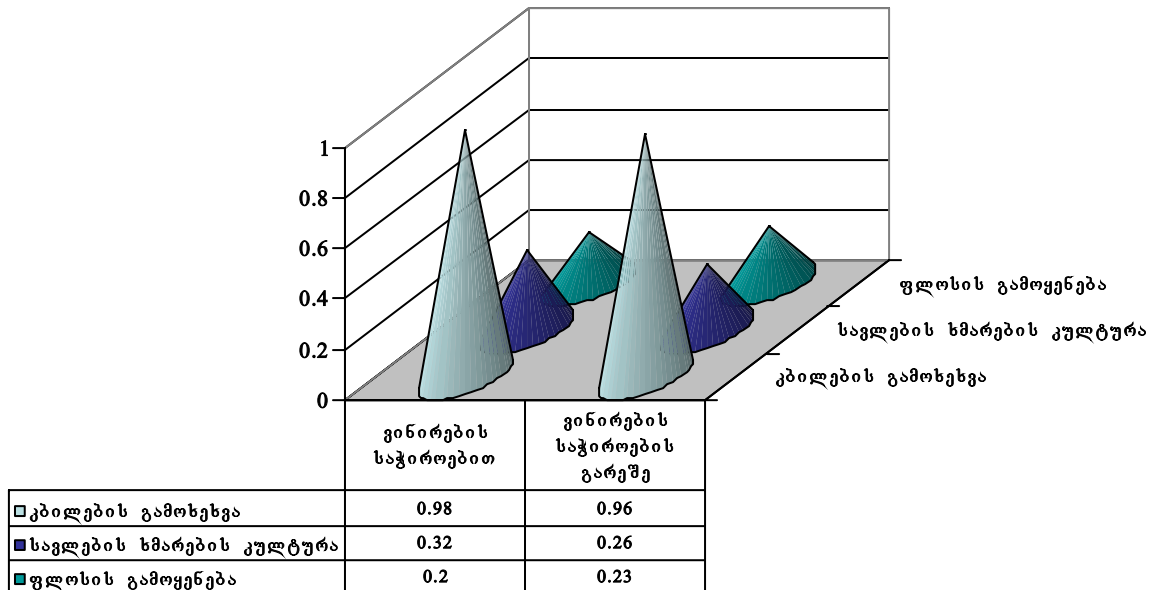
	პაციენტები ვინირების გარეშე		პაციენტები ვინირებით		F	P
	საშუალო	StD	საშუალო	StD		
მდედრობითი	0.52	0.500	0.63	0.488	2.18	0.1405
მამრობითი	0.48	0.500	0.38	0.488	2.18	0.1405
<20	0.09	0.287	0.06	0.244	0.51	0.4763
20-40	0.52	0.501	0.55	0.502	0.21	0.6483
41-60	0.32	0.467	0.36	0.484	0.37	0.5435
>60	0.07	0.258	0.05	0.213	0.50	0.4811

პაციენტთა განაწილება ვინირების საჭიროების მიხედვით ნაჩვენებია დიაგრამებზე (დიაგრამა 1-12).

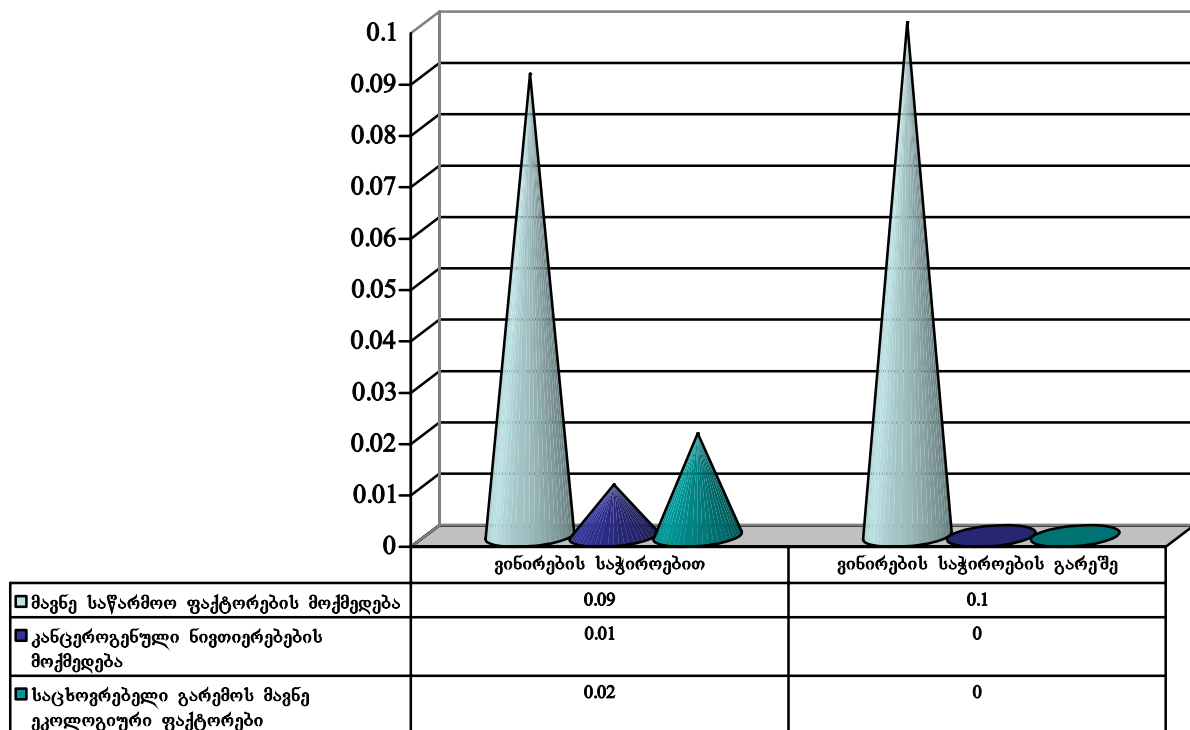
პაციენტთა განაწილება სქესის მიხედვით



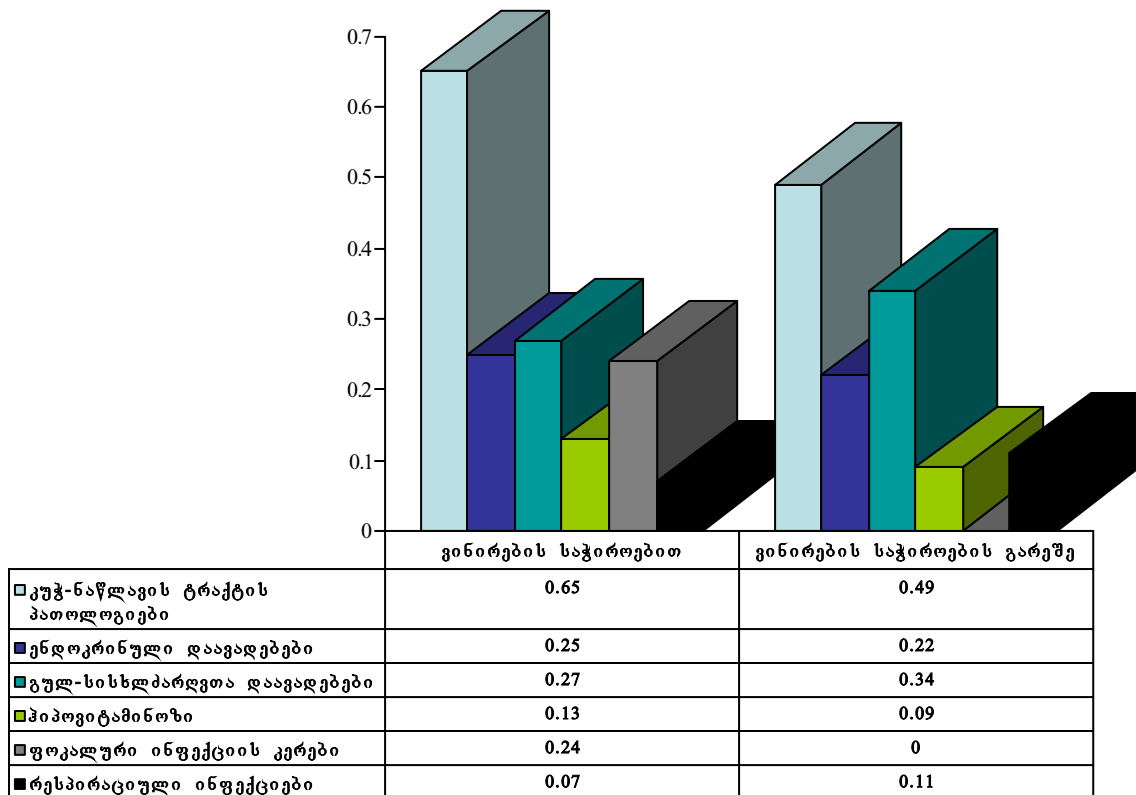
პაციენტთა განაწილება პირის ლრუს მოვლის ჩვევების მიხედვით



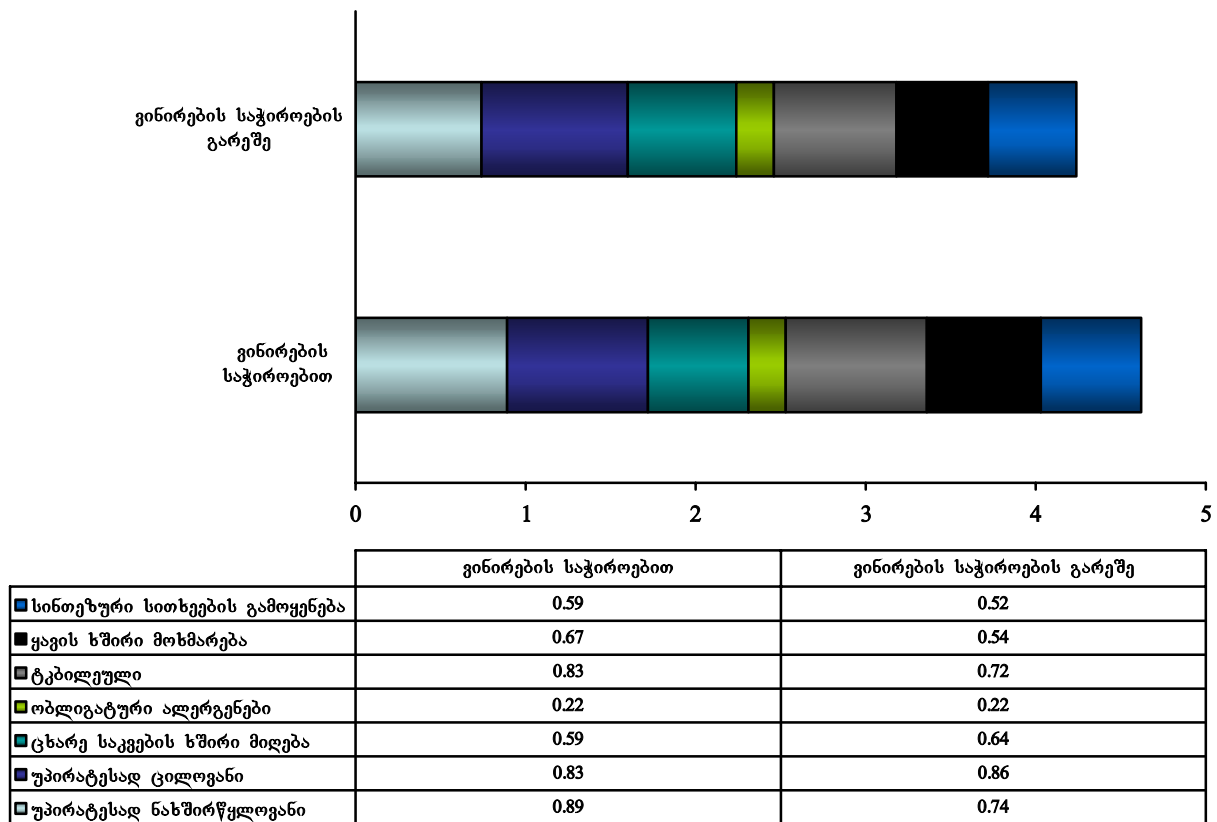
პაციენტთა განაწილება გარემო ფაქტორების მოქმედების მიხედვით



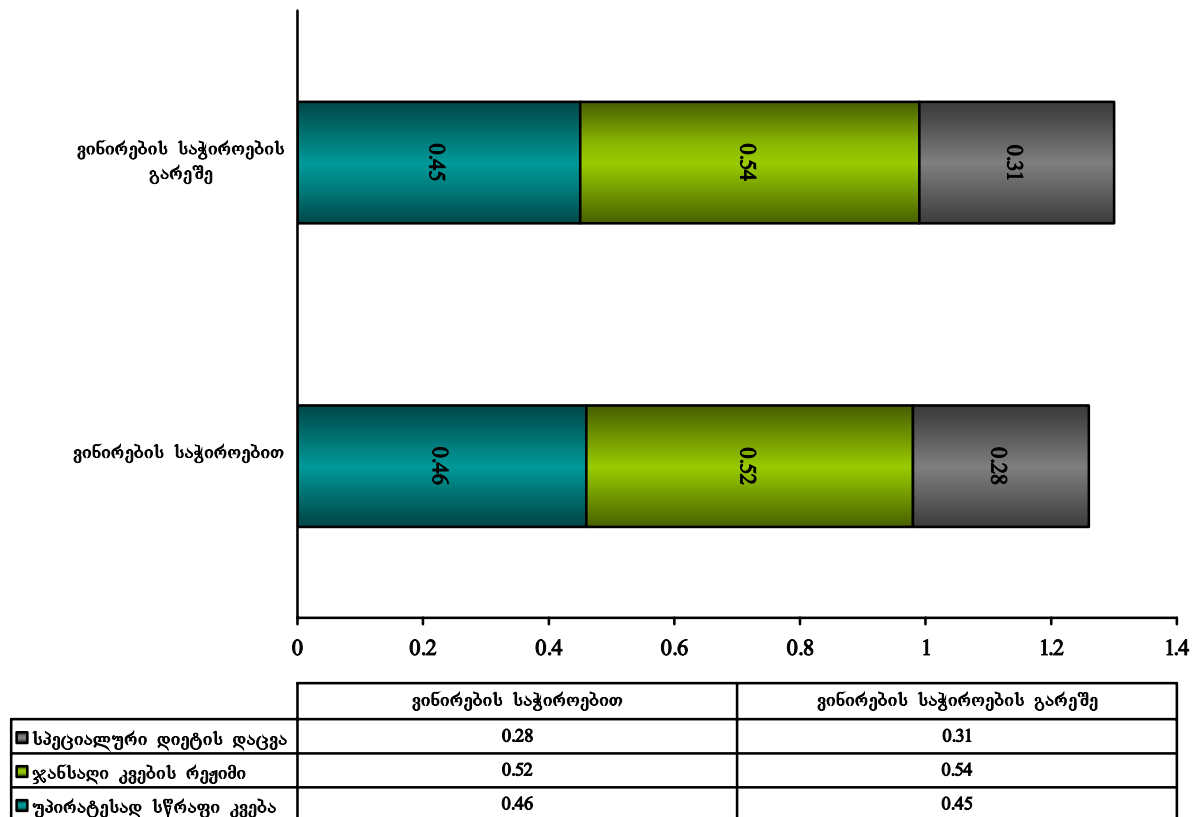
პაციენტთა განაწილება თანდართული დაავადებების მიხედვით



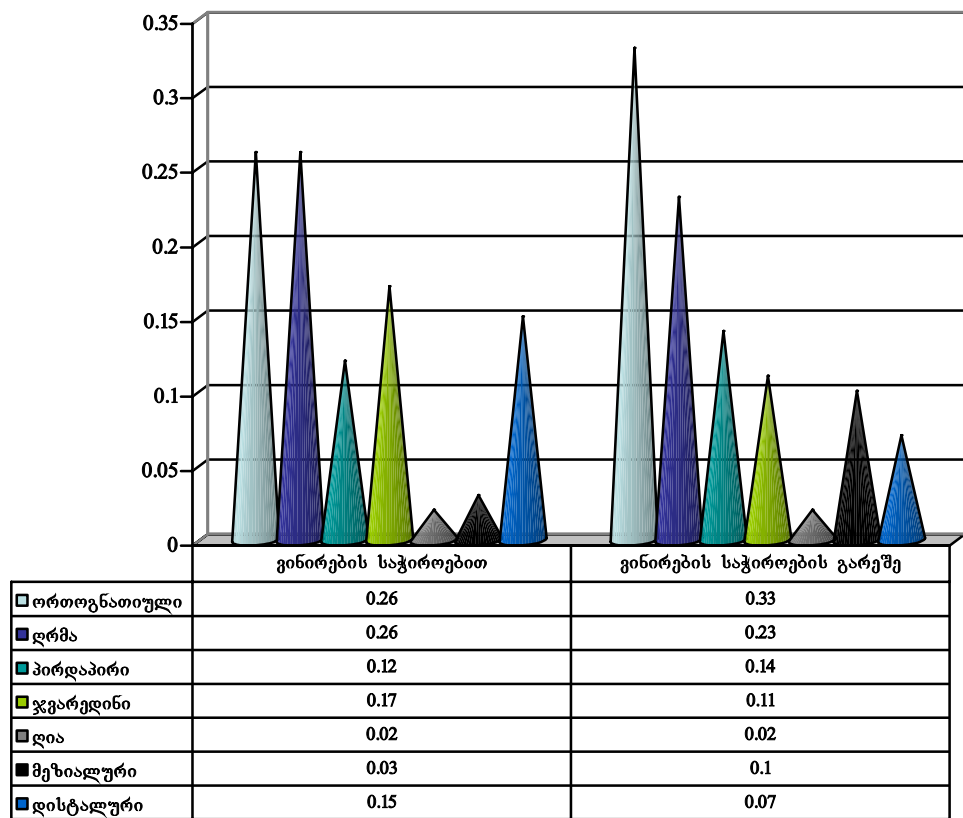
პაციენტთა განაწილება კვების ტიპის მიხედვით



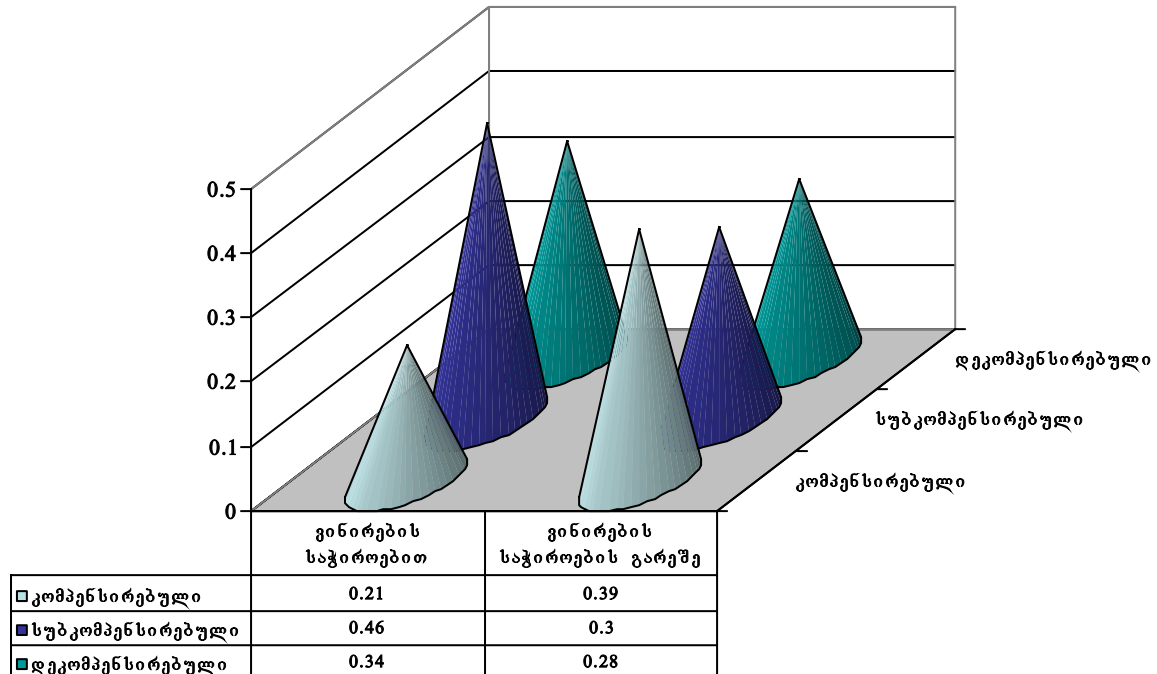
პაციენტთა განაწილება კვების რეჟიმის მიხედვით



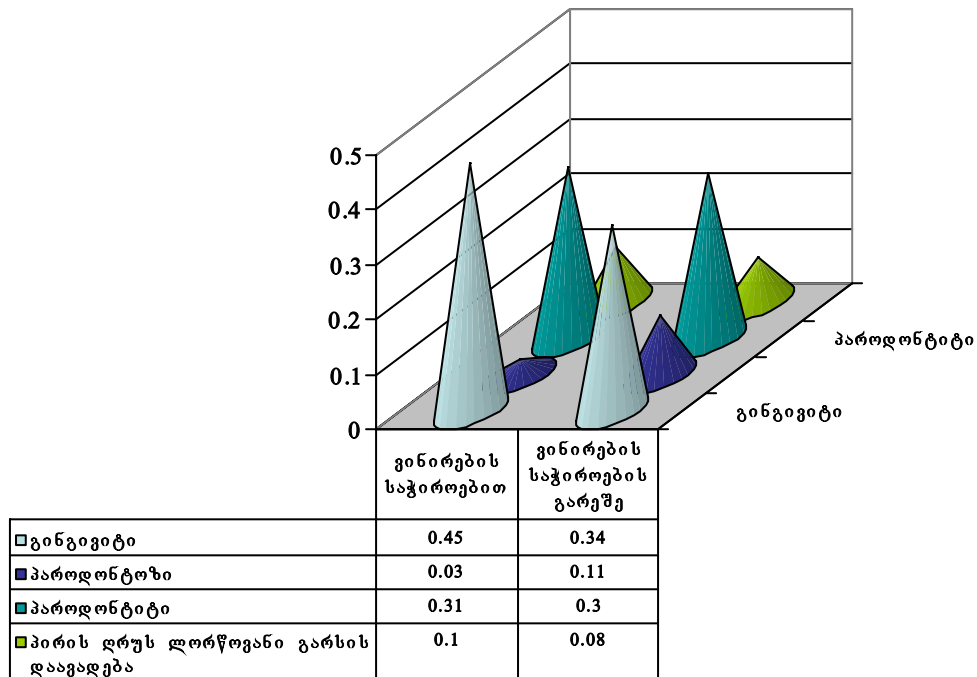
პაციენტთა განაწილება თანკბილგის მიხედვით



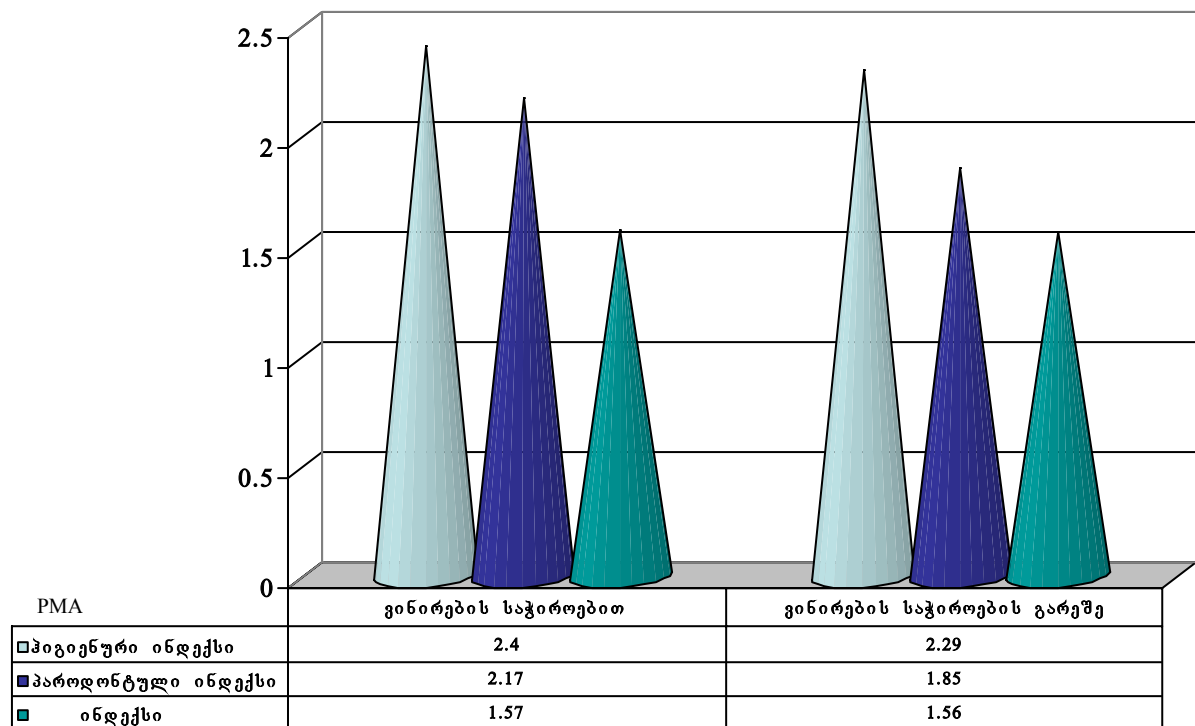
პაციენტთა განაწილება კარიესის ხარისხების მიხედვით



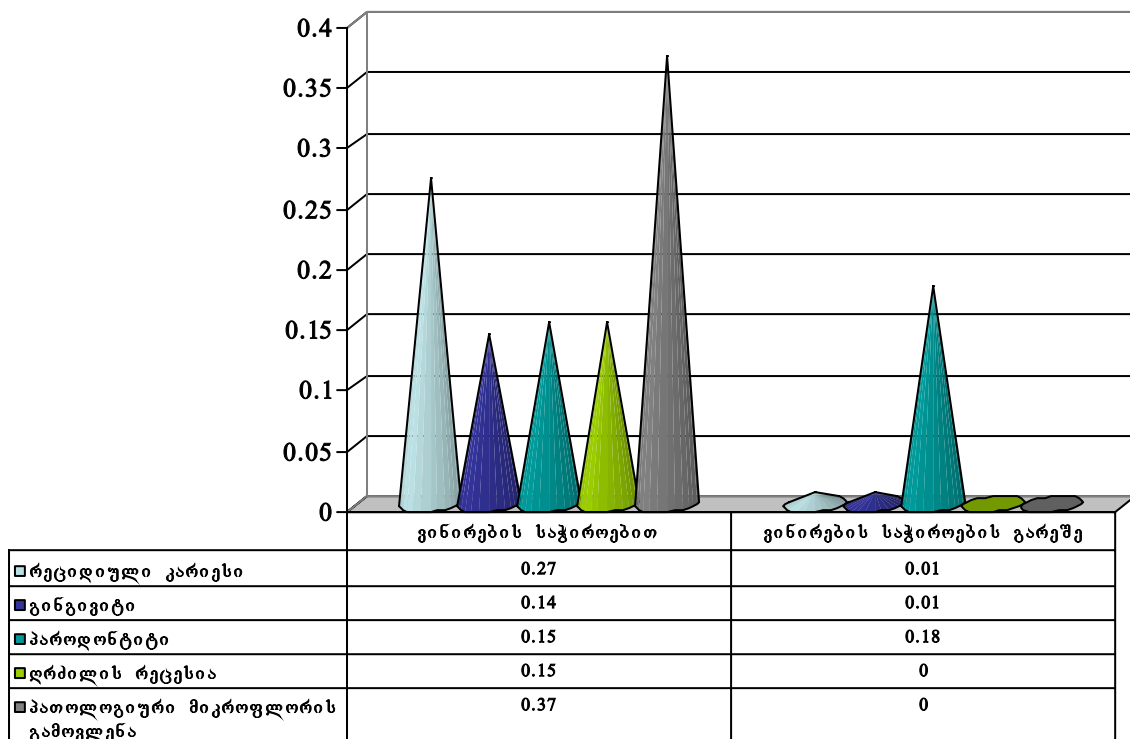
**პაციენტთა განაწილება პაროდონტისა და პირის დრუს ლორწოვანი გარსის
დაავალებების მიხედვით**



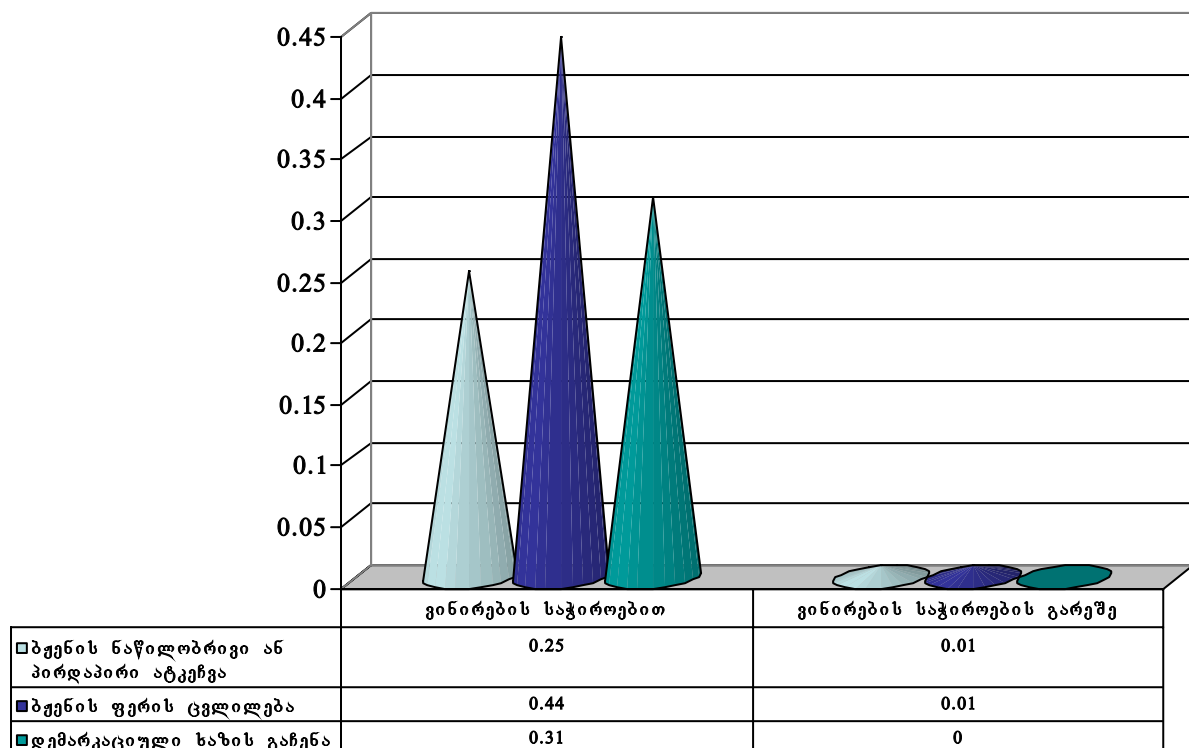
პაციენტთა განაწილება პირის ღრუს მახასიათებელი ინდექსების მიხედვით



ძველი გინირის მქონე პაციენტთა განაწილება გინირების გართულებების მიხედვით



ძველი გინირის მქონე პაციენტთა განაწილება გინირის დეფექტის ტიპის მიხედვით



3.2. კბილის ესთეტიკური დეფექტების სიხშირის, რისკ ფაქტორებისა და ვინირების საჭიროების შეფასება გამოკვლეულ კონტინგენტში

წვენს მიერ გამოკვლეული 330 პაციენტიდან ვინირების საჭიროება აღმოაჩნდა 121 (36,67%), მათგან 59% იყო ქალი, ხოლო 41% მამაკაცი.

ვინირების საჭიროებას ძირითადად განსაზღვრავდნენ კბილის შემდეგი დეფექტები: ძველი ბჟენების არადამაკმაყოფიებელი ესთეტიკური გარეგნული სახე – მაგარი ქსოვილების პათოლოგიური ცვეთა, მრავლობითი დეფექტები, ფლუოროზი.

გამოკვლეულ პირებში შევისწავლეთ ვინირების საჭიროება და ამ ნიშნის მიხედვით მოვადინეთ პაციენტთა გაყოფა, რის შემდეგაც, ალტერნატიული ანალიზის გამოყენებით შევადარეთ მათი ინიციალური ფაქტორები(ცხრილი 5).

ცხრილი 5

**პაციენტთა ინიციალური მახასიათებლების სტატისტიკური შეფასება
ვინირების საჭიროების მიხედვით**

		ვინირების საჭიროებით		ვინირების საჭიროების გარეშე		F	P
		საშუალო	StD	საშუალო	StD		
სქესი	მდედრობითი	0.59	0.494	0.52	0.501	1.51	0.2197
	მამრობითი	0.41	0.494	0.48	0.501	1.51	0.2197
ასახვა	<20	0.04	0.200	0.11	0.314	4.70	0.0309
	20-40	0.55	0.500	0.51	0.501	0.45	0.5038
	41-60	0.38	0.487	0.30	0.458	2.43	0.1199
	>60	0.03	0.180	0.09	0.281	3.48	0.0629
პიგინური ჩავალები	კბილების გამოხეხვა	0.98	0.128	0.96	0.203	1.67	0.1968
	სავლების ხმარების კულტურა	0.32	0.469	0.26	0.439	1.55	0.2146
	ფლოსის გამოყენება	0.20	0.400	0.23	0.425	0.58	0.4479
მავნე ჩავალები	სიგარეტის წევა	0.69	0.463	0.56	0.498	6.30	0.0126
	ალკოჰოლიზმი	0.31	0.466	0.35	0.479	0.54	0.4609
	ნარკომანია	0.01	0.091	0.03	0.167	1.54	0.2154
გარეშე ფაქტორები	მავნე საწარმოო ფაქტორების მოქმედება	0.09	0.289	0.10	0.301	0.08	0.7779
	კანცეროგენული ნივთიერებების მოქმედება	0.01	0.091	0.00	0.000	1.73	0.1892
	საცხოვრებელი გარემოს მავნე ეკოლოგიური ფაქტორები	0.02	0.128	0.00	0.000	3.49	0.0626

თანმხრები დაავალებები	კუჭ-ნაწლავის ტრაქტის პათოლოგიები	0.65	0.478	0.49	0.501	8.08	0.0047
	ენდოკრინული დაავალებები	0.25	0.434	0.22	0.419	0.23	0.6345
	გულ-სისხლძარღვთა დაავალებები	0.27	0.447	0.34	0.476	1.82	0.1784
	ჰიპოვიტამინოზი	0.13	0.340	0.09	0.288	1.38	0.2414
	ფოკალური ინფექციის კერები	0.24	0.429	0.00	0.069	60.18	0.0000
	რესპირატორული ინფექციები	0.07	0.263	0.11	0.314	1.11	0.2928
	ლორწო-ვანის გრავები	ქიმიური	0.01	0.091	0.02	0.137	0.60
კვების ტიპი	ფიზიკური	0.00	0.000	0.01	0.098	1.16	0.2818
	მექანიკური	0.26	0.443	0.14	0.347	8.19	0.0045
	მედიკამენტების მიღება	0.46	0.501	0.29	0.453	10.65	0.0012
კვების ტიპი	უპირატესად ნახშირყლოვანი	0.89	0.311	0.74	0.439	11.09	0.0010
	უპირატესად ცილოვანი	0.83	0.380	0.86	0.351	0.53	0.4688
კვების რეჟიმი	ცხარე საკვების ხშირი მიღება	0.59	0.494	0.64	0.481	0.96	0.3280
	ობლიგატური ალერგენები	0.22	0.418	0.22	0.415	0.00	0.9490
	ტკბილეული	0.83	0.380	0.72	0.451	4.98	0.0263
	უპირატესად სწრაფი კვება	0.46	0.501	0.45	0.499	0.02	0.8850
კვების რეჟიმი	ჯანსაღი კვების რეჟიმი	0.52	0.502	0.54	0.500	0.07	0.7902
	სპეციალური დიეტის დაცვა	0.28	0.451	0.31	0.464	0.33	0.5678
	ყავის ხშირი მოხმარება	0.67	0.472	0.54	0.500	5.69	0.0176
	სინთეზური სითხეების გამოყენება	0.59	0.494	0.52	0.501	1.31	0.2527
თანმხრები	ორთოგნათიული	0.26	0.438	0.33	0.470	1.74	0.1875
	დრმა	0.26	0.443	0.23	0.422	0.50	0.4787
	პირდაპირი	0.12	0.321	0.14	0.347	0.36	0.5503
	ჯვარედინი	0.17	0.380	0.11	0.320	2.25	0.1350
	დია	0.02	0.128	0.02	0.153	0.20	0.6544
	მეზიალური	0.03	0.180	0.10	0.295	4.49	0.0348
	დისტალური	0.15	0.357	0.07	0.259	5.09	0.0247

პირის ლრუს დაავალებები	კომპენსირებული კარიესი	0.21	0.412	0.39	0.489	11.27	0.0009
	სუბკომპენსირებული კარიესი	0.46	0.501	0.30	0.458	9.42	0.0023
	დეფომპენსირებული კარიესი	0.34	0.475	0.28	0.449	1.37	0.2427
	გინგივიტი	0.45	0.500	0.34	0.475	4.31	0.0386
	პაროდონტოზი	0.03	0.180	0.11	0.314	6.12	0.0139
	პაროდონტიტი	0.31	0.463	0.30	0.460	0.01	0.9342
	პირის ლრუს ლორწოვანი გარსის დაგვადება	0.10	0.300	0.08	0.267	0.50	0.4789
	ბჟენის ნაწილობრივი ან პირდაპირი ატკებვა	0.25	0.434	0.01	0.098	58.19	0.0000
ტეული ვინირების გართულებები	ბჟენის ფერის ცვლილება	0.44	0.498	0.01	0.098	145.2 5	0.0000
	დემარკაციული ხაზის გაჩენა	0.31	0.466	0.00	0.069	88.84	0.0000
	რეციდიული კარიესი	0.27	0.447	0.01	0.119	62.25	0.0000
	გინგივიტი	0.14	0.349	0.01	0.119	22.77	0.0000
	პაროდონტიტი	0.15	0.357	0.18	0.387	0.59	0.4423
	ღრძილის რეცესია	0.15	0.357	0.00	0.000	36.30	0.0000
	პათოლოგიური მიკრო-ფლორის გამოვლენა	0.37	0.485	0.00	0.069	115.7 8	0.0000
	ძველი ვინირის არსებობა	0.48	0.502	0.03	0.167	141.6 8	0.0000

ჩვენმა კვლევამ აჩვენა, რომ ჯგუფებს შორის სარწმუნო განსხვავება დაფიქ-სირდა შემდეგი ფაქტორების მიხედვით: 20 წელზე ნაკლები ასაკი; სიგარეტის წევა; კუჭ-ნაწლავის ტრაქტის პათოლოგიები; ფოკალური ინფექციის კერები; მექანიკური ტრაგმა; მედიკამენტების მიღება; უპირატესად ნახშირწყლოვანი კვების ტიპი; ტკბილეულის ხშირი მოხმარება; ყავის ხშირი მოხმარება; მეზიალური თანკბილვა; დისტალური თანკბილვა; კომპენსირებული კარიესი; სუბკომპენსირებული კარიესი; გინგივიტი; პაროდონტოზი; ძველი ვინირის არსებობა; ამათგან იმ ჯგუფში, რომელშიც აღინიშნა ვინირების საჭიროება, სარწმუნოდ ნაკლებია 20 წელზე ნაკლები ასაკი, კომპენსირებული კარიესი და პაროდონტოზი.

ძველი ვინირის გართულებებიდან გამოვლინდა: ბჟენის ნაწილობრივი ან პირდაპირი (მთლიანი) ატკებვა; ბჟენის ფერის ცვლილება; დემარკაციული ხაზის გაჩენა; რეციდიული კარიესი; გინგივიტი; ღრძილის რეცესია; პათოლოგიური მიკროფლორის გამოვლენა;

ჩენი კვლევის მიხედვით ვინირების საჭიროებას არ განსაზღვრავს: სქესი, პიგიენური ჩვევები, გარემო ფაქტორები.

კვლევის შემდეგ ეტაპზე შევისწავლეთ ვინირების საჭიროების ფარდობითი შანსი თითოეული საწყისი ფაქტორისათვის(ცხრილი 6).

ცხრილი 6

ვინირების საჭიროების ფარდობითი შანსის შეფასება

		OR	95%CI	
სქესი	მდედრობითი	1.33	0.84	11.24
	მამრობითი	0.75	0.48	10.32
ასაკი	<20	0.35	0.13	20.06
	20-40	1.17	0.74	10.86
	41-60	1.45	0.91	22.27
	>60	0.36	0.12	58.01
პიგიენური ჩვევები	კბილების გამოხეხვა	2.68	0.57	6.96
	სავლების ხმარების კულტურა	1.37	0.84	26.93
	ფლოსის გამოყენება	0.81	0.47	38.63
მავნე ჩვევები	სიგარეტის წევა	1.82	1.13	12.37
	ალკოჰოლიზმი	0.84	0.52	17.43
	ნარკომანია	0.28	0.03	78.59
გარემო ფაქტორები	მავნე საწარმოო ფაქტორების მოქმედება	0.90	0.42	28.95
თანმხლები დაავადებები	კუჭ-ნაწლავის ტრაქტის პათოლოგიები	1.94	1.22	14.26
	ენდოკრინული დაავადებები	1.14	0.67	35.08
	გულ-სისხლძარღვთა დაავადებები	0.71	0.44	18.93
	ჰიპოვიტამინოზი	1.52	0.75	168.80
	ფოკალური ინფექციის კერები	65.57	8.80	76.22
	რესპირატორული ინფექციები	0.65	0.29	389.78
	მექანიკური ტრავმა	2.23	1.27	58.95
მედიკამენტების მიღება		2.14	1.34	24.56
კვების ტიპი	უპირატესად ნახშირწყლოვანი	2.89	1.51	13.15
	უპირატესად ცილოვანი	0.80	0.43	4.04
	ცხარე საკვების ხშირი მიღება	0.79	0.50	6.69
	ობლიგატური ალერგენები	1.02	0.59	38.32
	ტკბილური	1.87	1.07	9.85

კვების რეჟიმი	უპირატესად სწრაფი კვება	1.03	0.66	12.04
	ჯანსაღი კვების რეჟიმი	0.94	0.60	9.32
	სპეციალური დიეტის დაცვა	0.87	0.53	21.72
	ყავის ხშირი მოხმარება	1.75	1.10	12.51
	სინთეზური სითხეების გამოყენება	1.30	0.83	11.02
თანკბილვა	ორთოგნათოული	0.71	0.43	21.15
	ღრმა	1.21	0.72	33.15
	პირდაპირი	0.81	0.41	132.85
	ჯგარედინი	1.62	0.86	97.08
	ღია	0.69	0.13	56.33
	მეზიალური	0.32	0.11	52.91
	დისტალური	2.26	1.09	18.68
პირის დრუს დაავადებები	კომპენსირებული კარიესი	0.42	0.25	17.62
	სუბკომპენსირებული კარიესი	2.04	1.28	23.48
	დეკომპენსირებული კარიესი	1.33	0.82	24.36
	გინგივიტი	1.62	1.02	19.20
	პაროდონტოზი	0.28	0.09	4527.37
	პაროდონტიტი	1.02	0.63	22.13
	პირის დრუს ლორწოვანი გარსის დაავადება	1.33	0.61	31.16
	ბჟენის ნაწილობრივი ან პირდაპირი ატკეჩვა	34.12	7.98	52.11
ძველი ვინირების გართულებები	ბჟენის ფერის ცვლილება	80.67	19.15	509.48
	დემარკაციული ხაზის გაჩენა	95.23	12.86	114.61
	რეციდიული კარიესი	25.75	7.69	39.87
	გინგივიტი	11.22	3.22	68.99
	პაროდონტიტი	0.79	0.43	69.79
	პათოლოგიური მიკროფლორის გამოვლენა	123.16	16.68	126.40
ძველი ვინირის არსებობა		31.15	12.83	46.51

როგორც ცხრილიდან ჩანს, ვინირების საჭიროების ფარდობით შანსს განსაზღვრავენ შემდეგი ფაქტორები: სიგარეტის წევა; კუჭ-ნაწლავის ტრაქტის პათოლოგიები, ფოკალური ინფექციის კერები; მექანიკური ტრაგმა; მედიკამენტების მიღება; უპირატესად ნახშირწყლოვანი კვება; ტკბილეულის ხშირი მოხმარება; ყავის ხშირი მოხმარება; დისტალური თანკბილვა; სუბკომპენსირებული კარიესი, ძველი ვინირის არსებობა.

ბეჭდი ვინირების გართულებებიდან: გინგივიტი; ბჟენის ნაწილობრივი ან სრული ატკებები; ბჟენის ფერის ცვლილება; დემარკაციული ხაზის გაჩენა; რეციდიული კარიესი; პათოლოგიური მიკროფლორის გამოვლენა.

ამრიგად, გამოვლინდა ფაქტორთა ერთობლიობა, რომელიც განსაზღვრავს ვინირების საჭიროებას გამოკვლეულ კონტინგენტში. ჩვენს მიერ მიღებული შედეგები გამოვიყენეთ კითხვარის შესადგენად

კითხვარი ვინირების საჭიროების განმაპირობებებული ფაქტორები

სიგარეტის მოწვევა	არა – 0, კი – 1
კუჭ-ნაწლავის ტრაქტის პათოლოგიები	არა – 0, კი – 1
ფოკალური ინფექციის კერები	არა – 0, კი – 1
მექანიკური ტრავმა	არა – 0, კი – 1
მედიკამენტების მიღება	არა – 0, კი – 1
უპირატესად ნახშირწყლოვანი კვება	არა – 0, კი – 1
ტკბილეულის ხშირი მოხმარება	არა – 0, კი – 1
ყავის ხშირი მოხმარება	არა – 0, კი – 1
მეზიალური თანკბილვა	არა – 0, კი – 1
დისტალური თანკბილვა	არა – 0, კი – 1
კომპენსირებული კარიესი	არა – 0, კი – 1
სუბკომპენსირებული კარიესი	არა – 0, კი – 1
გინგივიტი	არა – 0, კი – 1
ძველი ვინირების გართულებები:	არა – 0, კი – 1
ბჟენის ნაწილობრივი ან პირდაპირი ატკებები	არა – 0, კი – 1
ბჟენის ფერის ცვლილება	არა – 0, კი – 1
დემარკაციული ხაზის გაჩენა	არა – 0, კი – 1
რეციდიული კარიესი	არა – 0, კი – 1
გინგივიტი	არა – 0, კი – 1
პათოლოგიური მიკროფლორის გამოვლენა	არა – 0, კი – 1
ძველი ვინირის არსებობა	არა – 0, კი – 1

3.3. გინირების გართულებების რისკის შეფასება

მიუხედავად იმისა, რომ ვინირება წარმოადგენს კბილის აღდგენის ეფექტურ და დამზოგველ მეთოდიკას, ზოგჯერ ვინირი შეიძლება აღმოჩნდეს პათოლოგიური პროცესის მაპროვოცირებელი მიზეზი, განსაკუთრებით პირის ღრუს არადამაკმაყოფილებელი მდგომარეობის შემთხვევებში. ტექნიკურ გართულებას წარმოადგენს ფერის შეცვლა, მეორადი კარიესი, კიდოვანი დაფექტები, მორყევა და ბზარები, ვინირის მოტეხვა და აცლა.

ვინირის სიცოცხლის ხანგრძლივობა დამოკიდებულია როგორც სტომატოლოგის კვალიფიკაციაზე, ისე პირის ღრუს საწყის მახასიათებელზე.

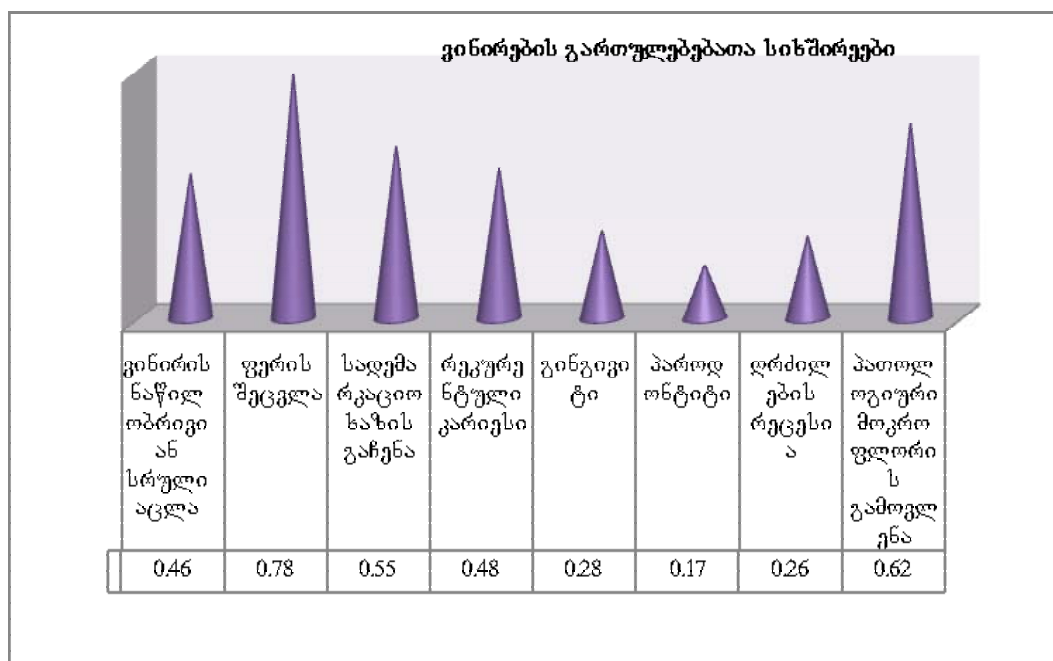
ვინირების ეფექტურობის ასამაღლებლად აუცილებელია გართულების პრედიქტორების განსაზღვრა, რისთვისაც რეტროსპექტულად შევისწავლეთ 65 პაციენტი ძველი ვინირით, ვინირებიდან მინიმუმ 3 წლის შემდეგ.

სტატისტიკურმა ანალიზმა აჩვენა, რომ კლინიკურად დამაკმაყოფილებელი ვინირების რაოდენობა 59%-ს შეადგენს.

ჩვენს მიერ კვლევის პროცესში გამოვლენილ გართულებათა სიხშირეები მოცემულია 14 დიაგრამაზე 14.

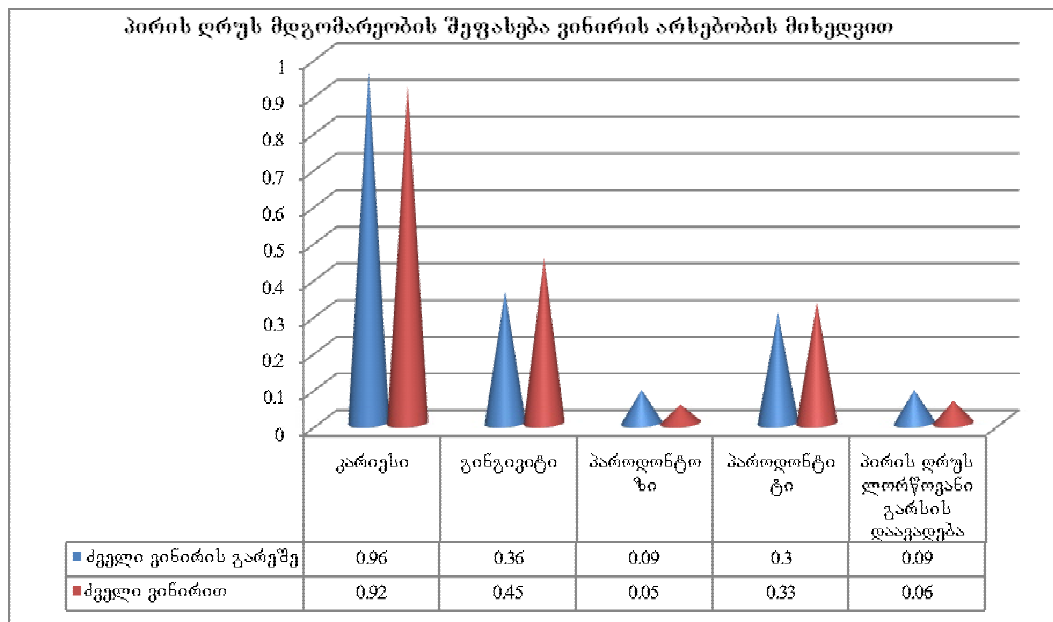
როგორც დიაგრამიდან ჩანს, გართულებათა შორის ყველაზე ხშირად გვხვდება ფერის შეცვლა, ხოლო ყველაზე ნაკლები სიხშირით – პაროდონტის ქსოვილის დაავადებები.

დიაგრამა 14



ძველი ვინირის გავლენის დასადგენად პირის ღრუს მდგომარეობაზე შევადარეთ პაციენტები ვინირებით და ვინირების გარეშე (დიაგრამა 15).

დიაგრამა 15



პირის ღრუს დაავადებების მიხედვით სარწმუნო განსხვავება არ გამოვლინდა იმ პირებს შორის, რომელთაც ჰქონდათ ან არ ჰქონდათ ძველი ვინირი($p>0.05$), რითაც შეიძლება დავასკვნათ, რომ ძველი ვინირის არსებობა გავლენას არ ახდენს პირის ღრუს დაავადებების ჩამოყალიბებაზე.

სტომატოლოგიური ინდექსების შედარებამ გვიჩვენა, რომ პაციენტთა იმ ჯგუფში, რომელთაც ჰქონდათ ძველი ვინირი, აღინიშნებოდა PMA ინდექსის სარწმუნო მომატება (ცხრილი 7), რაც გვიჩვენებს, რომ ძველი ვინირის არსებობა ხელს უწყობს PMA ინდექსის გაუარესებას.

ცხრილი 7

სტომატოლოგიური ინდექსების საშუალო მნიშვნელობათ სტატისტიკური შეფასება

	ძველი ვინირის არსებობა (N=64)		ძველი ვინირის არ არსებობა (N=266)		t	p
	M	StD	M	StD		
ჰიგიენური ინდექსი	2.36	0.855	2.23	0.879	1.10	0.2722
პაროდონტული ინდექსი	1.94	1.557	2.09	1.630	-0.66	0.5110
PMA ინდექსი	1.61	0.660	1.39	0.626	2.40	0.0183

კვლევის შემდეგ ეტაპზე შევისწავლო კორელაციური კავშირი ვინირების გართულებებსა და პაციენტთა ინიციალურ ფაქტორებს შორის (ცხრილი 8).

**გინირების გართულებებისა და პაციუნტთა ინიციალური მახასიათებების
კორელაციური მატრიცა**

		№	ბუნის ნაშილობრივი ან მთლიანი აზექტა		ბუნის ფერის ცვლილება		უმარაცხული ზაზის გაჩენა	რეცილოული გაჭირები	ინგიტი	პაროლნიტი	ლრძილის რეცესია	პაროლური მიგრა- ფლორის გამოყენება
სეზონი	მდედრობითი		r	-0.1869	-0.1682	-0.1095	-0.0353	-0.0964	0.0052	0.0926	-0.0277	
მამრობითი	მდედრობითი	p	0.1360	0.1804	0.3852	0.7798	0.4447	0.9670	0.4630	0.8264		
		r	0.1869	0.1682	0.1095	0.0353	0.0964	-0.0052	-0.0926	0.2772		
	მამრობითი	p	0.1360	0.1804	0.3852	0.7798	0.4447	0.9670	0.4630	0.0254		
		r	0.0198	-0.1773	-0.0277	0.0118	0.1277	0.2259	-0.0067	-0.1923		
ასახვი	<20	p	0.8759	0.1577	0.8264	0.9255	0.3109	0.0704	0.9576	0.1248		
		r	-0.0671	-0.3802	-0.1558	-0.1646	0.0523	-0.0217	-0.3306	-0.1130		
	20-40	p	0.5953	0.0018	0.2153	0.1901	0.6788	0.8640	0.0071	0.3702		
		r	0.0248	0.3877	0.1464	0.1952	-0.1704	-0.0766	0.2185	0.1221		
	41-60	p	0.8444	0.0014	0.2446	0.1191	0.1749	0.5444	0.0803	0.3326		
		r	0.0905	0.1153	0.0499	-0.0632	0.1916	-0.0993	0.2028	0.0232		
	>60	p	0.4733	0.3606	0.6929	0.6168	0.1263	0.4314	0.1052	0.8545		
		r	0.0905	0.1153	0.0499	-0.0632	0.1916	-0.0993	0.2028	0.0232		
პიგინური ჩვეულებები	კბილების გამოხეხვა	r	0.1157	-0.0655	0.1393	0.1194	-0.2020	0.0564	0.0744	0.1581		
		p	0.3586	0.6042	0.2685	0.3436	0.1066	0.6553	0.5559	0.2084		
	სავლების ხმარე- ბის პულტურა	r	-0.0397	0.0747	-0.0478	0.0664	-0.1704	-0.0766	0.1453	0.1221		
		p	0.7534	0.5545	0.7054	0.5992	0.1749	0.5444	0.2482	0.3326		
	ფლოსის გამოყენება	r	-0.2425	-0.0481	0.0818	-0.1166	-0.0344	-0.0674	-0.0963	-0.2823		
		p	0.0516	0.7035	0.5172	0.3549	0.7857	0.5937	0.4455	0.0227		
გაფენ ჩვეულები	სიგარეტის წევა	r	0.0000	0.0306	0.0884	-0.0377	-0.0561	-0.1340	0.0572	0.3227		
		p	1.0000	0.8091	0.4836	0.7654	0.6569	0.2872	0.6510	0.0087		
	ალკოჰოლიზმი	r	0.2254	0.1093	0.1243	-0.0844	-0.0126	0.2397	-0.0767	0.2078		
		p	0.0711	0.3860	0.3238	0.5041	0.9209	0.0544	0.5437	0.0966		

ცხრილი 8 (გაგრძელება)

მავნე ფაქტორების დანერგვის მინიჭებულების	მავნე საწარმოო ფაქტორების მოქმედება	r	0.0756	-0.0067	0.0910	0.1523	0.1501	0.1755	0.0655	-0.2324
	კანცეროგენული ნივთიერებების მოქმედება	p	0.5495	0.9580	0.4710	0.2259	0.2328	0.1621	0.6042	0.0625
	საცხოვრებელი გარემოს მავნე ეკოლოგიური ფაქტორები	r	-0.1157	0.0655	0.1122	0.1309	-0.0774	-0.0564	0.2100	-0.1581
		p	0.3586	0.6042	0.3736	0.2986	0.5402	0.6553	0.0931	0.2084
	კუჭ-ნაწლავის ტრაქტის პათოლოგიები	r	-0.1157	0.0655	0.1122	0.1309	-0.0774	-0.0564	0.2100	-0.1581
		p	0.3586	0.6042	0.3736	0.2986	0.5402	0.6553	0.0931	0.2084
	ენდოკრინული დაავადებები	r	0.2215	0.0563	-0.1701	0.1326	0.0229	-0.1752	-0.0355	0.2546
		p	0.0762	0.6558	0.1755	0.2922	0.8565	0.1627	0.7787	0.0407
	გულ- სისხლძარღვთა დაავადებები	r	0.1650	0.1017	0.1520	-0.0261	-0.0490	-0.0621	0.1668	0.1338
		p	0.1891	0.4202	0.2267	0.8367	0.6983	0.6229	0.1840	0.2879
მექანიკური ტრაგმა	ჰიპოვიტამინოზი	r	0.1228	-0.0315	-0.2290	0.1111	-0.1272	-0.0442	-0.1164	0.1999
		p	0.3296	0.8030	0.0665	0.3784	0.3127	0.7267	0.3558	0.1103
	ფოკალური ინ- ფექციის კერები	r	0.0714	0.2599	-0.1624	0.2756	-0.2281	0.0760	0.2701	0.5416
		p	0.5718	0.0366	0.1963	0.0263	0.0676	0.5475	0.0296	0.0000
	რესპირატორუ- ლი ინფექციები	r	0.0246	0.0378	0.0336	0.1211	-0.0786	0.1396	-0.0688	0.0336
		p	0.8458	0.7650	0.7904	0.3364	0.5338	0.2675	0.5858	0.7904
	მექანიკური ტრაგმა	r	0.0477	0.1570	0.3479	0.1663	-0.0757	-0.0042	-0.1336	0.2096
		p	0.7057	0.2118	0.0045	0.1856	0.5492	0.9733	0.2887	0.0938
	მედიკამენტების მიღება	r	0.1230	-0.0644	0.1736	-0.0923	0.2389	-0.1753	-0.0926	0.1462
		p	0.3291	0.6102	0.1666	0.4646	0.0553	0.1626	0.4630	0.2453
უპირატესად ნახშირწყლოვანი	უპირატესად ნახშირწყლოვანი	r	0.2221	0.1802	0.0876	0.2324	0.1041	0.1568	0.0938	0.0314
		p	0.0754	0.1510	0.4880	0.0625	0.4093	0.2123	0.4573	0.8040
	უპირატესად ცილოვანი	r	0.0230	0.0594	0.0876	0.0336	-0.0068	0.0244	0.0938	-0.1726
		p	0.8559	0.6381	0.4880	0.7903	0.9570	0.8468	0.4573	0.1691
	ცხარე საკვების ხშირი მიღება	r	-0.0095	-0.1097	0.1003	-0.1046	-0.0477	0.0063	0.0594	0.1561
		p	0.9400	0.3843	0.4267	0.4071	0.7057	0.9601	0.6382	0.2142
	ობლიგატური ალერგენები	r	-0.0137	-0.1150	0.0910	-0.1153	0.0505	0.1755	-0.0359	0.0423
		p	0.9135	0.3616	0.4710	0.3606	0.6893	0.1621	0.7767	0.7382
	ტპბილული	r	0.0650	0.0315	-0.0536	-0.0173	0.2318	0.1691	0.0098	-0.0074
		p	0.6068	0.8030	0.6714	0.8911	0.0631	0.1781	0.9380	0.9533
ჯანსაღი კვების რეჟიმი	უპირატესად სწრაფი კვება	r	-0.0095	0.0404	-0.0239	0.1426	0.0902	0.1709	0.0594	0.0927
		p	0.9400	0.7492	0.8502	0.2572	0.4749	0.1734	0.6382	0.4626

ცხრილი 8 (გაგრძელება)

სპეციალური დიეტის დაცვა	r	-0.1117	-0.1182	-0.0417	-0.0010	-0.0599	0.0391	0.1129	-0.1977	
	p	0.3758	0.3484	0.7413	0.9936	0.6353	0.7569	0.3707	0.1145	
ყავის ხშირი მოხმარება	r	-0.0203	0.2819	-0.2230	-0.0649	-0.1606	-0.0391	-0.1877	-0.2081	
	p	0.8725	0.0229	0.0742	0.6078	0.2012	0.7569	0.1343	0.0963	
სინთეზური სითხეების გამოყენება	r	-0.1046	0.0991	0.3823	-0.0750	0.0402	0.2667	0.1477	-0.1218	
	p	0.4071	0.4321	0.0017	0.5529	0.7503	0.0318	0.2403	0.3340	
თანამდებობა	ორთო- გნათიული	r	-0.0522	0.0899	-0.0356	-0.0719	-0.0198	-0.0194	0.0024	-0.3958
		p	0.6797	0.4765	0.7783	0.5693	0.8758	0.8779	0.9851	0.0011
	ლრმა	r	0.0441	0.0388	0.1536	0.0264	0.1252	0.1231	0.1475	0.1581
		p	0.7273	0.7592	0.2217	0.8346	0.3202	0.3286	0.2409	0.2084
	პირდაპირი	r	-0.0137	-0.2234	-0.0882	0.0631	-0.0490	-0.0621	0.2667	0.0423
		p	0.9135	0.0737	0.4846	0.6175	0.6983	0.6229	0.0318	0.7382
	ჯვარედინი	r	0.2543	-0.0067	0.0910	0.1523	-0.1485	0.0567	0.1668	0.2254
		p	0.0409	0.9580	0.4710	0.2259	0.2376	0.6540	0.1840	0.0711
	ლია	r	0.0137	0.0934	-0.1985	0.0082	0.0888	-0.0804	-0.1060	0.1409
		p	0.9135	0.4595	0.1129	0.9481	0.4817	0.5243	0.4005	0.2631
გარიესი	დისტალური	r	-0.2818	-0.0067	-0.1778	-0.2044	-0.1485	-0.0621	-0.0359	-0.0493
		p	0.0230	0.9580	0.1564	0.1024	0.2376	0.6229	0.7767	0.6965
	კომპიუტერული კარიესი	r	-0.2971	-0.3448	-0.2054	-0.0402	-0.0757	-0.0959	-0.1336	-0.2881
		p	0.0163	0.0049	0.1008	0.7503	0.5492	0.4472	0.2887	0.0199
	სუბკომპენსირებული კარიესი	r	-0.0289	0.1379	0.1913	-0.1798	-0.0333	-0.0474	0.2087	0.0247
		p	0.8192	0.2734	0.1269	0.1518	0.7925	0.7077	0.0952	0.8453
	დეკომპენსირებული კარიესი	r	0.3189	0.1871	-0.0052	0.2583	0.1089	0.1436	-0.0934	0.2530
		p	0.0096	0.1356	0.9675	0.0377	0.3880	0.2538	0.4595	0.0420
	გინგივიტი	r	0.1624	0.2444	-0.0661	0.2310	0.7199	0.0902	-0.1116	0.4551
		p	0.1963	0.0498	0.6009	0.0641	0.0000	0.4751	0.3761	0.0001
პაროდონტოზი	r	0.0905	-0.0631	0.0499	-0.0632	-0.1361	-0.0993	0.2028	-0.1275	
		p	0.4733	0.6175	0.6929	0.6168	0.2796	0.4314	0.1052	0.3114
პაროდონტიტი	r	0.0552	-0.1789	0.0533	-0.0971	-0.0021	0.0240	-0.0558	-0.1028	
		p	0.6624	0.1540	0.6731	0.4414	0.9866	0.8494	0.6590	0.4151
პირის ღრუს ლორწოვანი გარსის დაავადება	r	-0.1087	0.1342	-0.1565	0.0118	-0.1585	0.0552	-0.0067	0.2024	
		p	0.3889	0.2866	0.2131	0.9255	0.2074	0.6625	0.9576	0.1058
ჰიგიენური ინდექსი	r	0.1747	0.2149	0.1926	0.1324	0.0633	0.1928	-0.2075	0.4611	
		p	0.1639	0.0857	0.1243	0.2930	0.6161	0.1238	0.0972	0.0001
პაროდონტული ინდექსი	r	0.2167	0.1709	0.0273	0.2106	-0.0321	0.1468	-0.2094	0.4611	
		p	0.0829	0.1735	0.8293	0.0922	0.7994	0.2432	0.0941	0.0001
PMA ინდექსი	r	0.0434	0.1881	0.1176	0.0940	0.0288	0.1387	0.2618	0.3529	
		p	0.7314	0.1335	0.3509	0.4564	0.8199	0.2705	0.0351	0.0039

ბუნის ნაწილობრივ ან პირდაპირ ატექნიკასთან სარწმუნო დადებით კორელაციას ამჟღავნებს შემდეგი ფაქტორები: ენდოკრინული დაავადებები; ჯვარედინი თანკბილვა; დეკომპენსირებული კარიესი; ხოლო უარყოფითს – ფლოსის გამოყენება; დისტალური თანკბილვა; კომპენსირებული კარიესი.

ბუნის ფერის ცვლილებასთან სარწმუნო დადებით კორელაციას ამჟღავნებს შემდეგი ფაქტორები: პაციენტის ასაკი 41-60; ფოკალური ინფექციის პერები; ყავის ხშირი მოხმარება; გინგივიტი; უარყოფითს – პაციენტის ასაკი 20-40; კომპენსირებული კარიესი.

დემარკაციული ხაზის გაჩენასთან სარწმუნო დადებით კორელაციას ამჟღავნებს შემდეგი ფაქტორები: პაციენტის ასაკი 41-60; ფოკალური ინფექციის პერები; გამოყენება; ვინირების საჭიროება.

რეციდიულ კარიესთან სარწმუნო დადებით კორელაციას ამჟღავნებს შემდეგი ფაქტორები: კუჭ-ნაწლავის ტრაქტის პათოლოგიები; ფოკალური ინფექციის პერები; უპირატესად ნახშირწყლოვანი კვება; დეკომპენსირებული კარიესი.

გინგივიტთან სარწმუნო დადებით კორელაციას ამჟღავნებს: გინგივიტი ვინირებამდე.

პაროდონტიტთან სარწმუნო დადებით კორელაციას ამჟღავნებს: სინთეზური სიონეების გამოყენება.

ლრძილის რეცესიასთან სარწმუნო დადებით კორელაციას ამჟღავნებს შემდეგი ფაქტორები: ფოკალური ინფექციის პერები; PMA ინდექსი; პირდაპირი თანკბილვა; უარყოფითს – 20-40 წლის ასაკი.

პათოლოგიური მიკროფლორის გამოვლენასთან სარწმუნო დადებით კორელაციას ამჟღავნებს შემდეგი ფაქტორები: მამრობითი სქესი; სიგარეტის წევა; – კუჭ-ნაწლავის ტრაქტის პათოლოგიები; ენდოკრინული დაავადებები; ფოკალური ინფექციის პერები; დეკომპენსირებული კარიესი; გინგივიტი; ჰიგიენური ინდექსი; პაროდონტული ინდექსი; PMA ინდექსი; უარყოფითს – ფლოსის გამოყენება; ორთოგნათიული თანკბილვა.

ცხრილში 9 ნაჩვენებია მიზეზ-შედეგობრივი კავშირები გართულებებს შორის

კორელაციური კავშირი გართულებებს შორის

		ბუნის ნაწილობრივი ან პირდაპირი ატკებება		ბუნის ფირის ცვლილება		დემარკაციული ხაზის გაჩენა		რეციდიული კარისი		გინგივიტი		პაროდონტიტი		ლრძილის რეცესია		პათოლოგიური მიგრა- ცლორის გამოვლენა	
ბუნის ფერის ცვლილება	r	0.1097															
	p	0.3843															
დემარკაციული ხაზის გაჩენა	r	0.0860	0.4332														
	p	0.4960	0.0003														
რეციდიული კარიესი	r	0.2281	0.4254	0.2993													
	p	0.0676	0.0004	0.0154													
გინგივიტი	r	0.1857	-0.0103	0.2096	0.0974												
	p	0.1386	0.9351	0.0938	0.4401												
პაროდონტიტი	r	0.0760	0.0369	0.1575	0.1441	0.0875											
	p	0.5475	0.7707	0.2103	0.2522	0.4884											
ლრძილის რეცესია	r	0.0810	0.3118	0.3229	0.0625	0.0229	0.0115										
	p	0.5211	0.0115	0.0087	0.6207	0.8565	0.9276										
პათოლოგიური მიკროფლორის გამოვლენა	r	0.2879	0.2781	0.1174	0.1851	-0.0054	-0.0649	-0.0332									
	p	0.0200	0.0249	0.3515	0.1400	0.9657	0.6076	0.7928									
ვინირების საჭიროება	r	0.2221	0.5423	0.2872	0.2324	-0.0068	-0.1079	0.2067	0.4394								
	p	0.0754	0.0000	0.0203	0.0625	0.9570	0.3921	0.0985	0.0002								

ბუნის ნაწილობრივ ან პირდაპირი ატკებებასთან სარწმუნო დადებით კორელაციას ამჟღავნებს პათოლოგიური მიკროფლორის გამოვლენა.

ბუნის ფერის ცვლილებასთან სარწმუნო დადებით კორელაციას ამჟღავნებს შემდეგი ფაქტორები: გინგივიტი; დემარკაციული ხაზის გაჩენა; რეციდიული კარიესი; ლრძილის რეცესია; პათოლოგიური მიკროფლორის გამოვლენა; ვინირების საჭიროება.

დემარკაციული ხაზის გაჩენასთან სარწმუნო დადებით კორელაციას ამჟღავნებს შემდეგი ფაქტორები: რეციდიული კარიესი; ლრძილის რეცესია.

რეციდიულ კარიესთან სარწმუნო დადებით კორელაციას ამჟღავნებს შემდეგი ფაქტორები: ბუნის ფერის ცვლილება; დემარკაციული ხაზის გაჩენა.

ღრმილის რეცესიასთან სარწმუნო დადებით კორელაციას ამჟღავნებს შემდეგი ფაქტორები: ბეჭის ფერის ცვლილება; დემარკაციული ხაზის გაჩენა; უარყოფითს – 20-40%ლის ასაკი.

პათოლოგიური მიკროფლორის გამოვლენასთან სარწმუნო დადებით კორელაციას ამჟღავნებს შემდეგი ფაქტორები: ბეჭის ნაწილობრივი ან პირდაპირი ატკენვა; ბეჭის ფერის ცვლილება.

კორელაციურმა ანალიზმა გამოავლინა გართულებების მიზეზ-შედეგობრივი კავშირი როგორც პაციენტთა ენდოგენურ და ეგზოგენურ ფაქტორებს შორის, ისე თავად გართულებებს შორის.

ამრიგად, ყველაზე მაღალი კორელაცია გართულებებთან გააჩნია დეკომპენსირებულ კარიესს და პაროდონტის ქსოვილების დაავადებებს. პათოლოგიური მიკროფლორის გამოვლენა კორელირებს სტომატოლოგიურ ინდექსებთან და სომატურ დაავადებებთან. ფერის შეცვლა დამოკიდებულია პაციენტის ასაკზე და ყავის ხშირ გამოყენებაზე, ვინირის აცლა – თანკბილვის ტიპზე.

3.4. გინირების გართულების პროგნოზირება

გინირების გართულების პროგნოზირებისათვის გამოვიყენეთ რეგრესიული ანალიზი. დამოკიდებულ ფაქტორად ავიღეთ ფაქტორი “გართულება”, რომელიც მოიცავს გინირების ყველა ჩვენს მიერ შესწავლილ გართულებას, ესენია: ბჟენის ნაწილობრივი ან პირდაპირი ატკეჩვა, ბჟენის ფერის ცვლილება, დემარკაციული ხაზის გაჩენა, რეციდიული კარიესი, გინგივიტის, პაროდონტიტი, დრძილის რეცესია, პათოლოგიური მიკროფლორის გამოვლენა. კვლევის შემდეგ ექაპზე შევისწავლთ კორელაციური კავშირი გართულებასა და პაციენტის საწყის მახასიათებლებს შორის მოცემულია (ცხრილი 10)

ცხრილი 10

**კორელაციური კავშირი გართულებასა და
პაციენტის საწყის მახასიათებლებს შორის**

ასაკი – 20-40	r	-0.25112
	p	0.043612
ფოკალური ინფექციის კერები	r	0.26726
	p	0.03138
უპირატესად ნახშირწყლოვანი კვება	r	0.27220
	p	0.02826
სპეციალური დიეტის დაცვა	r	-0.2944
	p	0.01729
დეკომპენსირებული კარიესი	r	0.306858
	p	0.012909
გინგივიტი	r	0.25909
	p	0.03715

ცხრილი 11

გართულების პროგნოზირება

	რეგრესიის გოეფიციენტები	სტანდარტული ცდომილება	t	p
(Constant)	0.646	0.0132	4.892	.000
20-40 წლის ასაკი (X1)	-0.136	0.059	-2.317	.024
უპირატესად ნახშირწყლოვანი კვება (X2)	0.200	0.094	2.135	.037
სპეციალური დიეტის დაცვა (X3)	-0.165	0.062	-2.666	.010
დეკომპენსირებული კარიესი (X4)	0.253	0.100	2.529	.014

ჩვენ შევადგინეთ წრფივი რეგრესიის განტოლება, რომელიც იძლევა პროგნოზირების საშუალებას.

$$Y=0,646-0,136X_1+0,2X_2-0,165X_3+0,253X_4 \quad (1)$$

ვინირების გართულებებს განაპირობებს უპირატესად ნახშირწყლოვანი კვება და კარიესი.

რეგრესიული ანალიზის გამოყენებით შესაძლებელია ვინირების გართულების პროგნოზირება

$$P = \frac{1}{1 + e^{-Y}} \quad (2)$$

X – ფაქტორის მნიშვნელობაა, რომელიც ტოლია 1-ის ან 0-ის, P – გართულების განვითარების ალბათობა. რისკის განსაზღვრა ხდება შემდეგნაირად: თუ პაციენტს აქვს რომელიმე ფაქტორი, რეგრესიის განტოლებაში ჩაისმება 1, თუ არ აქვს – 0, მიღებულ შედეგებს ვკრიბავთ და ვსვამთ (2) ფორმულაში.

მაგალითი 1. პაციენტი 6.კ. რომელსაც ჩაუტარდა ვინირება, 22 წლის, აღნიშნავს უპირატესად ნახშირწყლოვან კვებას, რეგრესიის განტოლება იქნება

$$Y=0,646-0,136+0,2=0,71$$

$$P = \frac{1}{1 + e^{-0.71}}$$

$$P=0,67$$

ე.ო. ამ კონკრეტულ შემთხვევაში ვინირების გართულების ალბათობაა 67%.

მაგალითი 2. პაციენტი მ.მ. რომელსაც ჩაუტარდა ვინირება, 45 წლის, აქვს დეკომპენსირებული კარიესი, რეგრესიის განტოლება იქნება

$$Y=0,646+0,253=0,899$$

$$P=0,67$$

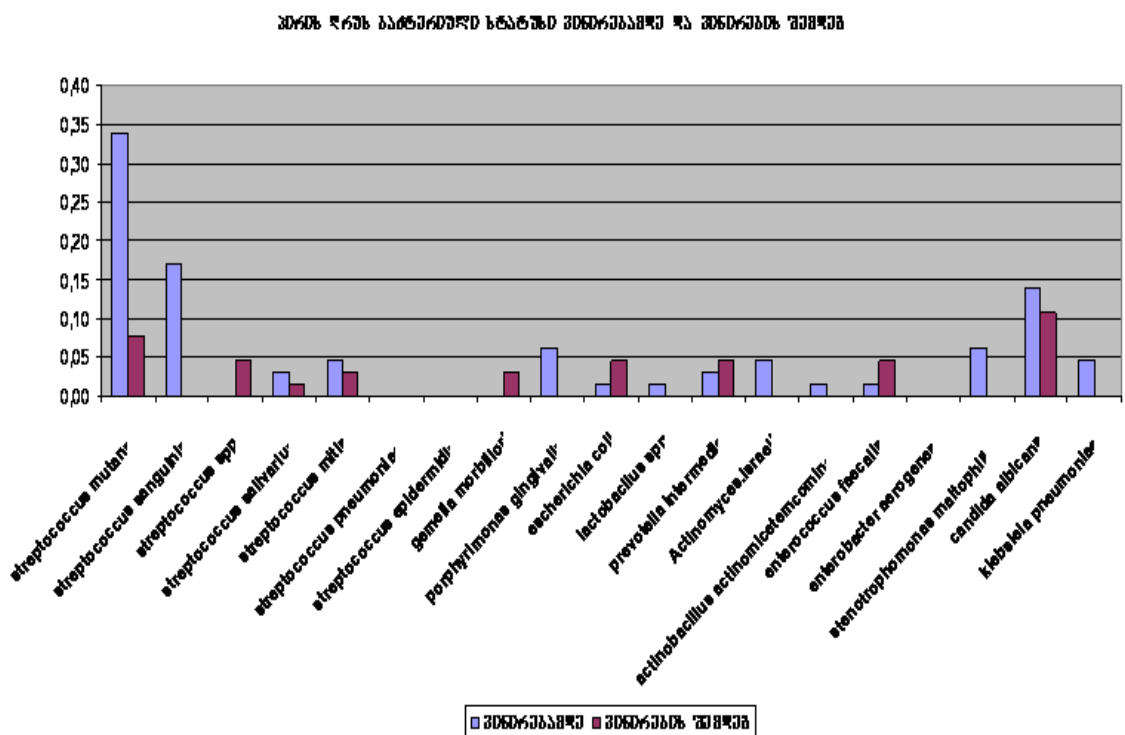
გართულების ალბათობაა 71%

3.5. პირის დრუს ლორწოვანი გარსის მიკრობიოლოგიური სტატუსის შეფახება ვინირებამდე და ვინირების შემდეგ

პირის დრუს ლორწოვანი გარსის მიკრობიოლოგიური სტატუსის შესწავლამ ვინირებამდე და ვინირების შემდეგ გვიჩვენა, რომ იმ პაციენტთა შორის, რომელთაც ესაჭიროებოდათ ვინირება, ვინირებამდე მიკრობი ამოეთესა $49 (0,75 \pm 0,447)$ პაციენტს, მათგან ასოციაციები დაფიქსირდა 15 შემთხვევაში, სახელდობრ – *Candida albicans* + *Streptococcus mutans* – 3 შემთხვევა, *Streptococcus mutans* + *Stenotrophomonas maltophilia* – 3, *Streptococcus sanguinis* + *Streptococcus mutans* – 4, *Streptococcus mutans* + *Stenotrophomonas maltophilia* – 1, *Stenotrophomonas maltophilia* + *Porphyromonas gingivalis* – 1, *Streptococcus sanguinis* + *Prevotella intermedia* – 1, *Streptococcus mutans* + *Porphyromonas gingivalis* – 1, *Streptococcus salivarius* + *Streptococcus mutans* – 1 შემთხვევა.

პირის დრუს ბაქტერიული სტატუსი ვინირებამდე და ვინირების შემდეგ მოცემულია დიაგრამაზე 16. როგორც ვხედავთ მიკრობული კონტამინაცია ვინირების შემდეგ შემცირებულია.

დიაგრამა 16



პაციენტთა მახასიათებლების განაწილების სიხშირე ბაქტერიული კონტამინაციის მიხედვით მოცემულია ცხრილში 12. პირის დრუს ბაქტერიული

კონტამინაცია დამოკიდებულია პაციენტის ცხოვრების წესზე, პაციენტთა იმ ჯგუფში, რომელთაც ამოეთესათ მიკრობი, სარწმუნოდ მაღალია უპირატესად ნახშირწყლოვანი კვების ტიპი, ტკბილეულის ჭარბი მიღება და პირდაპირი თანკბილვა.

ცხრილი 12

**პირის დრუს მახასიათებლების სტატისტიკური შეფასება
მიკრობთა კოლონიზაციის მიხედვით**

ფაქტორთა დასახელება	პაციენტები მიკრობული კონტამინაციით n=49		პაციენტები მიკრო- ბული კონტამი- ნაციის გარეშე n=16		F	P
	Mean	Std.Dev.	Mean	Std. Dev.		
მდედრობითი	0,55	0,512	0,56	0,487	0,24	0,6230
მამრობითი	0,45	0,512	0,44	0,466	0,91	0,3426
<20	0,06	0,250	0,19	0,373	1,01	0,3185
20-40	0,65	0,479	0,50	0,505	1,89	0,1736
41-60	0,29	0,479	0,25	0,434	0,28	0,6000
>60	0,00	0,000	0,06	0,200	0,66	0,4197
კბილების გამოხეხვა	1,00	0,000	0,88	0,331	2,16	0,1463
სავლების ხმარების კულტურა	0,50	0,516	0,37	0,487	0,87	0,3548
ფლოსის გამოყენება	0,31	0,479	0,20	0,407	0,78	0,3794
სიგარების წევა	0,69	0,479	0,63	0,487	0,15	0,6959
ალკოჰოლიზმი	0,19	0,403	0,18	0,391	0,00	0,9732
ნარკომანია	0,00	0,000	0,02	0,143	0,32	0,5718
მავნე საწარმოო ფაქტორების მოქმედება	0,00	0,000	0,02	0,143	0,32	0,5718
კანცეროგენული ნივ- თიერებების მოქმედება	0,00	0,000	0,00	0,000		
საცხოვრებელი გარე- მოს მავნე ეპოლო- გიური ფაქტორები	0,00	0,000	0,06	0,242	1,01	0,3184
კუჭ-ნაწლავის ტრაქტის პათოლოგიები	0,50	0,516	0,57	0,500	0,24	0,6243
ენდოკრინული დაავადებები	0,19	0,403	0,27	0,446	0,38	0,5379
გულ-სისხლძარღვთა დაავადებები	0,13	0,342	0,12	0,331	0,00	0,9789
ჰიპოვიტამინოზი	0,06	0,250	0,18	0,391	1,35	0,2502
ფოკალური ინფექციის კერები	0,44	0,512	0,45	0,503	0,01	0,9373

ცხრილი 12 (გაგრძელება)

რესპირატორული ინფექციები	0,06	0,250	0,08	0,277	0,06	0,8068
ლორწოვანი გარსის ტრაგები:	ქიმიური	0,00	0,000	0,00	0,000	
ფიზიკური	0,00	0,000	0,00	0,000		
გექანიკური	0,06	0,250	0,24	0,434	2,53	0,1168
მედიკამენტების მიღება	0,19	0,403	0,22	0,422	0,09	0,7592
კვების ტიპი:						
უპირატესად ცილოვანი	0,31	0,479	0,59	0,497	3,88	0,0532
უპირატესად ცილოვანი	0,38	0,500	0,55	0,503	1,48	0,2278
ცხარე საკვების ხშირი მიღება	0,38	0,500	0,31	0,466	0,25	0,6156
ობლიგატური ალერგენები	0,19	0,403	0,04	0,200	3,75	0,0572
ტკბილეული	0,25	0,447	0,55	0,503	4,55	0,0368
უპირატესად სწრაფი კვება	0,50	0,516	0,37	0,487	0,87	0,3548
ჯანსაღი კვების რეჟიმი	0,50	0,516	0,29	0,456	2,49	0,1194
სპეციალური დიეტის დაცვა	0,31	0,479	0,29	0,456	0,04	0,8410
-ყავის ხშირი მოხმარება	0,50	0,516	0,49	0,505	0,00	0,9446
სინთეზური სითხეების გამოყენება	0,38	0,500	0,33	0,474	0,12	0,7271
თანკებილება:						
ორთოგნათიული	0,13	0,342	0,18	0,391	0,29	0,5937
ლრმა	0,13	0,342	0,29	0,456	1,67	0,2009
პირდაპირი	0,38	0,500	0,14	0,354	4,20	0,0446
ჯვარედინი	0,06	0,250	0,16	0,373	1,01	0,3185
ლია	0,00	0,000	0,04	0,200	0,66	0,4197
მეზიალური	0,13	0,342	0,02	0,143	3,05	0,0858
დისტალური	0,19	0,403	0,10	0,306	0,80	0,3742
კარიები:						
კომპენსირებული	0,13	0,342	0,22	0,422	0,73	0,3956
სუბკომპენსირებული	0,56	0,512	0,41	0,497	1,15	0,2882
დეკომპენსირებული	0,06	0,250	0,31	0,466	3,98	0,0505
გინგივიტი	0,44	0,512	0,59	0,497	1,15	0,2882
პაროდონტიტი	0,13	0,342	0,20	0,407	0,49	0,4867
პირის დრუს ლორწო- ვანი გარსის დააგადება	0,00	0,000	0,10	0,306	1,76	0,1891

ცხრილი 12 (გაგრძელება)

ვინირის შემდგომი გართულება: ბჟენის ნაწილობრივი ან პირდაპირი ატკებება	0,44	0,512	0,22	0,422	2,77	0,1013
ბჟენის ფერის ცვლილება	0,25	0,447	0,55	0,503	4,55	0,0368
დემარკაციული ხაზის გაჩენა	0,50	0,516	0,47	0,504	0,04	0,8346
რეციდიული კარიესი	0,00	0,000	0,45	0,503	12,64	0,0007
გინგივიტი	0,25	0,447	0,20	0,407	0,15	0,7035
პაროდონტიტი	0,00	0,000	0,12	0,331	2,16	0,1463
ლრძილის რეცესია	0,44	0,512	0,22	0,422	2,77	0,1013

ბაქტერიული კონტამინაციის ჯგუფში სარწმუნოდ მაღალია დეკომპენსირებული კარიესი, ბჟენის ფერის ცვლილება, სარწმუნოდ უფრო ხშირად ვითარდება რეციდიული კარიესი.

კვლევის შემდეგ ეტაპზე შევისწავლეთ ბაქტერიული კონტამინაცია ვინირებამდე და ვინირებიდან 21 დღის შემდეგ (ცხრილი 13).

ცხრილი 13

ბაქტერიული კონტამინაცია ვინირებამდე და ვინირებიდან 21 დღის შემდეგ

ფაქტორთა დასახელება	ვინირებამდე			ვინირების შემდეგ			Z	p
	n	M	Std	N	M	Std		
ბაქტერიული კონტამინაცია	49	0,75	0,434	25	0,38	0,490	-3,46	0,0005
Streptococcus mutans	22	0,34	0,477	5	0,08	0,269	-3,71	0,0002
Streptococcus sanguinis	11	0,17	0,378	0	0,00	0,000	-3,32	0,0009
Streptococcus spp	0	0,00	0,000	3	0,05	0,211	-1,73	0,0833
Streptococcus salivarius	2	0,03	0,174	1	0,02	0,124	-0,58	0,5637
Streptococcus mitis	3	0,05	0,211	2	0,03	0,174	-0,45	0,6547
Gemella morbillorum	0	0,00	0,000	2	0,03	0,174	-1,41	0,1573
Porphyromonas gingivalis	4	0,06	0,242	0	0,00	0,000	-2,00	0,0455
Escherichia coli	1	0,02	0,124	3	0,05	0,211	-1,00	0,3173
Lactobacillus spp	1	0,02	0,124	0	0,00	0,000	-1,00	0,3173
Prevotella intermedia	2	0,03	0,174	3	0,05	0,211	-0,45	0,6547
Actinomyces israeli	3	0,05	0,211	0	0,00	0,000	-1,73	0,0833
Actinobacillus actinomycetemcomitans	1	0,02	0,124	0	0,00	0,000	-1,00	0,3173
Enterococcus faecalis	1	0,02	0,124	3	0,05	0,211	-1,00	0,3173
Stenotrophomonas maltophilia	4	0,06	0,242	0	0,00	0,000	-2,00	0,0455
Candida albicans	9	0,14	0,348	7	0,11	0,312	-0,50	0,6171
Klebsiella pneumoniae	3	0,05	0,211	0	0,00	0,000	-1,73	0,0833

ვინირების შემდეგ სარწმუნოდ შემცირდა როგორც ზოგადად ბაქტერიული კონტამინაციის, ისე – *Streptococcus mutans*-ის, *Streptococcus sanguinis*-ის, *Stenotrophomonas maltophilia*-ს და *Porphyromonas gingivalis* -ის სიხშირე.

კვლევის შემდეგ ეტაპზე შევისწავლეთ ბაქტერიული კონტამინაცია იმ პაციენტთა შორის, ვისაც პქონდა ძველი ვინირი და შევადარეთ პაციენტებს ძველი ვინირის გარეშე (ცხრილი 14).

ცხრილი 14

ბაქტერიული კონტამინაციის სტატისტიკური შეფასება ძველი ვინირის არსებობისას

ფაქტორთა დასახელება	პაციენტები ძველი ვინირის გარეშე (n=37)		პაციენტები ძველი ვინირით (n=28)		F	P
	Mean	Std.Dev.	Mean	Std.Dev.		
ბაქტერიული კონტამინაცია ვინირებამდე	0,65	0,485	0,93	0,262	7,59	0,0078
<i>Streptococcus mutans</i>	0,26	0,448	0,43	0,504	1,84	0,1805
<i>Streptococcus sanguinis</i>	0,15	0,359	0,21	0,418	0,46	0,4985
<i>Streptococcus spp</i>	0,00	0,000	0,00	0,000		
<i>Streptococcus salivarius</i>	0,00	0,000	0,07	0,262	2,53	0,1169
<i>Streptococcus mitis</i>	0,00	0,000	0,11	0,315	3,95	0,0515
<i>Streptococcus pneumonia</i>	0,00	0,000	0,00	0,000	-	-
<i>Streptococcus epidermidis</i>	0,00	0,000	0,00	0,000	-	-
<i>Gemella morbillorum</i>	0,00	0,000	0,00	0,000	-	-
<i>Porphyromonas gingivalis</i>	0,00	0,000	0,14	0,356	5,48	0,0225
<i>Escherichia coli</i>	0,03	0,171	0,00	0,000	0,82	0,3685
<i>Lactobacillus spp</i>	0,03	0,171	0,00	0,000	0,82	0,3685
<i>Prevotella intermedia</i>	0,00	0,000	0,07	0,262	2,53	0,1169
<i>Actinomyces.israeli</i>	0,09	0,288	0,00	0,000	2,62	0,1106
<i>Actinobacillus actinomycetemcombinans</i>	0,00	0,000	0,04	0,189	1,22	0,2740
<i>Enterococcus faecalis</i>	0,03	0,171	0,00	0,000	0,82	0,3685
<i>Enterobacter aerogenes</i>	0,00	0,000	0,00	0,000	-	-
<i>Stenotrophomonas maltophilia</i>	0,00	0,000	0,14	0,356	5,48	0,0225
<i>Candida albicans</i>	0,26	0,448	0,00	0,000	9,75	0,0028
<i>Klebsiela pneumonia</i>	0,00	0,000	0,11	0,315	3,95	0,0515

იმ პაციენტებს შორის, ვისაც პქონდა პირველადი ვინირი, სარწმუნოდ მომატებული იყო *Streptococcus mutans*, *Streptococcus mitis*, *Porphyromonas gingivalis*, *Stenotrophomonas maltophilia*, *Klebsiela pneumoniae* ბაქტერიული კონტამინაციის

სიხშირე. *Candida albicans*-ით კონტამინაცია პირველადი გინირის მქონე პაციენტებში არ დაფიქსირდა.

კორელაციური ანალიზის გამოყენებით განვსაზღვრეთ მიკრობთა კონტამინაციის დამოკიდებულება ორგანიზმის სოციალურ-ბიოლოგიურ, მავნე ჩვევებს, კვების ტიპსა და ხასიათზე, პირის ღრუს საწყის მახასიათებლებზე, სტომატოლოგიურ ინდექსებზე, ფონურ დაავადებებსა და ფოკალური ინფექციის კერებზე (ცხრილი 15).

ცხრილი 15.1

**კორელაციები ბაქტერიულ კონტამინაციასა და პაციენტის
ინიციალურ ფაქტორებს შორის**

		ბაქტერიული კონტამინაცია გინირების შემდეგ		Streptococcus mutans		Streptococcus sanguinis		Streptococcus salivarius		Streptococcus mitis	
ბაქტერიული კონტამინაცია გინირების შემდეგ	r	1,0000	-0,4292	-0,2982	-0,1038	-0,1409	-0,1739				
	p	.	0,0004	0,0158	0,4106	0,2631	0,1659				
მდედრობითი	r	-0,0250	0,0621	-0,1028	0,2725	-0,0423	0,1739				
	p	0,8433	0,6230	0,4151	0,0281	0,7382	0,1659				
მამრობითი	r	0,1028	-0,1196	-0,0307	-0,2361	0,0608	-0,1573				
	p	0,4151	0,3426	0,8085	0,0583	0,6303	0,2107				
<i>ასაკი</i>	r	-0,0423	0,1257	0,1839	-0,1809	-0,0714	-0,0882				
	p	0,7382	0,3185	0,1425	0,1492	0,5718	0,4848				
20-40	r	-0,2546	-0,1708	-0,1204	0,2532	-0,1925	0,0566				
	p	0,0407	0,1736	0,3394	0,0418	0,1246	0,6544				
41-60	r	0,3513	-0,0663	-0,2037	-0,0819	0,2994	0,0359				
	p	0,0041	0,6000	0,1036	0,5168	0,0154	0,7763				
>60	r	-0,1409	0,1018	0,0608	-0,0804	-0,0318	-0,0392				
	p	0,2631	0,4197	0,6303	0,5243	0,8018	0,7566				
ძილების გამოხევა	r	-0,0756	-0,1822	-0,1089	0,1439	0,0568	0,0701				
	p	0,5493	0,1463	0,3880	0,2527	0,6530	0,5787				
სავლების ხმარება	r	0,0000	-0,1166	-0,0531	0,2178	0,0364	-0,0299				
	p	1,0000	0,3548	0,6745	0,0814	0,7736	0,8129				

ცხრილი 15.1 (გაგრძელება)

ფლოსის გამოყენება	r	0,0924	-0,1109	0,0712	0,3371	-0,0976	0,0535
	p	0,4642	0,3794	0,5728	0,0060	0,4393	0,6718
სიგარეტის წევა	r	0,2544	-0,0494	-0,3546	-0,0092	0,1319	0,0094
	p	0,0409	0,6959	0,0038	0,9418	0,2951	0,9405
ალკოჰოლიზმი	r	-0,0502	-0,0043	-0,0890	-0,2148	0,1448	-0,1047
	p	0,6915	0,9732	0,4810	0,0858	0,2497	0,4067
ნარკომანია	r	-0,0988	0,0714	0,1748	-0,0564	-0,0223	-0,0275
	p	0,4335	0,5718	0,1638	0,6553	0,8602	0,8279
მავნე საწარმოო ფაქტორების მოქმედება	r	-0,0988	0,0714	-0,0894	0,2770	-0,0223	-0,0275
	p	0,4335	0,5718	0,4788	0,0255	0,8602	0,8279
საცხოვრებელი გა- რემოს მავნე გამო- ლობიური ფაქტო- რები	r	-0,1739	0,1257	-0,1573	-0,0993	-0,0392	-0,0484
	p	0,1659	0,3184	0,2107	0,4314	0,7566	0,7019
პუჭ-ნაწლავის ტრაქტის პათოლოგიები	r	-0,0538	0,0619	0,2495	0,2400	0,1599	0,0499
	p	0,6702	0,6243	0,0450	0,0541	0,2032	0,6929
ენდოკრინული დაავადებები	r	-0,0847	0,0778	-0,1823	0,2183	0,3118	0,0445
	p	0,5023	0,5379	0,1461	0,0806	0,0115	0,7247
გულ-სისხლძარღვ- თა დაავადებები	r	-0,1037	-0,0033	-0,0700	-0,1691	-0,0668	-0,0824
	p	0,4112	0,9789	0,5793	0,1781	0,5973	0,5140
ჰიპოვიტამინოზი	r	0,0135	0,1447	0,2357	0,0350	0,1709	0,1094
	p	0,9151	0,2502	0,0588	0,7820	0,1734	0,3855
ფოკალური ინფექციის კერები	r	0,3083	0,0099	0,0121	0,0902	0,1985	0,2451
	p	0,0125	0,9373	0,9239	0,4751	0,1129	0,0491
რესპირატორული ინფექციები	r	-0,1095	0,0309	0,0375	0,1777	0,2829	-0,0635
	p	0,3850	0,8068	0,7665	0,1568	0,0224	0,6153
მექანიკური ტრავმა	r	-0,2372	0,1964	0,1301	0,1846	0,1336	0,0733
	p	0,0571	0,1168	0,3018	0,1409	0,2886	0,5616
მედიკამენტების მიღება	r	-0,1065	0,0388	-0,1375	0,1628	0,1234	0,0631
	p	0,3984	0,7592	0,2747	0,1952	0,3276	0,6175
კვები უპირატესად ნახშირწყლოვანი	r	-0,1948	0,2409	-0,0981	0,1024	0,1701	0,2100
	p	0,1199	0,0532	0,4367	0,4171	0,1754	0,0931
უპირატესად ცილოვანი	r	-0,0438	0,1517	0,1191	0,1162	0,1755	0,2166
	p	0,7291	0,2278	0,3448	0,3568	0,1621	0,0831
ცხარე საკვების ხშირი მიღება	r	-0,0052	-0,0635	-0,0770	0,1269	-0,1231	0,0048
	p	0,9672	0,6156	0,5420	0,3138	0,3286	0,9696
ობლიგატური ალერგენები	r	0,1278	-0,2371	-0,0845	0,0237	-0,0514	-0,0635
	p	0,3103	0,0572	0,5035	0,8514	0,6841	0,6153

ცხრილი 15.1 (გაგრძელება)

კვება ტემპოლუმი	r	0,0682	0,2596	0,0330	0,0619	0,1866	0,2304
	p	0,5894	0,0368	0,7938	0,6241	0,1367	0,0649
უპირატესად სწრაფი კვება	r	-0,0646	-0,1166	0,0133	-0,0335	0,2182	-0,0299
	p	0,6095	0,3548	0,9164	0,7911	0,0808	0,8129
ჯანსაღი კვების რეჟიმი	r	-0,1645	-0,1951	-0,0307	0,1974	-0,1274	-0,0024
	p	0,1904	0,1194	0,8085	0,1149	0,3117	0,9850
სპეციალური დიეტის დაცვა	r	0,1177	-0,0254	-0,1023	0,0708	0,0814	0,1811
	p	0,3506	0,8410	0,4175	0,5753	0,5194	0,1489
ყავის ხშირი მოხმარება	r	-0,0827	-0,0088	0,0110	0,1301	0,1809	0,0767
	p	0,5124	0,9446	0,9307	0,3018	0,1492	0,5436
სინთეზური სით- ხების გამოყენება	r	-0,1645	-0,0441	0,0381	0,0240	-0,1274	0,1526
	p	0,1904	0,7271	0,7634	0,8494	0,3117	0,2250
თანკებილგა ორთოგნათიული	r	0,0649	0,0674	-0,2361	-0,0943	-0,0804	0,0963
	p	0,6077	0,5937	0,0583	0,4551	0,5243	0,4455
დრმა	r	-0,1581	0,1607	0,2706	0,2183	-0,1018	0,0445
	p	0,2084	0,2009	0,0293	0,0806	0,4197	0,7247
პირდაპირი	r	0,0791	-0,2500	-0,0325	-0,0205	0,1336	-0,1100
	p	0,5313	0,0446	0,7971	0,8711	0,2886	0,3831
ჯვარედინი	r	0,0493	0,1257	-0,0043	0,0567	-0,0714	-0,0882
	p	0,6965	0,3185	0,9726	0,6540	0,5718	0,4848
ლია	r	0,0423	0,1018	-0,1274	0,1572	-0,0318	-0,0392
	p	0,7382	0,4197	0,3117	0,2112	0,8018	0,7566
მეზიალური	r	0,1275	-0,2147	-0,0024	-0,0993	-0,0392	-0,0484
	p	0,3114	0,0858	0,9850	0,4314	0,7566	0,7019
დისტალური	r	-0,0074	-0,1121	-0,2680	-0,1691	-0,0668	0,1408
	p	0,9533	0,3742	0,0309	0,1781	0,5973	0,2633
	p	0,1058	0,2448	0,0034	0,3593	0,0082	0,6558
კომპენსირებული კარიესი	r	0,0000	0,1071	-0,1951	0,0821	-0,0891	-0,1100
	p	1,0000	0,3956	0,1194	0,5158	0,4804	0,3831
სუბკომპენსირე- ბული კარიესი	r	-0,0734	-0,1337	-0,0533	-0,0749	-0,1599	0,2451
	p	0,5612	0,2882	0,6731	0,5531	0,2032	0,0491
დეკომპენსირე- ბული კარიესი	r	-0,0113	0,2436	0,1951	0,1231	0,3118	-0,1257
	p	0,9289	0,0505	0,1194	0,3286	0,0115	0,3184
გინგივიტი	r	0,1370	0,1337	0,3150	0,2400	-0,0193	0,1974
	p	0,2764	0,2882	0,0106	0,0541	0,8787	0,1149
პაროდონტოზი	r	0,2782	-0,3850	-0,1573	-0,0993	-0,0392	-0,0484
	p	0,0248	0,0015	0,2107	0,4314	0,7566	0,7019

ცხრილი 15.1 (გაგრძელება)

პაროდონტიტი	r	-0,0502	0,0878	-0,2566	0,1025	-0,0848	-0,1047
	p	0,6915	0,4867	0,0391	0,4165	0,5019	0,4067
პირის ღრუს ლორწოვანი გარსის დაავადება	r	-0,1095	0,1650	-0,2065	0,0237	-0,0514	-0,0635
	p	0,3850	0,1891	0,0989	0,8514	0,6841	0,6153
ჰიგიენური ინდექსი	r	0,0378	0,0179	0,0498	-0,0506	0,0952	0,3202
	p	0,7652	0,8875	0,6938	0,6888	0,4504	0,0093
პაროდონტული ინდექსი	r	0,0182	0,1670	0,1163	0,2231	0,1428	0,1862
	p	0,8853	0,1835	0,3560	0,0740	0,2564	0,1375
PMA ინდექსი	r	0,0677	-0,1098	-0,0090	0,2294	-0,0022	0,1773
	p	0,5920	0,3841	0,9432	0,0660	0,9858	0,1577
ბჟენის ნაწილობ- რივი ან პირდა- პირი ატკენვა	r	-0,0652	-0,2051	-0,0067	0,0875	0,0888	-0,1361
	p	0,6057	0,1013	0,9577	0,4884	0,4817	0,2796
ბჟენის ფერის ცვლილება	r	-0,1218	0,2596	0,4887	-0,1024	0,1866	0,2304
	p	0,3340	0,0368	0,0000	0,4171	0,1367	0,0649
დემარკაციული ხაზის გაჩენა	r	-0,2484	-0,0264	0,4887	-0,1024	0,0082	0,2304
	p	0,0460	0,8346	0,0000	0,4171	0,9481	0,0649
რეციდივული პარიექსი	r	-0,3650	0,4087	0,7252	0,2841	0,2491	-0,0024
	p	0,0028	0,0007	0,0000	0,0218	0,0454	0,9850
გინგივიტი	r	0,2012	-0,0481	0,1789	-0,1367	-0,0934	-0,1153
	p	0,1080	0,7035	0,1540	0,2777	0,4595	0,3606
პაროდონტიტი	r	-0,2521	0,1822	0,4458	-0,1439	-0,0568	0,1832
	p	0,0428	0,1463	0,0002	0,2527	0,6530	0,1442
ლრძილის რეცესია	r	0,0054	-0,2051	0,2113	-0,0042	-0,1103	-0,1361
	p	0,9657	0,1013	0,0912	0,9733	0,3819	0,2796
პათოლოგიური მიკროფლორის გამოვლენა	r	-0,3000	0,3049	0,1696	0,1492	0,2254	0,2782
	p	0,0152	0,0135	0,1767	0,2355	0,0711	0,0248
ვინირების საჭიროება	r	-0,2447	0,3493	-0,0121	0,1575	0,1599	0,1974
	p	0,0495	0,0043	0,9239	0,2103	0,2032	0,1149
ძველი ვინირის არსებობა	r	-0,2407	0,3528	0,1657	0,1045	0,2048	0,2529
	p	0,0534	0,0039	0,1872	0,4073	0,1017	0,0421
ბაქტერიული კონტამინაცია ვინირებამდე	r	-0,4292	1,0000	0,4087	0,2579	0,1018	0,1257
	p	0,0004	.	0,0007	0,0381	0,4197	0,3184

	n	Porphyromonas gingivalis	Escherichia coli	Lactobacillus spp	Prevotella intermedia	Actinomyces israeli	Actinobacillus actinomycetemcomitans
ბაქტერიული კონტამინაცია კინირების შემდეგ	r	-0,2024	-0,0988	-0,0988	0,0423	0,2782	-0,0988
	p	0,1058	0,4335	0,4335	0,7382	0,0248	0,4335
მდედრობითი	r	0,2024	-0,1581	-0,1581	-0,0423	0,1739	-0,1581
	p	0,1058	0,2084	0,2084	0,7382	0,1659	0,2084
მამრობითი	r	-0,1832	0,1748	0,1748	0,0608	-0,1573	0,1748
	p	0,1442	0,1638	0,1638	0,6303	0,2107	0,1638
<i>abso</i> <20	r	0,0827	-0,0501	-0,0501	-0,0714	-0,0882	-0,0501
	p	0,5125	0,6918	0,6918	0,5718	0,4848	0,6918
20-40	r	-0,1482	-0,1350	0,1157	-0,0138	0,2037	-0,1350
	p	0,2388	0,2836	0,3586	0,9135	0,1037	0,2836
41-60	r	-0,0067	0,2100	-0,0744	0,0967	-0,1309	0,2100
	p	0,9576	0,0931	0,5559	0,4436	0,2986	0,0931
>60	r	0,3251	-0,0223	-0,0223	-0,0318	-0,0392	-0,0223
	p	0,0082	0,8602	0,8602	0,8018	0,7566	0,8602
კბილების გამოხევა	r	0,0817	0,0399	0,0399	0,0568	0,0701	0,0399
	p	0,5178	0,7526	0,7526	0,6530	0,5787	0,7526
სავლების ხმა- რების პულტურა	r	0,1829	-0,1021	0,1531	0,0364	-0,1796	-0,1021
	p	0,1446	0,4185	0,2234	0,7736	0,1523	0,4185
ფლოსის გამოყენება	r	-0,1403	-0,0685	-0,0685	-0,0976	-0,1205	-0,0685
	p	0,2651	0,5879	0,5879	0,4393	0,3391	0,5879
სიგარების წევა	r	-0,2122	0,0925	0,0925	0,1319	0,1628	0,0925
	p	0,0898	0,4636	0,4636	0,2951	0,1951	0,4636
ალკოჰოლიზმი	r	-0,1219	0,2627	0,2627	0,1448	-0,1047	-0,0595
	p	0,3336	0,0345	0,0345	0,2497	0,4067	0,6379
ნარკომანია	r	-0,0320	-0,0156	-0,0156	-0,0223	-0,0275	-0,0156
	p	0,8002	0,9017	0,9017	0,8602	0,8279	0,9017
მავნე საწარმოო ფაქტორების მოქმედება	r	-0,0320	-0,0156	-0,0156	-0,0223	-0,0275	-0,0156
	p	0,8002	0,9017	0,9017	0,8602	0,8279	0,9017

ცხრილი 15.2 (გაგრძელება)

საცხოვრებელი გარემოს მავნე გკოლოგიური ფაქტორები	r	-0,0563	-0,0275	-0,0275	-0,0392	-0,0484	-0,0275
	p	0,6558	0,8279	0,8279	0,7566	0,7019	0,8279
პუჭ-ნაწლავის ტრაქტის პათო- ლოგიები	r	0,1010	0,1122	-0,1393	0,1599	-0,2451	0,1122
	p	0,4232	0,3736	0,2685	0,2032	0,0491	0,3736
ენდოკრინული დაავადებები	r	0,1509	-0,0714	-0,0714	0,1050	-0,1257	-0,0714
	p	0,2302	0,5718	0,5718	0,4052	0,3184	0,5718
გულ-სისხლძარღვ- თა დაავადებები	r	-0,0959	0,3337	-0,0468	-0,0668	-0,0824	-0,0468
	p	0,4471	0,0066	0,7111	0,5973	0,5140	0,7111
ჰიპოვიტამინოზი	r	0,0682	-0,0533	-0,0533	0,1709	-0,0938	-0,0533
	p	0,5891	0,6733	0,6733	0,1734	0,4574	0,6733
ფოკალური ინფექციის გერები	r	0,0277	-0,1122	-0,1122	0,0193	0,2451	0,1393
	p	0,8264	0,3736	0,3736	0,8787	0,0491	0,2685
რესპირატორული ინფექციები	r	0,1663	-0,0361	-0,0361	-0,0514	-0,0635	-0,0361
	p	0,1854	0,7754	0,7754	0,6841	0,6153	0,7754
მექანიკური	r	0,0320	-0,0625	-0,0625	0,1336	-0,1100	0,2500
	p	0,8002	0,6209	0,6209	0,2886	0,3831	0,0446
მედიკამენტების მიღება	r	0,0216	0,2386	-0,0655	0,3401	-0,1153	-0,0655
	p	0,8646	0,0556	0,6042	0,0056	0,3606	0,6042
კვები უპირატესად ნახშირწყლოვანი	r	0,2445	0,1194	-0,1309	0,1701	-0,2304	0,1194
	p	0,0496	0,3436	0,2986	0,1754	0,0649	0,3436
უპირატესად ცილოვანი	r	0,2522	0,1231	0,1231	0,1755	-0,2234	0,1231
	p	0,0427	0,3286	0,3286	0,1621	0,0737	0,3286
ცხარე საკვების ხშირი მიღება	r	0,2338	0,1809	0,1809	0,0674	-0,1520	0,1809
	p	0,0609	0,1492	0,1492	0,5937	0,2269	0,1492
ობლიგატური ალერგენები	r	-0,0739	0,4330	-0,0361	-0,0514	-0,0635	-0,0361
	p	0,5584	0,0003	0,7754	0,6841	0,6153	0,7754
ტებილეული	r	0,2682	0,1309	-0,1194	0,1866	0,2304	0,1309
	p	0,0308	0,2986	0,3436	0,1367	0,0649	0,2986
უპირატესად სწრაფი კვება	r	0,1829	-0,1021	-0,1021	0,0364	-0,1796	0,1531
	p	0,1446	0,4185	0,4185	0,7736	0,1523	0,2234
ჯანსაღი კვების რეჟიმი	r	-0,0479	0,1748	0,1748	-0,1274	-0,1573	-0,0894
	p	0,7049	0,1638	0,1638	0,3117	0,2107	0,4788
სპეციალური დიეტის დაცვა	r	0,2577	-0,0803	-0,0803	0,0814	-0,1414	-0,0803
	p	0,0382	0,5247	0,5247	0,5194	0,2613	0,5247
ქავის ხშირი მოხმარება	r	0,1320	-0,1231	0,1269	0,0027	0,2234	-0,1231
	p	0,2946	0,3286	0,3136	0,9827	0,0737	0,3286

ცხრილი 15.2 (გაგრძელება)

კვაბა სინთეზური სით- ხეების გამოყენება	r	0,0874	0,1748	0,1748	0,0608	-0,1573	0,1748
	p	0,4887	0,1638	0,1638	0,6303	0,2107	0,1638
თანჯეზილება ორთოგნათიული	r	-0,1156	-0,0564	-0,0564	-0,0804	-0,0993	-0,0564
	p	0,3593	0,6553	0,6553	0,5243	0,4314	0,6553
ლრმა	r	0,2995	-0,0714	0,2188	0,1050	-0,1257	-0,0714
	p	0,0154	0,5718	0,0800	0,4052	0,3184	0,5718
პირდაპირი	r	-0,1280	-0,0625	-0,0625	-0,0891	-0,1100	-0,0625
	p	0,3094	0,6209	0,6209	0,4804	0,3831	0,6209
ჯვარგლინი	r	0,0827	0,3118	-0,0501	-0,0714	0,5487	-0,0501
	p	0,5125	0,0115	0,6918	0,5718	0,0000	0,6918
ლია	r	-0,0456	-0,0223	-0,0223	0,4841	-0,0392	0,7016
	p	0,7182	0,8602	0,8602	0,0000	0,7566	0,0000
მეზიალური	r	-0,0563	-0,0275	-0,0275	-0,0392	-0,0484	-0,0275
	p	0,6558	0,8279	0,8279	0,7566	0,7019	0,8279
დისტალური	r	-0,0959	-0,0468	-0,0468	-0,0668	-0,0824	0,3337
	p	0,4471	0,7111	0,7111	0,5973	0,5140	0,0066
კომპენსირებული კარიესი	r	-0,1280	-0,0625	-0,0625	-0,0891	-0,1100	-0,0625
	p	0,3094	0,6209	0,6209	0,4804	0,3831	0,6209
სუბკომპენსირე- ბული კარიესი	r	0,1565	0,1393	0,1393	0,0193	0,2451	0,1393
	p	0,2131	0,2685	0,2685	0,8787	0,0491	0,2685
დეკომპენსირე- ბული კარიესი	r	0,0023	-0,0714	-0,0714	0,1050	-0,1257	-0,0714
	p	0,9856	0,5718	0,5718	0,4052	0,3184	0,5718
გინგივიტი	r	0,1010	0,1122	-0,1393	-0,0193	0,1974	-0,1393
	p	0,4232	0,3736	0,2685	0,8787	0,1149	0,2685
პაროდონტოზი	r	-0,0563	-0,0275	-0,0275	-0,0392	-0,0484	-0,0275
	p	0,6558	0,8279	0,8279	0,7566	0,7019	0,8279
პაროდონტიტი	r	0,2082	-0,0595	-0,0595	0,3744	-0,1047	0,2627
	p	0,0961	0,6379	0,6379	0,0021	0,4067	0,0345
პირის ლრუს ლორ- წოვანი გარსის დაავადება	r	-0,0739	-0,0361	-0,0361	-0,0514	-0,0635	0,4330
	p	0,5584	0,7754	0,7754	0,6841	0,6153	0,0003
ჰიგიენური ინდექსი	r	0,1670	0,0007	0,0889	-0,0514	0,0874	-0,0140
	p	0,1836	0,9957	0,4814	0,6842	0,4887	0,9117
პაროდონტული ინდექსი	r	0,0928	0,1002	0,1171	0,0405	-0,0318	-0,0941
	p	0,4623	0,4271	0,3529	0,7489	0,8015	0,4560
PMA ინდექსი	r	0,1016	0,1008	-0,1039	-0,0022	-0,1829	-0,1039
	p	0,4207	0,4245	0,4101	0,9858	0,1449	0,4101

ცხრილი 15.2 (გაგრძელება)

ბჟენის ნაწილობრივი ან პირდაპირი ატკებვა	r	0,2707	-0,0774	-0,0774	0,2879	-0,1361	-0,0774
	p	0,0292	0,5402	0,5402	0,0200	0,2796	0,5402
ბჟენის ფერის ცვლილება	r	0,2682	-0,1194	-0,1194	0,1866	-0,2100	0,1309
	p	0,0308	0,3436	0,3436	0,1367	0,0931	0,2986
დემარგაციული ხაზის გაჩენა	r	0,1400	-0,1194	-0,1194	0,0082	-0,2100	-0,1194
	p	0,2660	0,3436	0,3436	0,9481	0,0931	0,3436
რეციდიული კარიესი	r	0,2227	-0,0894	-0,0894	0,0608	-0,1573	-0,0894
	p	0,0746	0,4788	0,4788	0,6303	0,2107	0,4788
გინგივიტი	r	0,1773	-0,0655	-0,0655	0,3401	-0,1153	-0,0655
	p	0,1577	0,6042	0,6042	0,0056	0,3606	0,6042
პაროდონტიტი	r	0,5818	-0,0399	-0,0399	-0,0568	-0,0702	-0,0399
	p	0,0000	0,7526	0,7526	0,6530	0,5787	0,7526
ლრძილის რეცესია	r	0,1277	-0,0774	-0,0774	0,0888	-0,1361	-0,0774
	p	0,3109	0,5402	0,5402	0,4817	0,2796	0,5402
პათოლოგიური მიკროფლორის გამოვლენა	r	0,3239	0,1581	-0,0988	0,2254	-0,1739	0,1581
	p	0,0085	0,2084	0,4335	0,0711	0,1659	0,2084
ვინირების საჭიროება	r	0,2298	0,1122	-0,1393	0,1599	-0,2451	0,1122
	p	0,0655	0,3736	0,2685	0,2032	0,0491	0,3736
ძეელი ვინირის არსებობა	r	0,2944	-0,1087	-0,1087	0,2048	-0,1914	0,1437
	p	0,0173	0,3886	0,3886	0,1017	0,1268	0,2535

ცხრილი 15.3

	n	<i>Enterococcus faecalis</i>	<i>Stenotrophomonas maltophilia</i>	<i>Candida albicans</i>	<i>Klebsiella pneumoniae</i>	<i>Enterococcus faecalis</i>
ბაქტერიული კონტამინაცია ვინირების შემდეგ	r	0,1581	-0,2024	-0,3169	0,2782	0,1581
	p	0,2084	0,1058	0,0101	0,0248	0,2084
საჭიროებითი მდედრობითი	r	-0,1581	0,2024	-0,2324	0,1739	-0,1581
	p	0,2084	0,1058	0,0625	0,1659	0,2084
მამრობითი	r	0,1748	-0,1832	-0,0043	-0,1573	0,1748
	p	0,1638	0,1442	0,9726	0,2107	0,1638

ცხრილი 15.3 (გაგრძელება)

ასაკი ->20	r	-0,0501	0,0827	0,2262	-0,0882	-0,0501
	p	0,6918	0,5125	0,0700	0,4848	0,6918
20-40	r	0,1157	0,1087	-0,4330	0,2037	0,1157
	p	0,3586	0,3889	0,0003	0,1037	0,3586
41-60	r	-0,0744	-0,1524	0,0655	-0,1309	-0,0744
	p	0,5559	0,2256	0,6042	0,2986	0,5559
>60	r	-0,0223	-0,0456	-0,0714	-0,0392	-0,0223
	p	0,8602	0,7182	0,5718	0,7566	0,8602
ქბილების გამოხევება	r	0,0399	0,0817	-0,3338	-0,6898	0,0399
	p	0,7526	0,5178	0,0066	0,0000	0,7526
სავლების ხმარება	r	0,1531	-0,2091	-0,3273	0,2694	0,1531
	p	0,2234	0,0946	0,0078	0,0300	0,2234
ფლოსის გამოყენება	r	-0,0685	-0,1403	-0,2196	-0,1205	-0,0685
	p	0,5879	0,2651	0,0788	0,3391	0,5879
სიგარების წევა	r	-0,1689	-0,3460	-0,2623	0,1628	-0,1689
	p	0,1786	0,0048	0,0348	0,1951	0,1786
ალკოჰოლიზმი	r	-0,0595	-0,1219	0,1537	-0,1047	-0,0595
	p	0,6379	0,3336	0,2217	0,4067	0,6379
ნარკომანია	r	-0,0156	-0,0320	-0,0501	-0,0275	-0,0156
	p	0,9017	0,8002	0,6918	0,8279	0,9017
მაგნე საწარმოო ფაქტორების მოქმედება	r	-0,0156	-0,0320	-0,0501	-0,0275	-0,0156
	p	0,9017	0,8002	0,6918	0,8279	0,9017
საცხოვრებელი გარემოს მაგნე ეკოლოგიური ფაქტორები	r	-0,0275	-0,0563	0,5487	-0,0484	-0,0275
	p	0,8279	0,6558	0,0000	0,7019	0,8279
პუჭ-ნაწლავის ტრაქტის პათოლოგიები	r	0,1122	0,1010	-0,4467	-0,2451	0,1122
	p	0,3736	0,4232	0,0002	0,0491	0,3736
ენდოკრინული დაავადებები	r	-0,0714	-0,1463	-0,2291	0,3849	-0,0714
	p	0,5718	0,2448	0,0664	0,0015	0,5718
გულ-სისხლძარღვ- თა დაავადებები	r	-0,0468	-0,0959	0,2566	-0,0824	-0,0468
	p	0,7111	0,4471	0,0391	0,5140	0,7111
ჰიპოვიტამინოზი	r	-0,0533	-0,1092	-0,1709	-0,0938	-0,0533
	p	0,6733	0,3866	0,1734	0,4574	0,6733
ფოკალური ინფექციის პერები	r	0,1393	-0,2298	-0,3598	-0,1974	0,1393
	p	0,2685	0,0655	0,0032	0,1149	0,2685
რესპირატორული ინფექციები	r	-0,0361	-0,0739	-0,1157	-0,0635	-0,0361
	p	0,7754	0,5584	0,3586	0,6153	0,7754

ცხრილი 15.3 (გაგრძელება)

მექანიკური დაზიანება	r	-0,0625	0,5121	-0,2005	-0,1100	-0,0625
	p	0,6209	0,0000	0,1094	0,3831	0,6209
მედიკამენტების მიღება	r	-0,0655	-0,1342	-0,2100	-0,1153	-0,0655
	p	0,6042	0,2866	0,0931	0,3606	0,6042
ჯეგება უპირატესად ნახშირწყლოვანი	r	-0,1309	-0,1400	-0,1523	0,2100	-0,1309
	p	0,2986	0,2660	0,2259	0,0931	0,2986
უპირატესად ცილოვანი	r	-0,1269	-0,1320	-0,4071	-0,2234	-0,1269
	p	0,3136	0,2946	0,0008	0,0737	0,3136
ცხარე საკვების ხშირი მიღება	r	-0,0864	-0,0400	-0,2770	-0,1520	-0,0864
	p	0,4940	0,7516	0,0255	0,2269	0,4940
ობლიგატური ალერგენები	r	-0,0361	-0,0739	-0,1157	-0,0635	-0,0361
	p	0,7754	0,5584	0,3586	0,6153	0,7754
ტკბილეული	r	-0,1194	-0,1163	-0,3828	-0,2100	-0,1194
	p	0,3436	0,3560	0,0016	0,0931	0,3436
უპირატესად სწრაფი კვება	r	-0,1021	-0,0784	-0,0546	-0,1796	-0,1021
	p	0,4185	0,5347	0,6660	0,1523	0,4185
ჯანსაღი კვების რეჟიმი	r	0,1748	0,2227	-0,2868	-0,1573	0,1748
	p	0,1638	0,0746	0,0206	0,2107	0,1638
სპეციალური დიეტის დაცვა	r	-0,0803	-0,1646	-0,2577	0,3423	-0,0803
	p	0,5247	0,1902	0,0383	0,0053	0,5247
ყავის ხშირი მოხმარება	r	-0,1231	0,1320	-0,3948	-0,2166	-0,1231
	p	0,3286	0,2946	0,0011	0,0831	0,3286
სინთეზური სიოთხეების გამოყენება	r	-0,0894	-0,0479	-0,0043	-0,1573	-0,0894
	p	0,4788	0,7049	0,9726	0,2107	0,4788
თანაბილება ორთოგნათოული	r	-0,0564	-0,1156	0,1755	0,4874	-0,0564
	p	0,6553	0,3593	0,1621	0,0000	0,6553
ლრმა	r	-0,0714	0,4481	-0,2291	-0,1257	-0,0714
	p	0,5718	0,0002	0,0664	0,3184	0,5718
პირდაპირი	r	0,2500	-0,1280	-0,2005	-0,1100	0,2500
	p	0,0446	0,3094	0,1094	0,3831	0,0446
ჯვარედინი	r	-0,0501	-0,1027	-0,1607	-0,0882	-0,0501
	p	0,6918	0,4158	0,2009	0,4848	0,6918
ლია	r	-0,0223	-0,0456	-0,0714	-0,0392	-0,0223
	p	0,8602	0,7182	0,5718	0,7566	0,8602
მეზიალური	r	-0,0275	-0,0563	-0,0882	-0,0484	-0,0275
	p	0,8279	0,6558	0,4848	0,7019	0,8279
დისტალური	r	-0,0468	-0,0959	0,2566	-0,0824	-0,0468
	p	0,8002	0,6038	0,0001	0,6558	0,8002

ცხრილი 15.3 (გაგრძელება)

კომპენსირებული კარიესი	r	-0,0625	-0,1280	0,1336	0,4399	-0,0625
	p	0,6209	0,3094	0,2886	0,0002	0,6209
სუბკომპენსირე- ბული კარიესი	r	0,1393	0,2853	-0,3598	-0,1974	0,1393
	p	0,2685	0,0212	0,0032	0,1149	0,2685
დეკომპენსირე- ბული კარიესი	r	-0,0714	-0,1463	0,0811	-0,1257	-0,0714
	p	0,5718	0,2448	0,5206	0,3184	0,5718
გინგივიტი	r	0,1122	0,1010	-0,4467	-0,2451	0,1122
	p	0,3736	0,4232	0,0002	0,0491	0,3736
პაროდონტოზი	r	-0,0275	-0,0563	-0,0882	-0,0484	-0,0275
	p	0,8279	0,6558	0,4848	0,7019	0,8279
პაროდონტიტი	r	-0,0595	0,0432	0,1537	-0,1047	-0,0595
	p	0,6379	0,7329	0,2217	0,4067	0,6379
პირის დრუს ლორ- წოვანი გარსის დაავადება	r	-0,0361	-0,0739	0,3858	-0,0635	-0,0361
	p	0,7754	0,5584	0,0015	0,6153	0,7754
ჰიგიენური ინდექსი	r	-0,0581	0,0014	-0,2597	-0,1281	-0,0581
	p	0,6456	0,9912	0,0367	0,3090	0,6456
პაროდონტული ინდექსი	r	-0,0265	-0,0586	-0,2656	-0,1705	-0,0265
	p	0,8340	0,6427	0,0325	0,1744	0,8340
PMA ინდექსი	r	0,1008	0,2064	-0,3332	-0,1829	0,1008
	p	0,4245	0,0990	0,0067	0,1449	0,4245
ბენის ნაწილობ- რივი ან პირდა- პირი ატკეჩვა	r	0,2020	-0,0154	-0,2481	-0,1361	0,2020
	p	0,1066	0,9030	0,0463	0,2796	0,1066
ბენის ფერის ცვლილება	r	0,1309	0,2682	-0,1153	-0,2100	0,1309
	p	0,2986	0,0308	0,3606	0,0931	0,2986
დემარკაციული ხაზის გაჩენა	r	0,1309	0,2682	-0,1153	-0,2100	0,1309
	p	0,2986	0,0308	0,3606	0,0931	0,2986
რეციდივული კარიესი	r	-0,0894	0,3580	-0,0043	-0,1573	-0,0894
	p	0,4788	0,0034	0,9726	0,2107	0,4788
გინგივიტი	r	0,2386	0,4887	-0,2100	-0,1153	0,2386
	p	0,0556	0,0000	0,0931	0,3606	0,0556
პაროდონტიტი	r	-0,0399	0,1395	0,3338	-0,0702	-0,0399
	p	0,7526	0,2677	0,0066	0,5787	0,7526
დრძილის რეცესია	r	0,2020	-0,1585	-0,2481	-0,1361	0,2020
	p	0,1066	0,2074	0,0463	0,2796	0,1066
პათოლოგიური მიკროფლორის გამოვლენა	r	-0,0988	0,3239	-0,3169	-0,1739	-0,0988
	p	0,4335	0,0085	0,0101	0,1659	0,4335

ცხრილი 15.3 (გაგრძელება)

ვინიორების საჭიროება	r	-0,1393	0,2298	-0,1778	0,1974	-0,1393
	p	0,2685	0,0655	0,1564	0,1149	0,2685
ვინიორის არსებობა	r	-0,1087	0,2944	-0,3487	0,2529	-0,1087
	p	0,3886	0,0173	0,0044	0,0421	0,3886

ბაქტერიული კონტამინაცია ვინიორების შემდეგ სარწმუნო დადებით კორელაციას ამჟღავნებს შემდეგ ფაქტორებთან: ასაკი 41-60 წელი, სიგარეტის წევა, ფოკალური ინფექციის პერები, ხოლო უარყოფითს – ასაკი 20-40.

ბაქტერიული კონტამინაცია ვინიორებამდე სარწმუნო დადებით კორელაციას ამჟღავნებს შემდეგ ფაქტორებთან: ტკბილეულის ჭარბი მიღება, დეკომპენსირებული კარიესი, რეციდივული კარიესი, ბჟენის ფერის ცვლილება, დემარკაციული ხაზის გაჩენა, პათოლოგიური მიკროფლორის, ძველი ვინიორის არსებობა.

Streptococcus mutans სარწმუნო დადებით კორელაციას ამჟღავნებს შემდეგ ფაქტორებთან: კუჭ-ნაწლავის ტრაქტის პათოლოგიები, ბჟენის ფერის ცვლილება, დემარკაციული ხაზის გაჩენა, რეციდივული კარიესი, პაროდონტიტი, ბაქტერიული კონტამინაცია ვინიორებამდე.

Streptococcus sanguinis სარწმუნო დადებით კორელაციას ამჟღავნებს შემდეგ ფაქტორებთან: მდედრობითი სქესი, ასაკი 20-40 წელი, ასაკი 41-60, მაგნე საწარმოო აქტორების მოქმედება, კუჭ-ნაწლავის ტრაქტის პათოლოგიები, რეციდივული კარიესი.

Streptococcus mitis სარწმუნო დადებით კორელაციას ამჟღავნებს შემდეგ ფაქტორებთან: სუბკომპენსირებული კარიესი, ძველი ვინიორის არსებობა.

Porphyromonas gingivalis სარწმუნო დადებით კორელაციას ამჟღავნებს შემდეგ ფაქტორებთან: ასაკი >60 წ., უპირატესად ცილოვანი პვება, ტკბილეული, სპეციალური დიეტის დაცვა, ღრმა თანკბილვა, ბჟენის ნაწილობრივი ან პირდაპირი ატკეზვა – $r=0,2707$, $p<0,0292$, ბჟენის ფერის ცვლილება, პაროდონტიტი, ძველი ვინიორის არსებობა.

Escherichia coli სარწმუნო დადებით კორელაციას ამჟღავნებს შემდეგ ფაქტორებთან: ალკოჰოლიზმი, ჯვარედინი თანკბილვა.

Prevotella intermedia სარწმუნო დადებით კორელაციას ამჟღავნებს შემდეგ ფაქტორებთან: ღია თანკბილვა, პაროდონტიტი, ბჟენის ნაწილობრივი ან პირდაპირი ატკეზვა, გინგივიტი,

Actinomyces israeli სარწმუნო დადებით კორელაციას ამჟღავნებს შემდეგ ფაქტორებთან: ჯვარედინი თანკბილვა, სუბკომპენსირებული კარიესი;

Actinobacillus actinomycetemcomitans სარწმუნო დადებით კორელაციას ამჟღავნებს შემდეგ ფაქტორებთან: დია თანკბილვა, პაროდონტიტი, პირის დრუს ლორწოვანი გარსის დაავადება.

Stenotrophomonas maltophilia სარწმუნო დადებით კორელაციას ამჟღავნებს შემდეგ ფაქტორებთან: დრმა თანკბილვა, სუბკომპენსირებული კარიესი, ბჟენის ფერის ცვლილება, დემარკაციული ხაზის გაჩენა, რეციდიული კარიესი, გინგიგიტი, ვინირის არსებობა.

Candida albicans სარწმუნო დადებით კორელაციას ამჟღავნებს შემდეგ ფაქტორებთან: საცხოვრებელი გარემოს მავნე ეკოლოგიური ფაქტორი, პაროდონტიტი.

Klebsiela pneumoniae სარწმუნო დადებით კორელაციას ამჟღავნებს შემდეგ ფაქტორებთან: ენდოკრინული დაავადებები, სპეციალური დიეტის დაცვა, კომპენსირებული კარიესი, ძველი ვინირის არსებობა.

ცხრილი 16-ში მოცემულია ასოციაცები ბაქტერიებს შორის.

ცხრილი 16.1

ასოციაცები ბაქტერიებს შორის

		ბაქტერიული კონტაქტის ნაცია გინირების შემდეგ	ბაქტერიული კონტაქტის ნაცია გინირებამდე	Streptococcus mutans	Streptococcus sanguinis	Streptococcus salivarius	Streptococcus mitis
Streptococcus mutans	r	-0,2982	0,4087	-	-	-	-
	p	0,0158	0,0007		-	-	-
Streptococcus sanguinis	r	-0,1038	0,2579	0,0240	-	-	-
	p	0,4106	0,0381	0,8494	-	-	-
Streptococcus salivarius	r	-0,1409	0,1018	0,0608	-0,0804	-	-
	p	0,2631	0,4197	0,6303	0,5243	--	-
Streptococcus mitis	r	-0,1739	0,1257	-0,0024	-0,0993	-0,0392	-
	p	0,1659	0,3184	0,9850	0,4314	0,7566	-

ცხრილი 16.1 (გაგრძელება)

Porphyrimonas gingivalis	r	-0,2024	0,1463	0,2227	-0,1156	-0,0456	0,2488
	p	0,1058	0,2448	0,0746	0,3593	0,7182	0,0457
Escherichia coli	r	-0,0988	0,0714	-0,0894	-0,0564	-0,0223	-0,0275
	p	0,4335	0,5718	0,4788	0,6553	0,8602	0,8279
Lactobacillus spp	r	-0,0988	0,0714	-0,0894	-0,0564	-0,0223	-0,0275
	p	0,4335	0,5718	0,4788	0,6553	0,8602	0,8279
Prevotella intermedia	r	0,0423	0,1018	-0,1274	0,1572	-0,0318	-0,0392
	p	0,7382	0,4197	0,3117	0,2112	0,8018	0,7566
Actinomyces israeli	r	0,2782	0,1257	-0,1573	-0,0993	-0,0392	-0,0484
	p	0,0248	0,3184	0,2107	0,4314	0,7566	0,7019
Actinobacillus actinomycetemcominas	r	-0,0988	0,0714	-0,0894	-0,0564	-0,0223	-0,0275
	p	0,4335	0,5718	0,4788	0,6553	0,8602	0,8279
Enterococcus faecalis	r	0,1581	-0,2188	-0,0894	-0,0564	-0,0223	-0,0275
	p	0,2084	0,0800	0,4788	0,6553	0,8602	0,8279
Stenotrophomonas maltophilia	r	-0,2024	0,1463	0,3580	-0,1156	-0,0456	-0,0563
	p	0,1058	0,2448	0,0034	0,3593	0,7182	0,6558
Candida albicans	r	-0,3169	0,2291	-0,0043	-0,1809	-0,0714	-0,0882
	p	0,0101	0,0664	0,9726	0,1492	0,5718	0,4848
Klebsiela pneumoniae	r	0,2782	0,1257	-0,1573	-0,0993	-0,0392	-0,0484
	p	0,0248	0,3184	0,2107	0,4314	0,7566	0,7019

ბაქტერიული კონტამინაცია ვინირების შემდეგ ასოცირებულია Klebsiela pneumoniae-სთან, Candida albicans-თან, Actinomyces israeli-სთან, Streptococcus mutans-თან, ხოლო ბაქტერიული კონტამინაცია ვინირებამდე – Streptococcus mutans-თან და Streptococcus sanguinis-თან Porphyrimonas gingivalis ასოცირებულია streptococcus mitis-თან.

	n	Porphyromonas gingivalis	Escherichia coli	Lactobacillus spp	Prevotella intermedia	Actinomyces israeli	Actinobacillus actinomycetemcominas
Escherichia coli	r	-0,0320					
	p	0,8002					
Lactobacillus spp	r	-0,0320	-0,0156				
	p	0,8002	0,9017				
Prevotella intermedia	r	-0,0456	-0,0223	-0,0223			
	p	0,7182	0,8602	0,8602			
Actinomyces israeli	r	-0,0563	-0,0275	-0,0275	-0,0392		
	p	0,6558	0,8279	0,8279	0,7566		
Actinobacillus actinomycetemcominas	r	-0,0320	-0,0156	-0,0156	-0,0223	-0,0275	
	p	0,8002	0,9017	0,9017	0,8602	0,8279	
Enterococcus faecalis	r	-0,0320	-0,0156	-0,0156	-0,0223	-0,0275	-0,0156
	p	0,8002	0,9017	0,9017	0,8602	0,8279	0,9017
Stenotrophomonas maltophilia	r	0,2008	-0,0320	-0,0320	-0,0456	-0,0563	-0,0320
	p	0,1087	0,8002	0,8002	0,7182	0,6558	0,8002
Candida albicans	r	-0,1027	-0,0501	-0,0501	-0,0714	-0,0882	-0,0501
	p	0,4158	0,6918	0,6918	0,5718	0,4848	0,6918
Klebsiela pneumoniae	r	-0,0563	-0,0275	-0,0275	-0,0392	-0,0484	-0,0275
	p	0,6558	0,8279	0,8279	0,7566	0,7019	0,8279

	n	Enterococcus faecalis	Stenotrophomonas maltophilia	Candida albicans	Klebsiella pneumoniae
Enterococcus faecalis	r		-0,0320	-0,0501	-0,0275
	p		0,8002	0,6918	0,8279
Stenotrophomonas maltophilia	r			-0,1027	-0,0563
	p			0,4158	0,6558
Candida albicans	r				-0,0882
	p				0,4848

ავლევის შემდეგ ეტაპზე შევისწავლეთ პირის ღრუს სტომატილოგიური ინდექსების დამოკიდებულება ბაქტერიულ კონტამინაციაზე ვინირებამდე (ცხრილი 17) და ვინირების შემდეგ (ცხრილი 18).

ცხრილი 17

კორელაციები პირის ღრუს სტომატილოგიურ ინდექსებსა და მიკრობულ კონტამინაციას შორის ვინირებამდე

		PMA ინდექსი	ჰიგიენური ინდექსი	პაროდონტული ინდექსი	ვინირის არსებობა
PMA ინდექსი	r	1,0000	0,2764	0,3026	0,0178
	p	.	0,0271	0,0159	0,8884
ჰიგიენური ინდექსი	r	0,2764	1,0000	0,7052	0,0000
	p	0,0271	.	0,0000	1,0000
პაროდონტული ინდექსი	r	0,3026	0,7052	1,0000	0,2364
	p	0,0159	0,0000	.	0,0622
ბაქტერიული კონტამინაცია ვინირებამდე	r	-0,1053	-0,0389	0,1650	0,3528
	p	0,4040	0,7601	0,1962	0,0039
Streptococcus mutans	r	0,0587	0,0329	0,1000	0,1657
	p	0,6425	0,7964	0,4353	0,1872
Streptococcus sanguinis	r	0,2110	-0,0759	0,2138	0,1045
	p	0,0916	0,5511	0,0924	0,4073
Streptococcus salivarius	r	-0,0080	0,1596	0,1733	0,2048
	p	0,9493	0,2078	0,1744	0,1017

ცხრილი 17 (გაგრძელება)

Streptococcus mitis	r	0,1918	0,2956	0,2449	0,2529
	p	0,1258	0,0177	0,0531	0,0421
Porphyrimonas gingivalis	r	0,1059	0,1398	0,0986	0,2944
	p	0,4012	0,2705	0,4422	0,0173
Escherichia coli	r	0,1090	-0,0070	0,0689	-0,1087
	p	0,3873	0,9562	0,5914	0,3886
Lactobacillus spp	r	-0,1203	0,1120	0,0689	-0,1087
	p	0,3398	0,3784	0,5914	0,3886
Prevotella intermedia	r	-0,0080	-0,0848	0,0181	0,2048
	p	0,9493	0,5053	0,8880	0,1017
Actinomyces.israeli	r	-0,2117	0,0452	-0,0618	-0,1914
	p	0,0905	0,7231	0,6307	0,1268
Actinobacillus actinomycetemcominas	r	-0,1203	-0,0070	-0,1488	0,1437
	p	0,3398	0,9562	0,2446	0,2535
Enterococcus faecalis	r	0,1090	-0,1120	-0,0254	-0,1087
	p	0,3873	0,3784	0,8434	0,3886
Stenotrophomonas maltophilia	r	0,2233	-0,0036	-0,0762	0,2944
	p	0,0737	0,9776	0,5525	0,0173
Candida albicans	r	-0,2612	-0,2871	-0,2307	-0,3487
	p	0,0356	0,0214	0,0689	0,0044
Klebsiela pneumoniae	r	-0,2117	-0,1560	-0,1342	0,2529
	p	0,0905	0,2183	0,2945	0,0421

პირის დრუს ინდექსებს შორის არსებობს სარწმუნო დადებითი კორელაცია. პირის დრუს ბაქტერიული კონტამინაცია სარწმუნო დადებით კორელაციას ამჟღავნებს პირის დრუში ძველი ვინირის არსებობასთან.

Streptococcus mitis სარწმუნო დადებით კორელაციას ამჟღავნებს ძველი ვინირის არსებობასთან, ჰიგიენურ და პაროდონტულ ინდექსებთან.

Candida albicans – ძველი ვინირის არსებობასთან, ჰიგიენურ და PMA ინდექსებთან.

კორელაციები პირის დრუს სტომატილოგიურ ინდექსებსა და მიკრობულ კონტამინაციას შორის ვინირების შემდეგ მოცემულია ცხრილი 18-ში.

ვინირების შემდეგ *Streptococcus mitis* სარწმუნო დადებით კორელაციას ამჟღავნებს პაროდონტულ ინდექსთან, ხოლო *Gemella morbilliori* და *Candida albicans* კი PMA ინდექსთან.

**კორელაციები პირის ღრუს სტომატილოგიურ ინდექსებსა და მიკრობულ
კონტამინაციას შორის ვინირების შემდეგ**

		PMA ინდექსი	ჰიგიენური ინდექსი	პაროდონტული ინდექსი	ძველი ვინირის არსებობა
Streptococcus mutans	r	-0,2222	-0,0789	-0,0939	-0,2511
	p	0,0752	0,5356	0,4639	0,0436
Streptococcus spp	r	0,1918	-0,1191	-0,1171	-0,1914
	p	0,1258	0,3487	0,3606	0,1268
Streptococcus salivarius	r	-0,1203	-0,0070	0,1742	0,1437
	p	0,3398	0,9562	0,1722	0,2535
Streptococcus mitis	r	0,1554	0,1347	0,2483	0,2048
	p	0,2165	0,2887	0,0497	0,1017
Gemella morbillorii	r	0,2492	0,0748	0,1733	0,0249
	p	0,0453	0,5568	0,1744	0,8439
Escherichia coli	r	-0,2117	0,0452	-0,0618	-0,1914
	p	0,0905	0,7231	0,6307	0,1268
Prevotella intermedia	r	-0,2117	0,0452	0,1060	-0,1914
	p	0,0905	0,7231	0,4081	0,1268
Enterococcus faecalis	r	0,1918	-0,1191	-0,1171	-0,1914
	p	0,1258	0,3487	0,3606	0,1268
Candida albicans	r	0,3030	0,1140	-0,0144	-0,0015
	p	0,0142	0,3697	0,9106	0,9903
ბაქტერიული კონტამინაცია ვინირების შემდეგ	r	0,0266	0,1004	0,0575	-0,2407
	p	0,8332	0,4300	0,6547	0,0534

ვინირების შემდეგ პაროდონტული ინდექსი კორელაციას ამჟღავნებს PMA ინდექსთან – $r=0,3026$, $p<0,0159$ და ჰიგიენურ ინდექსთან $r=0,7052$, $p<0000$.

ჰიგიენური ინდექსი დაკავშირებულია PMA ინდექსთან $r=0,2764$, $p<0,0271$.

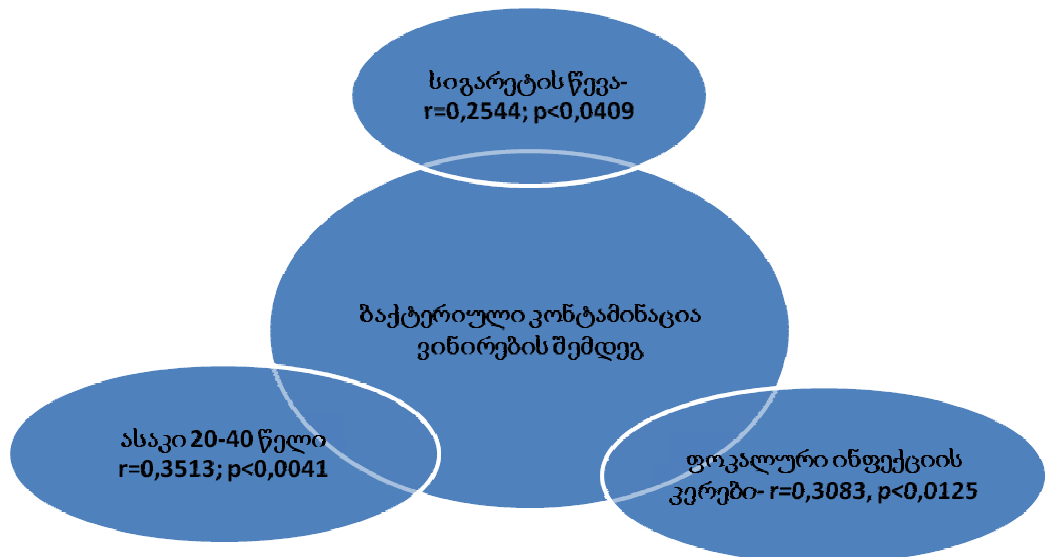
Streptococcus mitis სარწმუნო დადებით კორელაციას ამჟღავნებს ჰიგიენურ – $r=0,2956$, $p<0,0177$ და პაროდონტულ ინდექსებთან $r=0,2449$, $p<0,0531$.

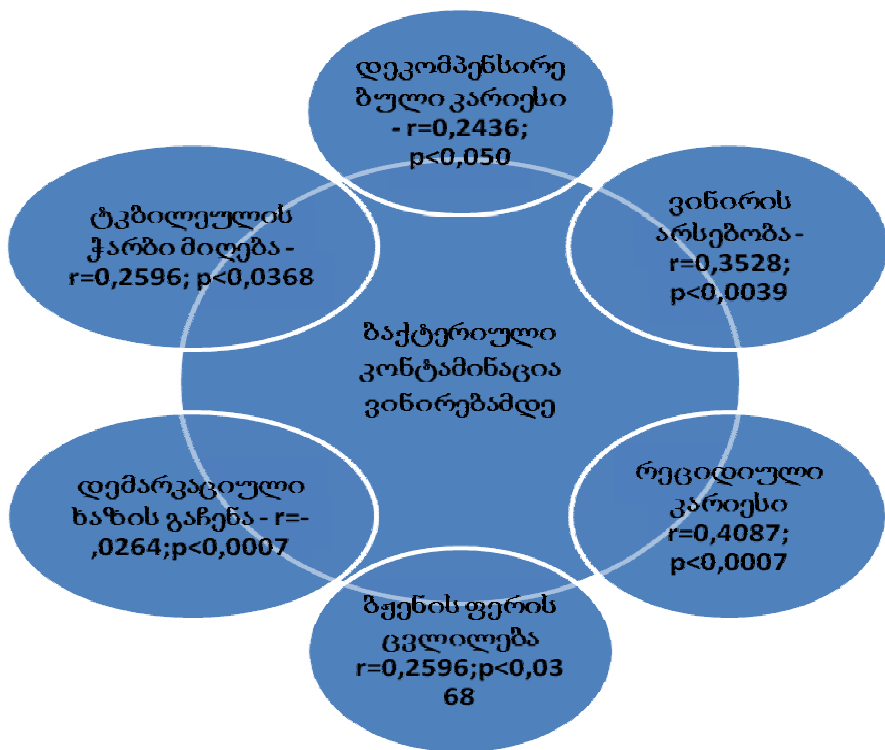
ძველი ვინირის არსებობა სარწმუნო დადებით კორელაციას ამჟღავნებს შემდეგი მიკრობების არსებოასთან: *Streptococcus mitis* – $r=0,2529$, $p<0,0421$, *Porphyromonas gingivalis* – $r=0,2944$, $p<0,0173$, *Stenotrophomonas maltophilia* – $r=0,2944$, $p<0,0173$, *Klebsiella pneumoniae* – $r=0,2529$, $p<0,0421$

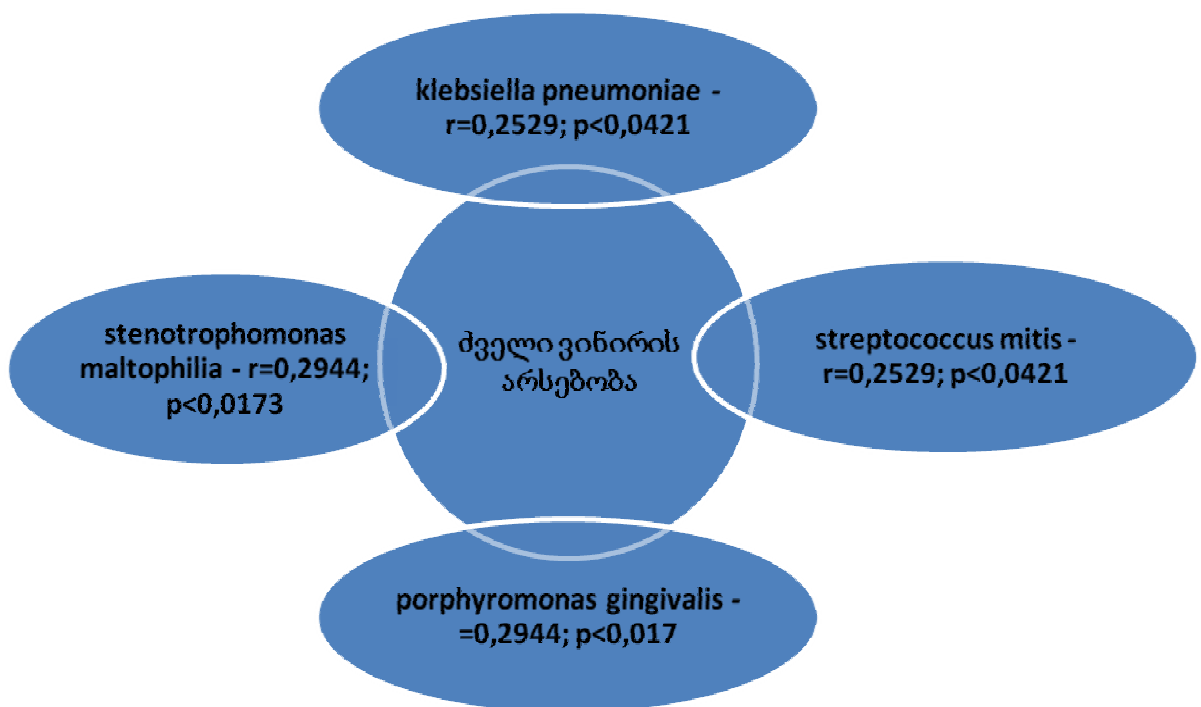
როგორც ვხედავთ, ვინირების შემდეგ მიკრობების არსებობა აღარ არის კორლაციაში ჰიგიენურ ინდექსთან.

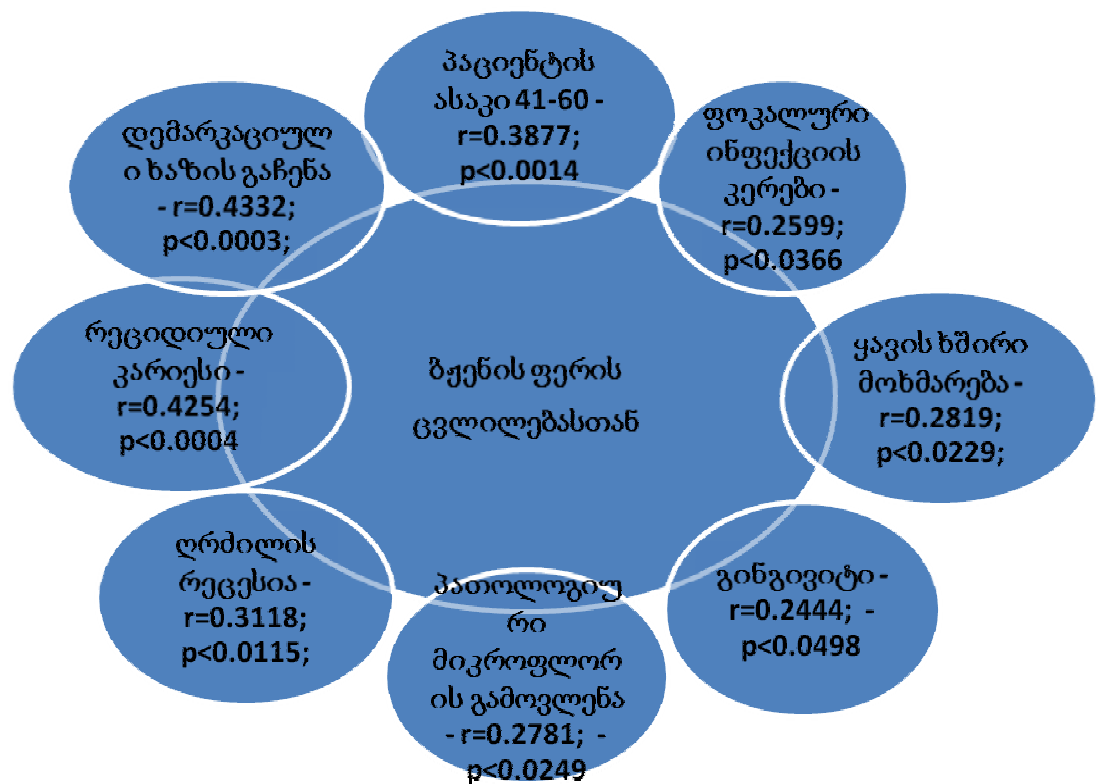
სარწმუნო კორელაციები

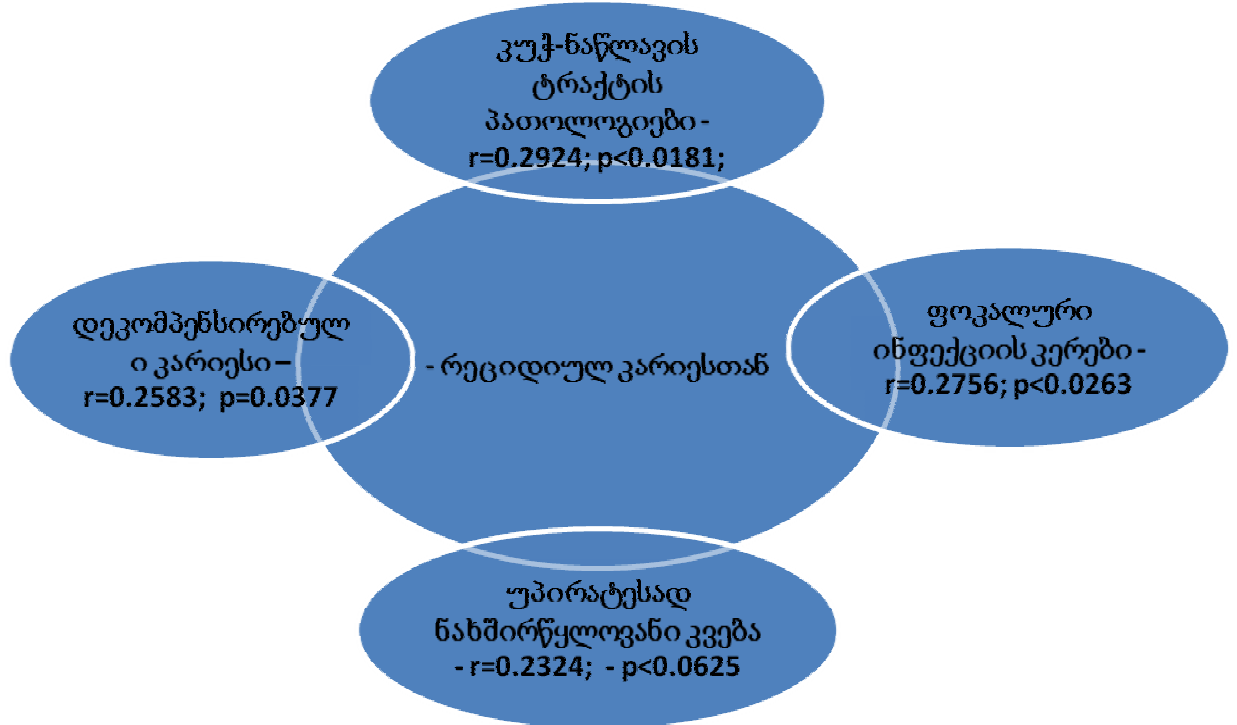
დიაგრამა 17











ამრიგად

- პირის ღრუს ბაქტერიული სტატუსი კორელაციაშია პირის ღრუს და ორგანიზმის ზოგად მდგომარეობასთან;
 - პირის ღრუს მიკრობულ კონტამინაციაზე გავლენას ახდენს ძველი ვინირის არსებობა.
- ვინირების შემდეგ უმჯობესდება პირის ღრუს ბაქტერიული სტატუსი.

კლინიკური მაგალითები

1) 25 წლის პაციენტი, ქაა, უჩივის 11, 12 კბილების არაესთეტიკურ იერსახეს. 11 კბილი წარსულში გადატანილი ტრაგმის გამო გამოწეულია კბილთა მწერივიდან. პაციენტის მოთხოვნით ჩატარდა 11, 12 კბილების რესტავრაცია – ვინირება.



2) 19 წლის, მარი, უზივის 12, 11, 21, 22 კბილების არაესთეტიურ იერსახეს. ობიექტური დათვალიერებით აღინიშნება კბილთა მწკრივის ანომალია 11, 21 კბილების მიდამოში, ასევე ბლეკის კლასიფიკაციით III და IV კლასის კარიესული დაზიანებანი. პაციენტის მოთხოვნით ჩატარდა როგორც კარიესული დრუების პრეპარირება, ასევე 12, 11, 21, 22 კბილების ვინირება.



3) 32 შლის თამუნა. უზივის 21 კბილის ფერის ცვლილებას. ობიექტური დათვალიერებით აღინიშნება 21 კბილი ფერშეცვლილი გვირგვინით(წარსულში არასრულფასოვნად შესრულებული ენდოდონტიური მკურნალობის შედეგი). პაციენტს ჩაუტარდა 21 კბილის ვინირება.



4) 35 წლის პაციენტმა, ნატაშა მოგვმართა 11, 21 კბილებზე არსებული ძველი ვინირების შეცვლის თხოვნით. ანამნეზით გაირკვა, რომ ვინირება პაციენტს გაკეთებული ჰქონდა 5 წლის წინ. ჩატარდა 11, 21 კბილების განმეორებითი ვინირება.



თავი IV.

განხილვა

უკანასკნელ წლებში, იმასთან დაკავშირებით, რომ პაციენტთა ესთეტიკური მოთხოვნები განუხრელად იზრდება, სტომატოლოგიაში ფართო გავრცელება პპოვა ვინირებამ. ესთეტიკური სტომატოლოგიური მკურნალობისათვის ექიმს მიმართავს ევროპის მოზრდილი მოსახლეობის 50% [67,123].

კბილების რესტავრაცია ვესტიბულარული კერამიკული ვინირებით წარმოადგენს კბილის აღდგენის დამზოგველ მეთოდიკას, რომელიც ეფექტურია ხანგრძლივი დროის განმავლობაში [192, 35, 224], თუმცა ზოგჯერ ვინირი შეიძლება გახდეს პირის ღრუში პათოლოგიური პროცესის მიზეზი [137, 206].

აშშ-ში ყოველწლიურად 290 მილიონი რესტავრაციიდან 200 მილიონი წარმოადგენს წარუმატებელი რესტავრაციის შეცვლას, რაც გვიჩვენებს, რომ არსებული მკურნალობის რეჟიმები მოითხოვენ ოპტიმიზაციას, რისთვისაც საჭიროა შესწავლილ იქნას ვინირების გართულებათა კლინიკურ-ბიოლოგიური მახასიათებლები [178].

ვინირის სიცოცხლის ხანგრძლივობა დამოკიდებულია როგორც სტომატოლოგის კვალიფიკაციაზე, ისე პირის ღრუს ინიციალურ მახასიათებლებზე [62].

ვინირების ტექნიკურ გართულებებს მიეცუთვნებან ფერის შეცვლა, რეაქურენტული კარიესი, კიდოვანი დეფექტები, ვინირის მორფევა, ნაპრალები, აცლა და მოტეხვა [169].

დღეისათვის სათანადოდ არ არის შესწავილი ვინირების გართულებათა კავშირი პირის ღრუს ინიციალურ მახასიათებლებთან, ვინირების გამოსავლის დამოკიდებულება ორგანიზმის ზოგად მდგომარეობასთან, კვების ტიპთან, სოციალურ, ბიოლოგიურ ფაქტორებთან და მავნე ჩვევებთან.

არასათნადოდ არის გამოკვლეული პირის ღრუს ლორწოვანი გარსის მიკრობიოლოგიური სტატუსი ვინირების შემდეგ.

ზემოთქმულიდან გამომდინარე, ჩვენი კვლევის მიზანი იყო პაროდონტის ქსოვილებზე ვინირების ზეგავლენის კლინიკურ-ბაქტეროლოგიური თავისებურებების შესწავლა.

ჩვენს მიერ გამოკვლეული 330 პაციენტიდან კბილის ესთეტიკური დეფექტები აღმოაჩნდა 121 (36,67%), მათგან 59% იყო ქალი, ხოლო 41% მამაკაცი. ვინირების საჭიროების მქონე პაციენტები ასაკის მიხედვით შემდეგნაირად განაწილდნენ: 20 წელზე ნაკლები 6, 20-40 წლის – 66, 41-60 – 46, 60 წელზე უფროსი – 3.

ვინირი ძირითადად გამოიყენება კბილის ფორმის და ფერის შესაცვლელად შემდეგ შემთხვევებში:

- კბილის ფერის შეცვლის დროს [83, 40, 42, 31, 139];
- ძველი ბჟენების არადამაკმაყოფიებელი ესთეტიკური გარეგნული სახის შემთხვევაში;
- მინანქარის დემინერალიზაციის, ეროზიის, მრავლობითი პიგმენტირებული ბზარების, ნეკროზის დროს [10];
- სოლისებური დეფექტების, მაგარი ქსოვილების პათოლოგიური ცვეთის დროს;
- კბილის ტრავმის, ღრძილების რეცესიის დროს [24];
- კბილის ფორმის, მდებარეობის შეცვლის დროს [4].

ჩვენს შემთვევაში ვინირების საჭიროება დაკავშირებული იყო შემდეგ ფაქტორებთან: კომპენსირებული კარიესი – 0.21 ვინირების საჭიროების შემთხვევაში და 0.39 ($p=0.0009$) ვინირების საჭიროების გარეშე, სუბკომპენსირებული კარიესი – შესაბამისად – 0.46 და 0.30 ($p=0.0023$), გინგიგიტი – 0.45 და 0.34($p=0.386$), ძველი ვინირის გართულებები – ბჟენის ნაწილობრივი ან პირდაპირი ატკენგა – 0.25 და 0.01 ($p=0.0000$), ბჟენის ფერის ცვლილება – 0.44 და 0.01 ($p=0.0000$), დემარკაციული ხაზის გაჩენა – 0.31 და 0.00($p=0.0000$), რეციდიული კარიესი – 0.27 და 0.01($p=0.0000$),

კბილის გარეგნული თვისებების შეცვლა შეიძლება გამოიწვიოს როგორც სტომატოლოგიურმა (ფლუოროზი, ემალის პიპოპლაზია, სოლისებური დეფექტი), ისე ორგანიზმის საერთო მდგომარეობამ (სისტემური დაავადებები, სისხლის, კუჭნაწლავის სისტემის დაავადებები, ქრონიკული ინფექციები) [37,49,131,51] და გარემო ფაქტორებმა, როგორებიცაა: შრომის მავნე პირობები, ზოგიერთი სამკურნალო პრეპარატის, ჩაის, ყავის მიღება [120, 175]. დადგენილია კავშირი სიგარეტის წევასა და კბილის მინანქრის ფერს შორის [164, 53]. კარიესის რისკი დაკავშირებულია გაზიარებული სასმელების მიღებასთან და ასაკთან [9, 7].

ჩვენი მონაცემებით, იმ პაციენტებს შორის, რომელთაც ესაჭიროებოდათ ვინირება, სარწმუნოდ მაღალი იყო შემდეგ ფაქტორთა სიხშირე: სიგარეტის წევა – შესაბამისდ, 0.69 და 0.56 ($p=0.0126$) კუჭ-ნაწლავის ტრაქტის პათოლოგიები-0.65 და 0.49 ($p=0.0047$), ფოკალური ინფექციის კერები-0.24 და 0.00 ($p=0.0000$), მექანიკური დაზიანება – 0.26 და 0.14 ($p=0.0045$), მედიკამენტების მიღება – 0.46 და 0.29 ($p=0.0012$), უპირატესად ნახშირწყლოვანი კვება – 0.89 და 0.74 ($p=.0010$), ტკბილეულის ხშირი მოხმარება – 0.83 და 0.72 ($p=0.0263$), ყავის ხშირი მოხმარება – 0.67 და 0.54 ($p=0.0176$), თანკბილვა – მეზიალური – 0.03 და 0.10 ($p=0.0348$),

დისტალური – 0.15 და 0.07 ($p=0.0247$), გინგივიტი – 0.14 და 0.01 ($p=0.0000$), დრმილის რეცესია – 0.15 და 0.00 ($p=0.0000$), პათოლოგიური მიკროფლორის გამოვლენა – 0.37 და 0.00 ($p=0.0000$), ბენზინის არსებობა – 0.48 და 0.03 ($p=0.0000$), ხოლო სარწმუნოდ მცირეა 20 წელზე უმცროსი ასაკი – შესაბამისად 0.04 და 0.11 ($p=0.0309$), პაროდონტოზი – 0.03 და 0.11 ($p=0.0139$).

ვინირების საჭიროების ფარდობით შანსს განსაზღვრავენ შემდეგი ფაქტორები: სიგარეტის წევა – OR=1.82 (95%CI=1.13-12.37); კუჭ-ნაწლავის ტრაქტის პათოლოგიები – OR=1.94 (95%CI=1.22-14.26); ფოკალური ინფექციის კერები – OR=65.57 (95%CI=8.80-76.22); მექანიკური დაზიანება – OR=2.23 (95%CI=1.27-58.95); მედიკამენტების მიღება – OR=2.14 (95%CI=1.34-24.56); უპირატესად ნახშირწყლოვანი კერები – OR=2.89 (95%CI=1.51-13.15); ტბილეულის ხშირი მოხმარება – OR=1.87 (95%CI=1.07-9.85); ყავის ხშირი მოხმარება – OR=1.75 (95%CI=10-12.51); დისტალური თანკბილვა – OR=2.26 (95%CI=1.09-181.68); სუბკომპენსირებული კარიესი – OR=(2.0495%CI=1.28-23.48); გინგივიტი OR=1.62 (95%CI=1.02-19.20);

ჩვენი მონაცემებით მექანიკური ვინირების გართულებებიდან ვინირების საჭიროების ფარდობით შანსს განსაზღვრავენ: ბჟენის ნაწილობრივი ან სრული ატაქტება – OR=34.12 (95%CI=7.98-52.11); ბჟენის ფერის ცვლილება – OR=80.67 (95%CI=19.15-509.48); დემარკაციული ხაზის გაჩენა – OR=95.23 (95%CI=12.86-714.61); რეციდიული კარიესი – OR=25.75 (95%CI=7.69-39.87); გინგივიტი – OR=11.22 (95%CI=3.22-68.99); პათოლოგიური მიკროფლორის გამოვლენა OR=123.16 (95%CI=16.68-726.40); – როგორც ლიტერატურიდან არის ცნობილი, რესტავრაციის დაზიანება დაკავშირებულია მის ზედაპირზე კარიოგენული ბაქტერიის *Streptococcus mutans*-ის კონცენტრაციის გაზრდასთან [146, 174, 180].

ვინირების გართულებები ასოცირდება პირის ლრჯს ინიციალურ მახასიათებლებთან [9].

კბილსა და კომპოზიტების გამყოფ ზედაპირებს შორის შეჭიდულობის დეგრადაცია დაკავშირებულია ფორების გაჩენასთან და ხელს უწყობს ბაქტერიული ფერმენტების და ნერწყვის შეღწევას [73, 146, 168, 187, 61, 86]. კომპოზიციური რესტავრაციის სიციცხლის ხანგრძლივობა ორჯერ ნაკლებია კარიესის რისკის მქონე პირებში [22].

როგორც ჩვენმა კვლევამ აჩვენა, ბჟენის ნაწილობრივ ან პირდაპირი ატაქტებასთან სარწმუნო დადებით კორელაციას ამჟღავნებს შემდეგი ფაქტორები: ენდოკრინული დაავადებები – $r=0.2215$; $p<0.0762$; ჯვარედინი თანკბილვა – $r=0.2543$;

$p<0.0409$; დეკომპენსირებული კარიესი – $r=0.3189$; $p<0.0096$; პათოლოგიური მიკროფლორის გამოვლენა – $r=0.2879$; $p<0.0200$; ვინირების საჭიროება $r=0.2221$; $p<0.0754$; ხოლო უარყოფითს – ფლოსის გამოყენება – $r=-0.2425$; $p<0.0516$; დისტალური თანკბილგა – $r=-0.2818$; $p<0.0227$ კომპენსირებული კარიესი – $r=-0.2971$; $p<0.0154$

კლინიკური კვლევები აჩვენებს, რომ ცუდი შეჭიდულობა რესტავრაციასა და კბილს შორის იწვევს ფორების გაჩენას, რაც ხელს უშლის მარგინალურ ადაპტაციას და იწვევს მარგინალურ ფერის შეცვლას[119].

წვენი მონაცემებით ბჟენის ფერის ცვლილებასთან სარწმუნო დადებით კორელაციას ამჟღავნებს შემდეგი ფაქტორები: პაციენტის ასაკი 41-60 – $r=0.3877$; $p<0.0014$; ფოკალური ინფექციის კერები – $r=0.2599$; $p<0.0366$; ყავის ხშირი მოხმარება – $r=0.2819$; $p<0.0229$; გინგივიტი – $r=0.2444$; $p<0.0498$; დემარკაციული ხაზის გაჩენა – $r=0.4332$; $p<0.0003$; რეციდიული კარიესი – $r=0.4254$; $p<0.0004$; ღრძილის რეცესია – $r=0.3118$; $p<0.0115$; პათოლოგიური მიკროფლორის გამოვლენა – $r=0.2781$; – $p<0.0249$; ვინირების საჭიროება – $r=0.5423$; $p<0.0000$; ხოლო უარყოფითს – პაციენტის ასაკი 20-40 – $r=-0.3802$; $p<0.0018$; კომპენსირებული კარიესი – $r=-0.3448$; $p<0.0049$ /

დემარკაციული ხაზის გაჩენასთან სარწმუნო დადებით კორელაციას ამჟღავნებს შემდეგი ფაქტორები: გულ-სისხლძარღვთა დაგვადებები – $r=0.2702$; $p<0.0295$; მექანიკური ტრაჭმა – $r=0.3479$; $p<0.0045$; სინთეზური სითხეების გამოყენება – $r=0.3823$; $p<0.0017$; რეციდიული კარიესი – $r=0.2993$; $p<0.0154$; ღრძილის რეცესია – $r=0.3229$; $p<0.0087$.

ლიტერატურის მიხედვით რეციდიული კარიესი დაკავშირებულია როგორც პირის ღრუში განვითარებულ ფიზიკურ-ქიმიურ ფაქტორებთან, ისე მექანიკურ ზემოქმედებასთან [44, 117, 124, 127, 178, 75].

წვენი შედეგებით ძველი ვინირების შემდეგ რეციდიულ კარიესთან სარწმუნო დადებით კორელაციას ამჟღავნებს შემდეგი ფაქტორები:

კუჭ-ნაწლავის ტრაქტის პათოლოგიები – $r=0.2924$; $p<0.0181$; ფოკალური ინფექციის კერები – $r=0.2756$; $p<0.0263$; უპირატესად ნახშირწყლოვანი კვება – $r=0.2324$; – $p<0.0625$; დეკომპენსირებული კარიესი – $r=0.2583$; $p=0.0377$; ბჟენის ფერის ცვლილება – $r=0.4254$; $p<0.0004$; დემარკაციული ხაზის გაჩენა – $r=0.2993$; $p<0.0154$.

გინგივიტთან სარწმუნო დადებით კორელაციას ამჟღავნებს შემდეგი ფაქტორები: მედიკამენტების მიღება – $r=0.2389$; $p<0.0553$; გინგივიტი ვინირებამდე – $r=0.7199$; $p<0.0000$.

პაროდონტიტითან სარწმუნო დადებით კორელაციას ამჟღავნებს: სინთეზური სითხეების გამოყენება – $r=0.2667$; $p<0.0318$;

დროილის რეცესიასთან სარწმუნო დადებით კორელაციას ამჟღავნებს შემდეგი ფაქტორები: ფოკალური ინფექციის კერები $r=0.2701$; $p<0.0296$; PMA ინდექსი – $r=-0.2618$; $p<0.0351$; ბჟენის ფერის ცვლილება – $r=0.3118$; $p<0.0115$; დემარკაციული ხაზის გაჩენა – $r=0.3229$; $p<0.0087$; პირდაპირი თნკბილვა – $r=0.2667$, $p<0.0318$; უარყოფითს – 20-40წლის ასაკი – $r=-0.3306$; $p<0.0071$.

მიკრობული აგენტების ინფილტრაცია კბილსა და კომპოზიტებს შორის იწვევს რეკურენტულ კარიესს, ჰიპერმგრძობელობას და პულპის ანთებას [75, 8, 18]. პათოლოგიური მიკროფლორის გამოვლენასთან სარწმუნო დადებით კორელაციას ამჟღავნებს შემდეგი ფაქტორები; მამრობითი სქესი – $r=0.2772$; $p<0.0254$; სიგარეტის წევა – $r=0.3227$; $p<0.0087$; კუჭ-ნაწლავის ტრაქტის პათოლოგიები – $r=0.2365$; $p<0.0579$; ქნდოკრინული დაავადებები – $r=0.2546$; $p<0.0407$; ფოკალური ინფექციის კერები – $r=0.5416$; $p<0.0000$; დეკომპენსირებული კარიესი – $r=0.2530$; $p<0.0420$; გინგივიტი – $r=0.4551$; $p<0.0001$; ჰიგიენური ინდექსი – $r=0.4611$; $p<0.0001$; პაროდონტული ინდექსი – $r=0.4611$; $p<0.0001$; PMA ინდექსი – $r=0.3529$; $p<0.0039$; ბჟენის ნაწილობრივი ან პირდაპირი ატკეჩვა – $r=0.2879$; $p<0.0200$; ბჟენის ფერის ცვლილება – $r=0.2781$; $p<0.0249$; ვინირების საჭიროება – $r=0.4394$; $p<0.0002$; უარყოფითს – ფლოსის გამოყენება – $r=-0.2823$; $p<0.0227$; ორთოგნათიული თანკბილვა – $r=-0.3958$; $p<0.0011$ კომპენსირებული კარიესი – $r=0.2881$; $p<0.0199$.

პირის დრუს დაავადებები ვითარდებიან ადგილობრივი მიკროფლორის დისბალანსის შედეგად, რაც იწვევს პოტენციურად პათოგენური ბაქტერიების გავრცელებას. პირის დრუს ეკოსისტემის დარღვევა შეიძლება გამოიწვიოს როგორც ადგილობრივმა, ისე გარემო ფაქტორებმა.

პირის დრუს ლორწოვანი გარსის მიკრობიოლოგიური სტატუსის შესწავლამ ვინირებამდე და ვინირების შემდეგ გვიჩვენა, რომ იმ პაციენტთა შორის, რომელთაც ესაჭიროებოდათ ვინირება, ვინირებამდე მიკრობი ამოეთესა 49 ($0,75 \pm 0,447$) პაციენტს, მათგან ასოციაციები დაფიქსირდა 15 შემთხვევაში, სახელდობრ – *Candida albicans* + *Streptococcus mutans* – 3 შემთხვევა, *Streptococcus mutans* + *Stenotrophomonas maltophilia* – 3 , *Streptococcus sanguinis* + *Streptococcus mutans* – 4 , *Streptococcus mutans* + *Stenotrophomonas maltophilia* – 1 , *Stenotrophomonas maltophilia* + *Porphyromonas gingivalis* – 1 , *Streptococcus sanguinis* + *Prevotella intermedia* – 1 , *Streptococcus mutans* + *Porphyromonas gingivalis* – 1 , *Streptococcus salivarius* + *Streptococcus mutans* – 1 შემთხვევა.

პირის ღრუს ბაქტერიული კონტამინაცია დამოკიდებულია პაციენტის ცხოვრების წესზე. პაციენტთა იმ ჯგუფში, რომელთაც ამოეთესათ მიკრობი, სარწმუნოდ მაღალია უპირატესად ნახშირწყლოვანი კვების ტიპი, ტკბილეულის ჭარბი მიღება და პირდაპირი თანკბილვა.

ამ ჯგუფში სარწმუნოდ მაღალია დეკომპენსირებული კარიესი, ბუნის ფერის ცვლილება, სარწმუნოდ უფრო ხშირად ვითარდება რეციდიული კარიესი.

ლიტერატურის მიხედვით მიკრობულ კოლონიზაციაში 70%-ზე მეტი სტრეპტოკოკებია [79]. ჩვენს შემთხვევაში მიკრობთა შორის პრევალირებდა სტრეპტოკოკის ჯგუფის მიკრობები – 77%, ხოლო სოკოებიდან უველაზე ხშირად გვხვდება *Candida albicans*.[132], ჩვენი მასალის მიხედვით *Candida albicans* დაფიქსირდა – 18,4%. კბილის ნადების მიკრობული ფლორა არ არის მუდმივი როგორც რაოდენობრივად, ისე სარისხობრივად. როგორც ჩვენმა კვლევამ გვიჩვენა, ვინირების შემდეგ სარწმუნოდ შემცირდა ზოგადად ბაქტერიული კონტამინაციის სიხშირე. აღსანიშნავია *Streptococcus mutans*-ის ($p<0.002$), *Streptococcus sanguinis*-ის ($p=0.0009$), *Stenotrophomonas maltophilia*-ს ($p<0.0455$) და *Porphyromonas gingivalis*-ის ($p<0.0455$) სიხშირის სარწმუნო შემცირება.

აზრთა სხვადასხვაობაა პირის ღრუს სტომატოლოგიურ სტატუსზე პირდაპირი ვინირების მოქმედების შესახებ. [132]-ის მონაცემებით ნამკურნალევ და ინტაქტურ უბნებს შორის შედარებამ აჩვენა, რომ ნადების და გინგივიტის ინდექსები სარწმუნოდ მაღალი იყო დამუშავებული კბილებისათვის ($\text{შესაბამისად } P<0.029; \text{ } P<0.05$), ხოლო [169]-ის მიხედვით გინგივიტის და სისხლდენის ინდექსებს შორის ვინირებამდე და ვინირების შემდეგ სარწმუნო განსხვავება არ აღმოჩნდა.

ლიტერატურის მიხედვით, სასურველია ვინირის ხანგრძლივობა არ აღემატებოდეს 10 წელს [97].

ჩვენი მონაცემებით პირის ღრუს მიკრობულ კონტამინაციაზე გავლენას ახდენს ძველი ვინირის არსებობა, იმ პაციენტებს შორის, ვისაც პქონდა ძველი ვინირი, სარწმუნოდ მომატებული იყო ბაქტერიული კონტამინაციის სიხშირე (0.93 და 0.65 , $p=0.0078$). ძველი ვინირის არსებობასთან სარწმუნო დადებით კორელაციას ამჟღავნებს *Streptococcus mitis*, *Porphyromonas gingivalis* და *Klebsiella pneumoniae*.

ვინირებამდე *Streptococcus mitis* სარწმუნო დადებით კორელაციას ამჟღავნებს ჰიგიენურ და პაროდონტულ ინდექსებთან.

ბაქტერიული კონტამინაცია დამოკიდებულია პაციენტის ინიციალურ მახასიათებლებთან.

ბაქტერიული კონტამინაციის ჯგუფში სარწმუნოდ მაღალია შემდგი ფაქტორების სიხშირე: უპირატესად ნახშირწყლოვანი კვების ტიპი – მიკრობული კონტამინაციის შემთხვევაში 0,31, მიკრობული კონტამინაციის გარეშე 0,59, $p<0.0500$, ტკბილეულის ხშირი მოხმარება, შესაბამისად 0,25 და 0,55, $p<0.0368$, დეკომპენსირებული კარიესი – შესაბამისად 0,06 და 0,31, $p<0.0500$. სარწმუნოდ ნაკლებია პირდაპირი თანკბილვა – 0,38 და 0,14, $p<0.0446$. რეციდიული კარიესი დაფიქსირდა მხოლოდ მიკრობული კონტამინაციის ჯგუფში.

ბაქტერიული კონტამინაცია ვინირების შემდეგ სარწმუნო დადებით კორელაციას ამჟღავნებს შემდეგ ფაქტორებთან: ასაკი 41-60 წელი $r=0.3513$; $p<0.0041$, სიგარეტის წევა- $r=0.2544$; $p<0.0409$, ფოკალური ინფექციის კერები- $r=0.3083$, $p<0.0125$, ხოლო უარყოფითს ასაკი 20-40 – $r=-0.2546$; $p<0.0407$;

ბაქტერიული კონტამინაცია ვინირებამდე სარწმუნო დადებით კორელაციას ამჟღავნებს შემდეგ ფაქტორებთან: ტკბილეულის ჭარბი მიღება – $r=0.2596$; $p<0.0368$, დეკომპენსირებული კარიესი – $r=0.2436$; $p<0.050$, რეციდიული კარიესი $r=0.4087$; $p<0.0007$, ბენზინის ფერის ცვლილება – $r=0.2596$; $p<0.0368$, დემარკაციული ხაზის გაჩენა – $r=-0.0264$; $p<0.0007$, პათოლოგიური მიკროფლორის გამოვლენა – $r=0.3049$; $p<0.0135$, ვინირის არსებობა – $r=0.3528$; $p<0.0039$;

Streptococcus mutans სარწმუნო დადებით კორელაციას ამჟღავნებს შემდეგ ფაქტორებთან: კუჭ-ნაწლავის ტრაქტის პათოლოგიები: $r=0.2495$; $p<0.0450$, ბენზინის ფერის ცვლილება: $r=0.4887$; $p<0.0000$, დემარკაციული ხაზის გაჩენა – $r=0.4887$; $p<0.0000$, რეციდიული კარიესი – $r=0.7252$; $p<0.0000$, პაროდონტიტი – $r=0.4458$, $p<0.0002$, ბაქტერიული კონტამინაცია ვინირებამდე – $r=0.4087$; $p<0.0007$;

Streptococcus sanguinis სარწმუნო დადებით კორელაციას ამჟღავნებს შემდეგ ფაქტორებთან: მდედრობითი სქესი – $r=0.2725$; $p<0.0281$, ასაკი 20-40 წელი – $r=0.2532$, $p<0.0418$, ასაკი 41-60 – $r=-0.0819$; $p<0.0060$, მავნე საწარმოო ფაქტორების მოქმედება – $r=0.2770$; $p<0.0255$, კუჭ-ნაწლავის ტრაქტის პათოლოგიები – $r=0.2579$; $p<0.0381$, რეციდიული კარიესი – $r=0.2841$; $p<0.0218$;

Streptococcus mitis სარწმუნო დადებით კორელაციას ამჟღავნებს შემდეგ ფაქტორებთან: სუბკომპენსირებული კარიესი – $r=0.2451$; $p>0.0491$, ძველი ვინირის არსებობა – $r=0.2529$; $p>0.0421$.

Porphyrimonas gingivalis სარწმუნო დადებით კორელაციას ამჟღავნებს შემდეგ ფაქტორებთან: ასაკი >60 წ. – $r=0,3251$; $p<0,0082$, უპირატესად ცილოვანი კვება – $r=0,2522$, $p<0,0427$, უპირატესად ტებილულით კვება – $r=0,2682$; $p<0,0308$, სპეციალური დიეტის დაცვა- $r=0,2577$; $p<0,0382$, ღრმა თანკბილვა – $r=0,2995$, $p<0,0154$, ბჟენის ნაწილობრივი ან პირდაპირი ატკეჩვა- $r=0,2707$; $p<0,0292$, ბჟენის ფერის ცვლილება- $r=0,2682$, $p<0,0308$, პაროდონტიტი- $r=0,5818$; $p<0,0000$, ძველი ვინირის არსებობა- $r=0,2944$; $p<0,0173$;

Escherichia coli სარწმუნო დადებით კორელაციას ამჟღავნებს შემდეგ ფაქტორებთან: ალკოჰოლიზმი – $r=0,2627$; $p<0,0345$; ჯვარედინი თანკბილვა- $r=0,3118$; $p<0,0115$;

Prevotella intermedia სარწმუნო დადებით კორელაციას ამჟღავნებს შემდეგ ფაქტორებთან: ღია თანკბილვა – $r=0,4841$, $p<0,0000$, პაროდონტიტი – $r=0,3744$; $p<0,0021$, ბჟენის ნაწილობრივი ან პირდაპირი ატკეჩვა – $r=0,2879$; $p<0,0200$, გინგივიტი – $r=0,3401$; $p<0,0056$,

Actinomyces israeli სარწმუნო დადებით კორელაციას ამჟღავნებს შემდეგ ფაქტორებთან: ჯვარედინი თანკბილვა – $r=0,5487$; $p<0,0000$, სუბკომპენსირებული კარიესი – $r=0,2451$; $p<0,0491$;

Actinobacillus actinomycetemcominus სარწმუნო დადებით კორელაციას ამჟღავნებს შემდეგ ფაქტორებთან: ღია თანკბილვა – $r=0,7016$; $p<0,0000$, პაროდონტიტი – $r=0,2627$; $p<0,0345$ პირის ღრუს ლორწოვანი გარსის დაავადება – $r=0,4330$; $p<0,0003$;

Stenotrophomonas maltophilia სარწმუნო დადებით კორელაციას ამჟღავნებს შემდეგ ფაქტორებთან: ღრმა თანკბილვა – $r=0,4481$; $p<0,0002$, სუბკომპენსირებული კარიესი – $r=0,2853$, $p<0,0212$, ბჟენის ფერის ცვლილება – $r=0,2682$; $p<0,0308$, დემარკაციული ხაზის გაჩენა – $r=0,2682$; $p<0,0308$, რეციდიული კარიესი – $r=0,3580$; $p<0,0034$, გინგივიტი – $r=0,4887$; $p<0,0000$, ძველი ვინირის არსებობა – $r=0,2944$; $p<0,0173$;

Candida albicans სარწმუნო დადებით კორელაციას ამჟღავნებს შემდეგ ფაქტორებთან: საცხოვრებელი გარემოს მავნე ეპოლოგიური ფაქტორები – $r=0,5487$; $p<0,0000$, პაროდონტიტი – $r=0,3338$; $p<0,0066$;

Klebsiela pneumoniae სარწმუნო დადებით კორელაციას ამჟღავნებს შემდეგ ფაქტორებთან: ენდოკრინული დაავადებები – $r=0,3849$; $p<0,0015$, სპეციალური

დიეტის დაცვა – $r=0,3423$; $p<0,0053$, კომპენსირებული გარიესი – $r=0,4399$, $p<0,0002$, ძველი ვინირის არსებობა – $r=0,2529$; $p<0,0421$.

პაროდონტული ინდექსი კორელაციას ამჟღავნებს PMA ინდექსთან – $r=0,3026$, $p<0,0159$ და ჰიგიენური ინდექსთან $r=0,7052$; $p<0000$.

ჰიგიენური ინდექსი დაკავშირებულია PMA ინდექსთან $r=0,2764$; $p<0,0271$.

Streptococcus mitis სარწმუნო დადებით კორელაციას ამჟღავნებს ჰიგიენურ – $r=0,2956$; $p<0,0177$ და პაროდონტულ ინდექსებთან $r=0,2449$; $p<0,0531$.

ძველი ვინირის არსებობა სარწმუნო დადებით კორელაციას ამჟღავნებს შემდეგ ფაქტორებთან: – streptococcus mitis – $r=0,2529$; $p<0,0421$, porphyromonas gingivalis – $=0,2944$; $p<0,017$ stenotrophomonas maltophilia – $r=0,2944$; $p<0,0173$, klebsiella pneumoniae – $r=0,2529$; $p<0,0421$

ამრიგად, პირის დრუს ბაქტერიული სტატუსი ვინირებამდე და ვინირების შემდეგ დაკავშირებულია ორგანიზმისა და პირის დუს ზოგად მდგომარეობასთან და უმჯობესდება ვინირების შემდეგ.

გეურნალობის სქემა

ანგეტა კითხვარი

ვიზორგის საჭიროების ბანსაზღვა

რისკის ვარტორების შეფასება

პირის ღრუს ბარტოლოული სტატუსის ბანსაზღვრა

**პირის ღრუს სანაცია, რისკის ვარტორების
კრიზენია**

ვიზორება

გონიფრონბი

**დასკვნები და
პრაქტიკული რეკომენდაციები**

დასკვნები

1. გამოკვლეულ კონტინგენტში ვინირების საჭიროება აღენიშნება გამოკვლეულ პირთა 36,7%-ს, მათ შორის სუბკომპენსირებული კარიესი – 46%, რეციდიული კარიესი – 27%-ს, ძველი ვინირის გართულებები – ბუნის ნაწილობრივი ან პირდაპირი ატკეზვა – 25%-ს, ბუნის ფერის ცვლილება – 0.44%-ს, დემარკაციული ხაზის გაჩენა – 31%-ს.
2. კბილის ესთეტიკური დაფაქტების რისკ ფაქტორებს წარმოადგენენ და ვინირების საჭიროების ფარდობით შანსს განსაზღვრავენ შემდეგი ფაქტორები: სიგარეტის წევა, კუჭ-ნაწლავის ტრაქტის პათოლოგიები; ფოკალური ინფექციის კერები; მექანიკური დაზიანება, მედიკამენტების მიღება; უპირატესად ნახშირწყლოვანი კვება; ტკბილეულის ხშირი მოხმარება; ყავის ხშირი მოხმარება; დისტალური თანკბილვა; გინგივიტი; პათოლოგიური მიკროფლორის გამოვლენა.
3. PMA ინდექსი – სარწმუნო დადებით კორელაციას ამჟღავნებს დრმილის რეცესიასთან, პათოლოგიური მიკროფლორის გამოვლენასთან, ჰიგიენური ინდექსი და პაროდონტული ინდექსი – პათოლოგიური მიკროფლორის გამოვლენასთან
4. ძველი ვინირის არსებობა განსაზღვრავს PMA ინდექსის მომატებას; პირის ღრუში ძველი ვინირის არსებობასთან სარწმუნო დადებით კორელაციას ამჟღავნებს პირის ღრუს ბაქტერიული კონტამინაცია, *Streptococcus mitis* და *Candida Albicans*. ძველი ვინირების გართულებებიდან მაღალი სიხშირით გამოირჩევიან და განმეორებითი ვინირების საჭიროების ფარდობით შანსს განსაზღვრავენ: ბუნის ნაწილობრივი ან სრული ატკეზვა; ბუნის ფერის ცვლილება; დემარკაციული ხაზის გაჩენა; რეციდიული კარიესი; გინგივიტი.
5. ვინირების გართულებები კორელაციაშია პაციენტის ინიციალურ ფაქტორებთან. ბუნის ნაწილობრივ ან პირდაპირი ატკეზვასთან სარწმუნო დადებით კორელაციას ამჟღავნებს შემდეგი ფაქტორები: ენდოკრინული დაავადებები; ჯვარედინი თანკბილვა; დეკომპენსირებული კარიესი; პათოლოგიური მიკროფლორის გამოვლენა; ხოლო უარყოფითს – ფლოსის გამოყენება;

დისტალური თანკბილვა; კომპენსირებული კარიესი; ბჟენის ფერის ცვლილებასთან სარწმუნო დადებით კორელაციას ამჟღავნებს შემდეგი ფაქტორები: პაციენტის ასაკი 41-60; ფოკალური ინფექციის კერები; ყავის ხშირი მოხმარება; გინგიგიტი; დემარკაციული ხაზის გაჩენა; პათოლოგიური მიკროფლორის გამოვლენა; ხოლო უარყოფითს – პაციენტის ასაკი 20-40; კომპენსირებული კარიესი; რეციდიულ კარიესთან სარწმუნო დადებით კორელაციას ამჟღავნებს შემდეგი ფაქტორები: კუჭ-ნაწლავის ტრაქტის პათოლოგიები; ფოკალური ინფექციის კერები; უპირატესად ნახშირწყლოვანი კვება; დეკომპენსირებული კარიესი.

6. იმ პირებში, რომელთაც აღენიშნებათ მიკრობული კონტამინაცია, სარწმუნოდ მაღალია უპირატესად ნახშირწყლოვანი კვების ტიპი, ტკბილეულის ჭარბი მიღება და პირდაპირი თანკბილვა, დეკომპენსირებული კარიესი, სარწმუნოდ უფრო ხშირად ვითარდება ბჟენის ფერის ცვლილება და რეციდიული კარიესი.
7. ვინირების შემდეგ სარწმუნოდ მცირდება როგორც ზოგადად ბაქტერიული კონტამინაციის, ისე – *Streptococcus mutans*-ის, *Streptococcus sanguinis*-ის, *Stenotrophomonas maltophilia*-ს და *Porphyromonas gingivalis* -ის სიხშირე. ვინირებამდე *Streptococcus mitis* სარწმუნო დადებით კორელაციას ამჟღავნებს ჰიგიენურ და პაროდონტულ ინდექსებთან. *Candida albicans* – ჰიგიენურ და PMA ინდექსებთან, ვინირების შემდეგ *Streptococcus mitis* სარწმუნო დადებით კორელაციას ამჟღავნებს პაროდონტულ ინდექსთან, ხოლო *Gemella morbilliori* და *Candida albicans* ვი PMA ინდექსთან.

პრაქტიკული რეკომენდაციები

1. ვინირების საჭიროების თავიდან ასაცილებლად აუცილებელია დაავადების რისკის კონტინგენტის გამოვლენა და პროფილაქტიკური დონისძიებების ჩატარება.
2. ვინირების შემდგომ ყოველი კონკრეტული პაციენტისათვის რეკომენდებულია რისკის ფაქტორების დადგენა გართულების თავიდან აცილების მიზნით (პირის დრუს სანაცია, კუჭ-ნაწლავის ტრაქტის დაავადებათ გამოვლენა და მკურნალობა, ბაქტერიული სტატუსის განსაზღვრა და სხვ.).
3. რისკის ჯგუფებში ვინირების შემდგომ რეკომენდებულია პირის დრუს ინდექსების მონიტორინგი.
4. გართულებების რისკ ფაქტორების განსაზღვრა მოგვცემს ვინირების გართულებების პროგნოზის და მკურნალობის ოპტიმიზაციის საშუალებას.

გამოყენებული ლიტერატურა

1. About I, Murray PE, Franquin J-C, Remusat M, Smith AJ. Pulpal inflammation responses following non-carious class V restorations. *Oper Dent* 2001;26:336-342.
2. Al Shammery AR. Gingival response to veneering with light activated composite resin. *Egypt Dent J* 1986 Oct;32(4):361-72.
3. Alani AH, Toh CG. Detection of microleakage around dental restorations: a review. *Oper Dent* 1997; 22:173-85.
4. Almong D, Sanchez Marin C, Proskin HM. The effect of esthetic consultation methods on acceptance of diastema closure treatment plan: A pilot study. *J Am Dent Assoc* 2004;135(7):875-881.
5. Al-Sabbagh M, Andreana S, Ciancio SG. Dentinal hypersensitivity: review of aetiology, differential diagnosis, prevalence, and mechanism. *J Int Acad Periodontol* 2004; Jan;6(1):8-12.
6. American Dental Association. Principles of ethics and code of professional conduct, with official advisory opinions, revised to January. 2005. Chicago: ADA.
7. Anderson M. Risk assessment and epidemiology of dental caries: review of the literature. *Pediatr Dent* 2002 Sep-Oct;24(5):377-85.
8. Andersson-Wenckert IE, van Dijken JW, Kieri C. Durability of extensive class II open-sandwich restorations with a resin-modified glass ionomer cement after 6 years. *Am J Dent* 2004;17:43-50.
9. Anusavice KJ. Management of dental caries as a chronic infectious disease. *J Dent Educ* 1998;62:791-802.
10. Ardu S, Benbachir N, Stavridakis M, Dietschi D, Krejci I, Feilzer A. A combined chemo-mechanical approach for aesthetic management of superficial enamel defects. *Br Dent J* 2009 Feb 28;206(4):205-8.
11. Atsu SS, Aka PS, Kucukesmen HC, Kilicarslan MA, Atakan C. Age-related changes in tooth enamel as measured by electron microscopy: implications for porcelain laminate veneers. *J Prosthet Dent* 2005;94(4):336-341.
12. Ballieux RE. Impact of mental stress on the immune response. *J Clin Parodontol* 1991;18:427-30.
13. Bartolotti RL. Indirect veneers. *CDAJ* 1988;16:37-42.

14. Bassiouny MA, Yearwood LL. Establishing the gingival emergence profile of restorations by using a resilient gingival replica. *J Prosthet Dent* 1996; Oct;76(4):386-9.
15. Bönecker M, Toi C, Cleaton-Jones P. Mutans streptococci and lactobacilli in carious dentine before and after Atraumatic Restorative Treatment. *J Dent* 2000;31(6):423-8.
16. Bowden GHW. The Microbial Ecology of Dental Caries. *Microbial Ecology in Health and Disease* 2000; 12: 138-148.
17. Brambilla E, Gagliani M, Ionescu A, Fadini L, García-Godoy F. The influence of light-curing time on the bacterial colonization of resin composite surfaces. *Dent Mater* 2009;25(9):1067-72.
18. Breschi L, Mazzoni A, Ruggeri A, Cadenaro M, Di Lenarda R, De Stefano Dorigo E. Dental adhesion review: aging and stability of the bonded interface. *Dent Mater* 2008;24(1):90-101.
19. Brunton PA, Aminian A, Wilson NH. Tooth preparation techniques for porcelain laminate veneers. *Br Dent J* 2000;189(5):260-262.
20. Brunton PA, Richmond S, Wilson NH. Variations in the depth of preparations for porcelain laminate veneers. *Eur J Prosthodont Restor Dent* 1997;5(2):89-92.
21. Bruton PA, Aminian A, Wilson NH. Tooth preparation techniques for porcelain laminate veneers. *Br Dent J* 2000; 5: 260-262.
22. Burke FJ, Cheung SW, Mjör IA, Wilson NH. Reasons for the placement and replacement of restorations in vocational training practices. *Primary Dent Care* 1999; 6:17-20.
23. Cagidiaco MC, Ferrari M, Garberoglio R, Davidson CL. Dentin contamination protection after mechanical preparation for veneering *Am J Dent* 1996 Apr;9(2):57-60.
24. Calamia JR, Calamia CS. Porcelain laminate veneers: reasons for 25 years of success. *Dent Clin North Am* 2007 Apr;51(2):399-417.
25. California Dental Association. Quality Evaluation for Dental Care. Guidelines for the Assessment of Clinical Quality and Performance, ed 3. Sacramento. Calif: CDA, 1995.
26. Capa N. An alternative treatment approach to gingival recession: gingiva-colored partial porcelain veneers: a clinical report. *J Prosthet Dent* 2007 Aug;98(2):82-4.
27. Capehart K. Treating tetracycline staining in the adult dentition: a case report. *Gen Dent* 2008 May;56(3):286-9.

28. Carranza FA, Newman MG. Clinical periodontology. Philadelphia: WB. Saunders Co., 1996; 782.
29. Carvalho W, Barboza EP. The use of porcelain laminate veneers and a removable gingival prosthesis for a periodontally compromised patient. *Prosthet Dent* 2005 Apr;93(4):315-7.
30. Castelnuovo J, Tjan AH, Phillips K, Nicholls JI, Kois JC. Fracture load and mode of failure of ceramic veneers with different preparations. *J Prosthet Dent* 2000;83(2):171-180.
31. Cavanaugh RR, Croll TP. Bonded porcelain veneer masking of dark tetracycline dentinal stains. *Pract Periodontics Aesthet Dent* 1994;6(1):71-9.
32. Charles E Janus, John W. Unger, Al M. Best Survival Analysis of Complete Veneer Crowns vs. Multisurface Restorations: A Dental School Patient Population. *Dent Educ* 2006;70(10): 1098-1104.
33. Chen JH, Shi CX, Wang M, Zhao SJ, Wang H. Clinical evaluation of 546 tetracycline-stained teeth treated with porcelain laminate veneers. *J Dent* 2005 Jan;33(1):3-8.
34. Chen JH, Shi CX, Wang M, Zhao SJ, Wang H. Zhonghua Kou Qiang Yi Xue Za Zhi. Clinical evaluation of 546 tetracycline-stained teeth treated with Cerinate laminate veneers. 2007 Jun;42(6):337-9.
35. Chen YW, Raigrodski AJ. A conservative approach for treating young adult patients with porcelain laminate veneers. *J Esthet Restor Dent* 2008;20(4):223-36; discussion 237-8.
36. Cherukara GP, Davis GR, Seymour KG, Zou L, Samarawickrama DY. Dentin exposure in tooth preparations for porcelain veneers: a pilot study. *J Prosthet Dent* 2005;94(5):414-420.
37. Cherukara GP, Seymour KG, Zou L, Samarawickrama DY. Geographic distribution of porcelain veneer preparation depth with various clinical techniques. *J Prosthet Dent* 2003;89(6):544-550.
38. Chichoyan F, Vanheusden A. Bonded porcelain veneers Rev Belge Med Dent 2006;61(1):47-64.
39. Cho GC, Donovan T, Chee WL. Clinical experiences with bonded porcelain laminate veneers. *J Calif Dent Assoc* 1998;26(2),121-7.
40. Christensen GJ. Ceramic veneers: state of the art 1999. *JADA* 1999;130(7):1121-3.
41. Christensen GJ. Veneer mania. *JADA* 2006;137(8):1161-1163.
42. Christensen GJ. What is a veneer resolving the confusion. *JADA* 2004;135(11):1574-1576.

43. Chu FC. Clinical considerations in managing severe tooth discoloration with porcelain veneers. *J Am Dent Assoc* 2009 Apr;140(4):442-6.
44. Collins CJ, BR, Hodge KLV. A clinical evaluation of posterior composite resin restorations: 8-year findings. *J Dent* 1998;26:311-317.
45. Costello FW. Porcelain veneer adhesion systems. *Curr Opin Cosmet Dent* 1995;57-68.
46. Crispin BJ. The full veneer as an alternative to the full crown. *Curr Opin Cosmet Dent* 1997;4:6-10.
47. Croll TP. Dentistry .. we have a problem. *J Esthet Restor Dent* 2003;15(4):201-202.
48. David J Dabbs. Diagnostic immunohistochemistry. London 2002; 672 p.
49. Dawes CM. Velocity of the salivary film in the mouth. *J Dent Res* 1998;68:920-920.
50. Dumfahrt H, Schaffer H. Porcelain laminate veneers. A retrospective evaluation after 1 to 10 years of service: part II – clinical results. *Int J Prosthodont* 2000;13(1):9-18.
51. Dunne SM, Gainsford ID, Wilson NHF. Current materials and techniques for direct restorations in posterior teeth. Part 1: silver amalgam. *Int Dent J* 1997;47:123-136.
52. Fasbinder DJ. Clinical performance of chairside CAD/CAM restorations. *JADA* 2006;137(suppl):22S-31S.
53. Ferrari M, Patroni S, Balleri P. Measurement of enamel thickness in relation to reduction for etched laminate veneers. *Int J Periodontics Restorative Dent* 1992;12(5):407-41320.
54. Fradeani M, Redemagni M, Corrado M. Porcelain laminate veneers: 6- to 12-year clinical evaluation – a retrospective study. *Int J Periodontics Restorative Dent* 2005;25(1):9-17.
55. Fradeani M, Redemagni M, Corrado M. Porcelain laminate veneers: 6- to 12-year clinical evaluation – a retrospective study. *Dent Mater* 2008 May;24(5):667-73. Epub 2007 Aug 28.
56. Frederick CS. Clinical Considerations in Managing Severe Tooth Discoloration with Porcelain Veneers. *J Am Dent Assoc* 2009;140(4):442-446.
57. Freeman R, Gross S. Stress measures as predictors of periodontal disease – a preliminary communication. *Community Dent Oral Epidemiol* 1993;21:176-7.
58. Friedman MJ. A 15-year review of porcelain veneer failure: a clinician's observations. *Compend Contin Educ Dent* 1998;19(6):625-8, 630, 632 p.

59. Friedman MJ. Porcelain veneer restorations: a clinician's opinion about a disturbing trend. *J. Esthet Restor. Dent* 2001;13(5):318-327.
60. Gallo JR 3rd, Bates ML, Burgess JO. Microleakage and adaptation of Class II packable resin-based composites using incremental or bulk filling techniques. *Am J Dent* 2000;13:205-208.
61. Gallo LM, Nickel JC, Iwasaki LR, Palla S. Stress-field translation in the healthy human temporomandibular joint. *J Dent Res* 2000;79(10): 1740-1746.
62. Garber DA. Porcelain laminate veneers: ten years later. Part I: tooth preparation. *J Esthetic Dent* 1993;5(2):56-62.
63. Garber DA. Rational tooth preparation for porcelain veneers. *Compendium* 1991;12(5):316, 318, 320 p.
64. Gawkrodger DJ. Investigation of reactions to dental materials. *Br J Dermatol* 2005 Sep;153(3):479-85.
65. Genco RJ. Current view of risk factors for periodontal diseases. *Periodontol* 1996; 67(10):1041-9.
66. Gladys S, Van Meerbeek B, Lambrechts P, Vanherle G. Microleakage of adhesive restorative materials. *Am J Dent* 2001; 14:170-76.
67. Greenstein G, Cavallaro J, Tarnow D. Practical application of anatomy for the dental implant surgeon. *J Periodontol* 2008; Oct;79(10):1833-46.
68. Grossi et al. Assessment of risk for periodontal disease. *J. periodontol.*-1994;65:260-267.
69. Gu JJ, Hu CZ, Wang B. The clinical observation of tetracycline stained teeth covered by composite resin veneer induced of secondary gingivitis. Shanghai kou qiang yi xue= Shanghai journal of stomatology 1995;4(1):28.
70. Gubarevskaia VL, Rybakova MG. The morfofunctional characteristics of the free cells and microvessels of the gingiva in inflammatory periodontal diseases. *Stomatologija Mosk* 1992; 1:27-29.
71. Haesman et al The periodontium and orthodontics in health and disease. Oxford: Oxford University Press. 1996; 349p.
72. Hahn P, Gustav M, Hellwig E. An in vitro assessment of the strength of porcelain veneers dependent on tooth preparation. *J Oral Rehabil* 2000;27(12):1024-1029.

73. Hansel C, Leyhausen G, Mai UE, Geurtsen W. Effects of various resin composite (co)monomers and extracts on two caries-associated micro-organisms in vitro. *J Dent Res* 1998;77:60-67.
74. Hardie TM, et al. Estimation of salivary streptococcus mutans and lactobacillus levels. *J Dent Res* 1998;67:644-644.
75. Hashimoto M, Ohno H, Kaga M, Endo K, Sano H, Oguchi H. Resin-tooth adhesive interfaces after long-term function. *Am J Dent* 2001;14(4):211-215.
76. Heymann HO, Kokich VG. Instant orthodontics: viable treatment option or "quick fix" cop-out. *J Esthet Restor Dent* 2002;14(5):263-264.
77. Hikita K, Van Meerbeek B, De Munck J, et al. Bonding effectiveness of adhesive luting agents to enamel and dentin. *Dent Mater* 2007;23(1):71-80.
78. Hornick B. Diet and nutrition implications for oral health. *J Dent Hyg* 2002; 76(1):67-78.
79. Ibarra G, Johnson GH, Geurtsen W, Vargas M. Microleakage of porcelain veneer restorations bonded to enamel and dentin with a new self-adhesive resin-based dental cement. *Dent Mater* 2007; 23:218-25.
80. International Statistical Classification of Diseases and Related Health Problems 10th Revision. 2010.
81. Jacobson N, Frank CA. The myth of instant orthodontics: an ethical quandary. *J Am Dent Assoc* 2008; 139(4):424-34.
82. Jiang T, Pan X, Wang Y. Clinical application of Targis veneers. 2001 Jun;19(3):171-3.
83. Jun SK, Wilson S. Restoration of severely discolored maxillary anterior teeth with porcelain laminate veneers. *Pract Proced Aesthet Dent* 2008 Jun;20(5):285-7.
84. Kampouropoulos D, Paximada C, Loukidis M, Kakaboura A. The influence of matrix type on the proximal contact in Class II resin composite restorations. *Oper Dent J* 2010;35(4):454-462.
85. Koczarski M. Smile makeover utilizing direct composite resin veneers. *Dent Today* 2008 Dec;27(12):76, 78-9.
86. Kohler B, Rasmusson CG, Odman P. A five-year clinical evaluation of Class II composite resin restorations. *J Dent* 2000;28(2):111-116.

87. Kois JC, McGowan S. Diagnostically generated anterior tooth preparation for adhesively retained porcelain restorations: rationale and technique. *J Calif Dent Assoc* 2004;32(2):161-166.
88. Kokich VG. Orthodontic and nonorthodontic root resorption: their impact on clinical dental practice. *J Dent Educ* 2008 Aug;72(8):895-902.
89. Kostić L, Trifunović D, Zelić O, Radosavljević B. Microbiological investigation of supragingival dental plaque in patients treated with porcelain jacket and gold veneered resin crowns. *Stomatol Glas Srb* 1989 Jan-Feb;36(1):49-56.
90. Kourkouta S, Walsh TT, Davis LG. The effect of porcelain laminate veneers on gingival health and bacterial plaque characteristics *J Clin Periodontol* 1994 Oct;21(9):638-40.
91. Krämer A, Netuschil L, Simonis A. *Dtsch Zahnärztl Z*. Plaque accumulation on various veneering resins – a clinical study 1990 Aug;45(8):482-4.
92. Kreulen CM, Creugers NH, Meijering AC. Meta-analysis of anterior veneer restorations in clinical studies. *J Dent* 1998;26(4):345-353.
93. Kumar PS, Griffen AL, Barton JA, Paster BJ, Moeschberger ML, Leys EJ. Microbiological profile of early onset/aggressive periodontitis patients. *Oral Microbiol* 2004;19:314-321.
94. Lafuente JD, Chaves A, Carmiol R. Bond strength of dual-cured resin cements to human teeth. *J Esthetic Dent* 2000;12(2):105-110.
95. Lambrechts P, Vanherle G. Porcelain veneers bonded to tooth structure: an ultra-morphological FE-SEM examination of the adhesive interface. *Dent Mater* 1999 Mar;15(2):105-19.
96. Larson TD. 25 years of veneering: what have we learned. *Northwest Dent* 2003 Jul-Aug;82(4):35-9.
97. Layton D, Walton T. An up to 16-year prospective study of 304 porcelain veneers. *Int J Prosthodont* 2007; 20(4):389-96.
98. Listgarten MA. Microbiological testing in the diagnosis of periodontal disease. *J Periodontol* 1992;63:332-7.
99. Liu HL, Lin CL, Sun MT, Chang YH. Numerical investigation of macro- and micro-mechanics of a ceramic veneer bonded with various cement thicknesses using the typical and submodeling finite element approaches. *J Dent* 2009 Feb;37(2):141-8. *Epub 2008*.

100. Lovegrove JM. Dental plaque revisited: bacteria associated with periodontal disease. *J Periodontol* 2004; (87):7-21.
101. Lowe E, Rego J, Rego N. Pract Proced Aesthet Dent. Minimally invasive dentistry combining orthodontic therapy and single-unit restoration 2008 Jun; 20(5):273-8; quiz 279.
102. MacFarlane TW, et al Clinical Oral Microbiology, London, Wright. 1999.
103. Magne P, Belser U. Bonded porcelain restorations in the anterior dentition: a biomimetic approach. Carol Stream, IL: Quintessence Publishing Co. 2002.
104. Magne P, Belser U. Novel porcelain laminate preparation approach driven by a diagnostic mock-up. *J Estet Rest Dent* 2004; 16(1):7-18.
105. Magne P, Douglas WH. Additive contour of porcelain veneers: a key element in enamel preservation, adhesion, and esthetics for aging dentition. *J Adhes Dent* 1999; 1(1):81-92.
106. Magne P, Douglas WH. Cumulative effects of successive restorative procedures on anterior crown flexure: intact versus veneered incisors. *Quintessence Int* 2000; 31(1):5-18.
107. Magne P. Immediate dentin sealing: a fundamental procedure for indirect bonded restorations. *J Esthet Restor Dent* 2005; 17(3):144-54.
108. Manson JD, Eley BM. Outline of periodontics. Oxford: Butterman-Heinemann Ltd. 1995; 303 p.
109. Marcenes WS, Sheiham A. The relationship between work stress and oral health status. *Soc Sci Med* 1992; 35:1511-20.
110. Martin Tyas. Lack of reliable clinical evidence for or against direct and indirect veneers. When patients' anterior teeth are stained, is direct or indirect veneer restoration most effective. *Evidence-Based Dentistry* 2004; 5, 43.
111. Márton IJ, Kiss C. Protective and destructive immune reactions in apical periodontitis. *Oral Microbiol Immunol* 2000; 15(3):139-50.
112. Maruyama T. Esthetic dentistry in the twenty-first century. Healthy beauty. *Dent Clin North Am* 1998 Oct; 42(4):695-711.
113. McLaughlin G. Porcelain Veneers. *Dent Clin North Am* 1998; 42(4):653-6.
114. Misra A, Spencer P, Marangos O, Wang Y, Katz JL. Micromechanical analysis of dentin/adhesive interface by the finite element method. *J Biomed Mater Res B Appl Biomater* 2004; 70(1):56-65.

115. Misra A, Spencer P, Marangos O, Wang Y, Katz JL. Parametric study of the effect of phase anisotropy on the micromechanical behaviour of dentin-adhesive interfaces. *J R Soc Interface* 2005;2(3):145-157.
116. Mizrahi Basil. Vizualization before finalization: a predictable procedure for porcelain laminate veneers. *PPAD* 2005;17(8).
117. Mjor IA, Dahl JE, Moorhead JE. Placement and replacement of restorations in primary teeth. *Acta Odontologica Scandinavica* 2002;60:25-28.
118. Muhlemann HR. Psychological and chemical mediators of gingival health. *Journal of Preventive Dentistry* 1977 July-August;4(4):6-16; ISSN 0096-2732.
119. Murray PE, Windsor LJ, Smyth TW, Hafez AA, Cox CF. Analysis of pulpal reactions to restorative procedures, materials, pulp capping, and future therapies. *Crit Rev Oral Biol Med* 2002;13(6):509-520.
120. Nahiae D, Vermeersch C, Verven J. Effect of a priming age of bond strength of indirect composite to dentin using cement systems. *European cells and materials* 2007;13:46.
121. Nancy Jacobson, DMD and Charles A. Frank, DMD, MS The Myth of Instant Orthodontics *J Am Dent Assoc* 2008; 139(4):424-434.
122. Nattress BR, Youngson CC, Patterson CJ, Martin DM, Ralph JP. An in vitro assessment of tooth preparation for porcelain veneer restorations. *J Dent* 1995;23(3):165-170.
123. Nixon RL. Mandibular ceramic veneers- an examination of complex cases. *Practical periodontics and aesthetic dentistry* 1995;7:17-28.
124. Nordbo H, LJ, von der Fehr FR. Saucer-shaped cavity preparations for posterior approximal resin composite restorations: Observations up to 10 years. *Quintessence Int* 1988;29(1):5-11.
125. Nový BB, Fuller CE. The material science of minimally invasive esthetic restorations. *Compend Contin Educ Dent* 2008 Jul-Aug;29(6):338-46; quiz 347.
126. Ohta H, et al Microbial interactions and the development of periodontal disease. *J periodontol Res* 1991; 26:255-257.
127. Owens BM, Johnson WW. Effect of insertion technique and adhesive system on microleakage of Class V resin composite restorations. *J Adhes Dent* 2005;7:303-308.
128. Padbury Jr A, Eber R, Wang H-L. Interactions between the gingiva and the margin of restorations. *J Clin Periodontal* 2003;30:379-385.

129. Paolantonio M, D'ercole S, Perinetti G, Tripodi D, Catamo G, Serra E, Bruè C, Piccolomini R. Clinical and microbiological effects of different restorative materials on the periodontal tissues adjacent to subgingival class V restorations. *J Clin Periodontol* 2004;31(3):200-7.
130. Park JG, Ye Q, Topp EM, Misra A, Spencer P. Water sorption and dynamic mechanical properties of dentin adhesives with a urethane-based multifunctional methacrylate monomer. *Dent Mater* 2009;25:1569-1575.
131. Park JG, Ye Q, Topp EM, Spencer P. Enzyme-catalyzed hydrolysis of dentin adhesives containing a new urethane-based trimethacrylate monomer. *J. Biomed. Mater Res Part B: Appl. Biomater* 2009;91B: 562-571.
132. Peumans M, De Munck J, Fieuws S, Lambrechts P, Vanherle G, Van Meerbeek B. A prospective ten-year clinical trial of porcelain veneers. *J Adhes Dent* 2004;6(1):65-76.
133. Peumans M, Van Meerbeek B, Lambrechts P, Vanherle G. Porcelain veneers: a review of the literature. *J Dent* 2000 Mar;28(3):163-77.
134. Peumans M, Van Meerbeek B, Lambrechts P, Vanherle G. The 5-year clinical performance of direct composite additions to correct tooth form and position. I. Esthetic qualities. *Clin Oral Investig* 1997 Feb;1(1):12-8.
135. Peumans M, Van Meerbeek B, Yoshida Y, Lambrechts P, Vanherle G. Porcelain veneers bonded to tooth structure: an ultra-morphological FE-SEM examination of the adhesive interface. *Dent Mater* 1999 Mar;15(2):105-19.
136. Priest G. Pract Proced Aesthet Dent. Proximal margin modifications for all-ceramic veneers 2004 May;16(4):265-72; quiz 273.
137. Prieto-Prieto J, Calvo A. Microbiological basis of oral infections and sensitivity to antibiotics. *Med Oral Patol Oral Cir Bucal* 2004;9 Suppl:15-8;11-4.
138. Price RB, Doyle G, Murphy D. Effects of composite thickness on the shear bond strength to dentin. *J Can Dent Assoc* 2000 Jan;66:35-39.
139. Ratnaweera PM, Fukagawa N, Tsubota Y, Fukushima S. Microtensile bond strength of porcelain laminate veneers bonded to fluorosed teeth. *J Prosthodont* 2009 Apr;18(3):205-10. Epub. 2008; Dec 29.
140. Reid JS, Kinane DF, Adonogianaki E. Gingival health associated with porcelain veneers on maxillary incisors. *Int J Paediatr Dent* 1991 Dec;1(3):137-41.

141. Ridell K, Olsson H, Mejare I. Unrestored dentin caries and deep dentin restorations in Swedish adolescents. *Caries Res* 2008;42(3):164-70.
142. Rinastiti M, Özcan M, Siswomihardjo W, Busscher HJ, van der Mei HC. Effect of Biofilm on the Repair Bond Strengths of Composites. *J Dent Res* 2010;89(12):1476-81.
143. Russel ALA. System of classification and scoring for prevalence surveys of periodontal disease. *J Dent Res* 1956;35:350-359.
144. Sadowsky SJ. An overview of treatment considerations for esthetic restorations: a review of the literature. *J Prosthet Dent* 2006; Dec;96(6):433-42.
145. Saha MK, Saha SG. Restoration of anterior teeth with direct composite veneers in Amelogenesis Imperfecta. *International Journal of Dental Clinics* 2011;3(2).
146. Santerre JP, Shajii L, Leung BW. Relation of dental composite formulations to their degradation and the release of hydrolyzed polymeric-resin-derived products. *Crit Rev Oral Biol Med* 2001;12:136-151.
147. Savage RR. Restorative treatment options for patients with severe orthodontic resorption. *Compend Contin Educ Dent* 2006 May;27(5):302-6; quiz 307, 316.
148. Schwartz JC. Vertical shoulder preparation design for porcelain laminate veneer restorations. *Pract Periodontics Aesthet Dent* 2000 Jun-Jul;12(5):517-24; quiz 526.
149. Setien VJ, Roshan S, Nelson PW. Clinical management of discolored teeth. *Gen Dent* 2008 May;56(3):294-300; quiz 301-4.
150. Seymour RA, Haesman PA. Tetracyclines in the management of periodontal diseases. A review. *J Clin Periodontol* 1995;b;22:22-35.
151. Seymour RA, Haesman PA. Drugs, diseases, and the periodontium. Oxford University Press, 1992; 204 p.
152. Shortall AC, Uctasli S, Maruis PM. Fracture resistance of anterior, posterior and universal light activated composite restoratives. *Oper Dent* 2001;26:87-96.
153. Simyth E, Thomas W, Murray L. Analysis of pulpal reactions to restorative procedures, materials, pulpcapping, and future therapies. *Critical Reviews in Oral Biology & Medicine* 2002;13(6):509-520.

154. Singh M, Papas A, Vollmer W, Bader J, Laws R, Maupome G, Snyder J, Blanchard P. Predictors of coronal caries progression in adults: results from the Prevention of Adult Caries Study. *Community Dent Oral Epidemiol* 2013; Jul 9. doi: 10.1111.
155. Singh V, Misra A, Marangos O, et al. Fatigue life prediction of dentin-adhesive interface using micromechanical stress analysis. *Dent Mater* 2011;27(9):e187-e195.
156. Sjögren G, Molin M, van Dijken JW. A 10-year prospective evaluation of CAD/CAM-manufactured (Cerec) ceramic inlays cemented with a chemically cured or dual-cured resin composite. *Int J Prosthodont* 2004;17(2):241-246.
157. Slots G. The bacterial etiology of destructive periodontal disease: current concepts. *J Periodontol* 1992;63, Suppl. 4:322-331.
158. Smales RJ, Etemadi S. Long-term survival of porcelain laminate veneers using two preparation designs: a retrospective study. *Int J Prosthodont* 2004;17(3):323-326.
159. Smales RJ, Hawthorne WS. Long-term survival and cost-effectiveness of five dental restorative materials used in various classes of cavity preparations. *Int Dent J* 1996; 46(3):126-30.
160. Small BW. Location of incisal edge position for esthetic restorative dentistry. *Gen. Dent* 2000;48(4):396-7.
161. Smill BW. Reconstruction using porcelain veneers. *J Dent Today* 2008 Apr;27(4):140-142.
162. Socransky S., Criteria for infectious agent in dental karies and periodontal disease. *J Clin Periodontol* 1999;6:16-21.
163. Socransky S. S., Haffajee A. D. Microbial mechanisms in the pathogenesis of destructive periodontal diseases: a critical assessment. *J Periodontol Res* 1991;26:195-212.
164. Soeno K, Matsumura PH, Atsuta PM, Kawasaki K. Effect of acidulated phosphate fluoride solution on veneering particulate filler composite. *Int J Prosthodont* 2001 Mar-Apr;14(2):127-32.
165. Spear FM. Interdisciplinary esthetic management of anterior gingival embrasures. *Adv Esthetics Interdisciplinary Dent* 2006;2(2): 20-28.
166. Spear FM. The esthetic correction of anterior mal-alignment conventional vs. instant (restorative) orthodontics. *J Calif Dent Assoc* 2004;32(2):133-141.

167. Spear FM. Treatment planning materials, tooth reduction and margin placement for anterior indirect esthetic restorations. *Adv Esthetics Interdisciplinary Dent* 2005;1(4):4-13.
168. Spencer P, Wang Y, Bohaty B. Interfacial chemistry of moisture-aged class II composite restorations. *J Biomed Mater Res B Appl Biomater* 2006;77(2):234-240.
169. Spencer P, Wang Y. Adhesive phase separation at the dentin interface under wet Bonding conditions. *J Biomed Mater Res* 2002;62(3):447-456.
170. Staninec M, Kim P, Marshall GW, Ritchie RO, Marshall SJ. Fatigue of dentin-composite interfaces with four-point bend. *Dent Mater* 2008;24(6):799-803.
171. Stas Y. Cantilevered restorations using CAD/CAM Cerec chairside technology: a case report. *Int J Comput Dent* 2008;11(2):131-8.
172. Stines SM. Treatment of hypomaturation-type amelogenesis imperfecta with indirect no-preparation resin veneers fabricated with CAD/CAM Cerec 3D, version 3.03. *Int J Comput Dent* 2008.
173. Strassler HE. Minimally invasive porcelain veneers: indications for a conservative esthetic dentistry treatment modality. *Gen Dent* 2007;55(7):686-694.
174. Sundell S. Hereditary amelogenesis imperfecta. I. Oral health in children. *Swed Dent J* 1986;10(4):151-63.
175. Svanberg M, Mjor IA, Orstavik D. Mutans Streptococci in plaque from margins of Amalgam composite, and glass-ionomer restorations. *J Dent Res* 1990;69(3):861-864.
176. Swift EJ Jr, Friedman MJ. Critical appraisal: porcelain veneer outcomes, part II. *J. Esthet Restor Dent* 2006;18(2):110-113.
177. Thomas MB, Greenhalgh CM, Addy L.'Double-veneers'--a novel approach to treating macrodontia. *Dent Update* 2008 Sep;35(7):479-80, 483-4.
178. Van Meerbeek B, Van Landuyt K, De Munck J, et al. Technique-sensitivity of contemporary adhesives. *Dent Mater J* 2005;24(1):1-13.
179. Van Meerbeek B, Van Landuyt K, De Munck J, et al. A Critical Review of the Durability of Adhesion to Tooth Tissue: Methods and Results. *J Dent Res February* 2005;84:118-132.
180. Van Nieuwenhuysen JP, D'Hoore W, Carvalho J, Qvist V. Long-term evaluation of extensive restorations in permanent teeth. *J Dent* 2003;31(6):395-405.

181. Wakiaga J, Brunton P, Silikas N, Glenny AM. Direct versus indirect veneer restorations for intrinsic dental stains. Cochrane Database Syst Rev 2004;(1):CD00434.
182. Walls AW, Murray JJ, McCabe JF. Composite laminate veneers: a clinical study. J Oral Rehabil 1988 Sep;15(5):439-54.
183. Walton T. Int J Prosthodont 2007; Jul-Aug;20(4):389-96.
184. Wang Y, Spencer P, Hager C, Bohaty B. Comparison of interfacial characteristics of adhesive bonding to superficial versus deep dentin using SEM and staining techniques. J Dent 2006;34:26-34.
185. Wang Y, Spencer P, Yao X, Brenda B. Effect of solvent content on resin hybridization in wet dentin bonding. J Biomed Mater Res A 2007;82(4): 975-983.
186. Wang Y, Spencer P. Hybridization efficiency of the adhesive dentin interface with wet bonding. J Dent Res 2003;82:141-145.
187. Wang Y, Spencer P. Interfacial chemistry of class II composite restoration: structure analysis. J Biomed Mater Res A 2005;75(3): 580-587.
188. Wat PY, Cheung GS, Kei LH. An improved preparation for indirect porcelain veneers. Dent Update 1993;20(2):72, 74-76.
189. Wiedhahn K, Kerschbaum T, Fasbinder DF. Clinical long-term results with 617 Cerec veneers: a nine-year report. J Dent 2005; Jan;33(1):3-8.
190. Williams et al. Pathology of periodontal disease. Oxford: Oxford University Press. 1992; p. 148.
191. Yamada N, Miyazawa K, Miwa H, Tabuchi M, Kondo T, Goto S. Application of direct laminate veneer for enamel protection during orthodontic treatment: an in vivo evaluation. J Dent Mater 2005; Dec;24(4):603-9.
192. Zitzmann N.U., Hagmann E., Weiger R. that is the prevalence of various types of prosthetic dental restorations in Europe. Lin Oral Implants Res 2007;18(suppl 3):20-33.
193. Барановский А. Л. Сухость полости рта. 2003.
194. Бокучава ЭГ. Методические подходы к оценке качества техники прямой эстетической реставрации зубов. Автореф. дисс. канд. мед. Наук. 2009.
195. Борисова ЕН. Индивидуальные факторы, способствующие развитию заболеваний пародонта у лиц пожилого и преклонного возраста. Стоматология для всех. 1999;4:36-37.

196. Борисова ЕН. Социальные и клинические аспекты заболеваний пародонта у людей пожилого возраста. Профилактика заболеваний и укрепление здоровья 2001;2:31-36.
197. Боровский ЕВ и соавт. Терапевтическая стоматология. М. “Медицина”. 1998.
198. Боровский ЕВ, Леонтьев ВК. Биология полости рта. М., Медицинская книга. 2001.
199. Власов ВВ. Введение в доказательную медицину. Медиа Сфера, Москва, 2001; 392 с.
200. Власов ВВ. Эпидемиология. ГЭОТАР-МЕД, Москва, 2005; 464 с.
201. Гайярт Г, Ренни Д. Путеводитель читателя медицинской литературы – Принципы клинической практики, основанной на доказанном. Издательство. Медия Сфера. М. 2003.
202. Гожая ЛД. Исакова ТГ. Аллергические заболевания в ортопедической стоматологии. 2005.
203. Григория Л. Морфологические особенности лечения хронического гингивита при “системной слабости соединительной ткани”. Автореферат дисс. 2006.
204. Григорьян АС, Фролова ОА, Иванова ЕВ. Морфогенез ранних стадии воспалительных заболеваний пародонта. Стоматология 2002;1:19.
205. Гринхальх Т. Основы доказательной медицины. ГЭОТАР-МЕД, Москва. 2004; 240 с.
206. Еремин ИВ. Сравнительная клинико-функциональная оценка методов прямой реставрации зубов. Дисс. канд. мед. наук. Пермь. 2008. 107 с.
207. Забросаева ЛИ, Козлов НБ. Биохимия слюны. Смоленск, 1992; 36 с.
208. Захаров ДЗ. Сравнительная характеристика композитных цементов для фиксации несъемных цельнокерамических конструкций. Автореф. дисс. канд. мед. наук. 2009.
209. Ивериели МВ, Абашидзе НО. Оральный кандидоз: этиология, патогенез, организация лечебной помощи . Клиническая стоматология 1999;2:52-56.
210. Каламкаров ХА. Патогенез и принципы лечения функциональной перегрузки продонта. Стоматология 1995;74(3):454-51.
211. Каливраджиян ЭС, Подопригора АВ, Калмыков ДЮ, Адамчик АлА. Оценка методов диагностики воспалительно-аллергических реакций слизистой оболочки полости рта при несъемном протезировании 2006;5(3):590-593.
212. Канканян АА, Леонтьев ВК. Болезни пародонта. Ереван. 1998.

213. Король МД. Изменения в регионарном кровоснабжении при различной степени вторичной деформации зубного ряда. Новое в стоматологии 1998;9:43.
214. Курякина НВ, Кутепова ТФ. Заболевания пародонта М. : Медицинская книга, Н. Новгород: Изд-во НГМА. 2000; 162с.
215. Логинова НК и соавт. Роль жевательной резинки в профилактике кариеса зубов и воспалительных заболеваний пародонта у школьников 9-12 лет. Стоматология 2003;4.
216. Луцкая ИК, Новак НВ, Запашник ТН, Кавецкий ВП. Инструкция МЗ РБ № 078-0906; Мин., 2007. 5с.
217. Луцкая ИК, Новак НВ, Чернявский ЮП. Инструкция МЗ РБ № 65-0502 от 30.12.2002. Мин., 2003. 21с.
218. Максимовский ЮМ и соавт. Терапевтическая стоматология. М. : Медицина. 2002.
219. Никитина ТБ. Пародонтоз. М. : Медицина. 1992.
220. Петри А, Сэбин К. Наглядная статистика в медицине (Пер. с англ.). Гоэтар-мед, Москва. 2003. 144 с.
221. Покровский ВИ, Позднеев ОК. Медицинская микро-биология. М. : Медицина. 1999.
222. Самойлов КО, Шкурупий ВА, Беликов ПП. Морфологическая оценка эффективности дезагрегационной терапии хронического катарального гингивита. Стоматология 1992.
223. Симонова КК, Мокренко ЕВ. Некоторые аспекты этиопатогенетического лечения воспалительных заболеваний пародонта. Сибирский медицинский журнал 2008;4.
224. Туати Б, Миара П, Нэтэнсон Д. Эстетическая стоматология и керамические реставрации. М. : Высшее образование и наука, 2004. 447 с.
225. Флетчер Р, Флетчер С, Вагнер Э. Клиническая эпидемиология: основы доказательной медицины. Медиа Сфера, Москва. 1998. 350 с.
226. აბაშიძე ნ. პირის ღრუს ლორწოვანი გარსის დავადებათა დიფერენციული დიაგნოსტიკისა და მკურნალობის მიკრობიოლოგიური და იმუნომორფო-ლოგიური ასპექტები. ავტორეფ.. მედ. მეცნ. დოქტ. 2005.
227. აბაშიძე ნ. ESTELITE SIGMA-ს გამოყენება რესტავრაციულ სტომატოლოგიაში. ჯო-ეს-ეთ ნიუსი. საქართველოს სტომატოლოგიური ახოციაცია. თბილისი, 2007.

228. გოგილაშვილი, ქ. ივერიელი მ. დეპომპენსირებული კარიესის გავრცელების სიხშირე ქართულ პოპულაციაში. თბილისის სახელმწიფო სამედიცინო უნივერსიტეტის სამეცნიერო ჟრომათა კრებული. თბილისი, 1998. ტ. 34, გვ. 87-89.
229. მამალაძე მ. ფოტოპოლიმერიზაციული კომპოზიციური მასალებით კბილთა დეფექტების აღდგენის შემდგომ გართულებათა და ფისურული კარიესის პროფილაქტიკის ძირითადი ასპექტები. ავტორებ. მედ. მეცნ. კანდ. 1998.

The Medical Faculty of Ivane Javakhishvili Tbilisi State University

Rusudan Ivanishvili

**THE EFFECT OF CLINICAL BACTERIOLOGICAL PECULIARITIES
OF PRIMARY VENEERS ON THE PERIODONTAL TISSUES**

General results of thesis research

(Author's referenc)

Submitted in order to obtain PhD academic degree

Scientific supervisors :

Prof. Dr. Vladimer Margvelashvili MD, PhD, DMSci (Dent)
Head of Department of Dentistry and Maxillofacial Surgery
Tbilisi State University, Georgia

Assoc. Prof. Dr. Manana Kalandadze MD, PhD
Department of Dentistry and Maxillofacial Surgery
Tbilisi State University, Georgia

Tbilisi

2014

Introduction

Selection of the teeth cosmetic cover is of great importance in dentistry (Almong D, Sanchez Marin C, Proskin HM. 2004). Porcelain and ceramic veneering is widely used more than 20 years. Their use is approved from aesthetic as well as practical point of view (Swift EJ Jr, Friedman MJ. 2006, GuessPC, StappertCF, 2008; ChenJH, ShiCX, WangM, 2005).

Veneering was stated as less aggressive treatment [Soeno K, Matsumura PH, Atsuta PM, Kawasaki K.,2001]. Among factors influencing successful veneering, diagnostic approaches, correct selection of contingent, appropriative preparation of teeth and procedure of adhesive attachment are pointed out [Christensen GJ. 2004]. Though in some cases veneering might become the provoking factor of pathological process of oral cavity. The local flora of oral cavity plays an important role in human health. It participates in development of the immune system and provides resistance towards colonization of the pathogenic microorganisms[Lovegrove JM, 2004].

Among the technical complications, veneer loosing and replacing, stripping, cracking could be underlined. Veneer life time depends on the qualification of a dentist as well as on the initial characteristics of the oral cavity(CharlesE. Janus, JohnW. Unger, D.D.S.,AlM. Best. 2006). In spite of the fact,that complications after veneering are known in literature (HeXM, LiuLX, ZhangCB, ZhangM, ShenBY, 2007,Al-WahadniAM, MansourY, KhaderY,2006) there is no formed system of the provocative risk-factors of the complications, which would reveal the comparatively aggressive factor among the multiple reasons. Defining of the predictors of the complication is necessary for increasing of effectiveness of veneering and for preventing of diseases.

These days the relation of veneering complications with the initial characteristics of oral cavity is not completely studied, as well as dependence of the veneering results with the general state of the organism, with the nutrition type, social, biological factors and bad habits. It would be underlined the significance of the action of veneering materials and filling types on the developed processes in the oral cavity, as well as the definition of veneering indications and the counter-indications. The microbiological status of the mucous membrane of the oral cavity after veneering has not been studied yet.

All the above-mentioned conditioned the necessity of studying of the clinical and bacteriological characteristics of the oral cavity while veneering.

Goal:

The study of the clinical-bacteriological characteristics of veneering effect on the periodontal tissue.

Tasks:

1. The frequency of the aesthetic defects and the assessment of the veneering necessity among the population of Georgia.
2. The assessment of risk-factors of teeth aesthetic defects among the population of Georgia
3. The Study of the periodontal characteristics (periodontal index,PMA index) before and after veneering.
4. Verifying risk factors of complications and assessment of the risk of complications after veneering.
5. Verification of the correlations between the veneering complications factors and initial characteristics of the oral cavity
6. Comparative analysis of bacteriological characteristics of oral cavity before and after veneering.
7. Verification of the correlations between the veneering complications factors and the oral cavity microbiological characteristics.

Scientific innovation:

For the first time

1. The hygienic index, PMA index and periodontal index have been studied before and after veneering;
2. The risk factors and the complication risk after veneering have been assessed;
3. The comparative analysis of the oral cavity bacteriological characteristics has been carried out before and after veneering;
4. Veneering complications risk factors have been studied and the complication comparative and attributive risks will be verified for each factor;

5. The correlations have been verified among the veneering complications factors, the oral cavity initial characteristics and the oral cavity microbiological characteristics;
6. The questionary form of the risk factors has been created.

Practical value:

The results of the dissertation will facilitate the following:

- Veneering usage optimization;
- Defining of veneering indication taking into account the periodontal characteristics
- Will be of great assistance for the dentists to prevent the complications and forecast on the concrete clinical occasion.

As the result of the research the complications risk assessment system is worked out as well as the treatment-diagnostic algorithm.

Thesis structure

The thesis consists of the following parts: introduction, review of the literature, results of the own investigations, analysis of the received results, conclusions, practical recommendations, list of the applied literature, which includes 229 sources. The results are reflected in 21 diagrams and 18 tables; the work is illustrated with 10 photos and 4 clinical cases.

Material and methods

The work is based upon research of 330 people of the age group 18 -70 from the general population of Tbilisi, 179 women and 151 men, < 20 years- 28, 20-40 years – 172, 41-60 years - 108 and over 60 years - 22 patients.

The research was carried out in several directions. In order to verify the tooth aesthetic defects spreading and veneering necessity the retrospective research has been held, the research type – the case-control. By means of the alternative analysis 330 patients have been studied, 121 of which required veneering. The veneering necessity provoking factors were verified as well as the comparative chance.

In order to verify the veneering complications the patients group has been chosen (64 patients with veneers, who have had the veneers for more than 3 years), among them 40

women and 24 men, the age groups of which were the following: under 20 years – 4 patients, 20-40 years – 35 patients, 40-60 years – 23 patients and over 60 years -2 patients.

The correlations were verified between the veneering complications and the patient's initial characteristics.

In order to verify cavity status before and after veneering we have prospectively studied 65 patients with the veneering necessity, have undergone veneering with the composite material of the firm Estelite Sigma Quick(Tokyo, Japan) from V. Margvelashvili dental clinic contingent. Among them, were 36 women and 29 men, under 20 years–6, 20-40 years - 40, 40-60 years –18 and over 60 years – 1 patient. Number of those patients, which did not have the primary veneer was 37, and with the primary veneer - 28.

Inclusion criteria:

The patients entering in V. Margvelashvili Clinic in 2005 – 2009.

Exclusion criteria:

Sstem diseases, diabetes, autoimmune diseases, severe forms of periodonties and paradontosis

We have studied the patients' characteristics according to the questionnaire, which included the following groups of the factors: gender, age, hygienic habits, bad habit, environment factors, accompanying diseases, mucous membrane traumas, medicine intake, nutrition type, diet, occlusion type, oral cavity diseases, dental indexes, veneering post complications.

All the factors obtained the definitive significance (1 or 0).

Characteristics of the oral indexes were compared according to the average significances and their frequencies, for which the factors were coded (table 1).

Table 1

Assessment of the oral cavity indexes

Hygienicindex [10]HI	Assessment	State	Code
	1,1-1,5	Good	1
	1,6-2	Satisfactory	2

	2,1-2,5	Non-satisfactory	3
	2,6 – 3,4	Bad	4
	3,5-5	Very bad	5
PI	0,1-1	Healthy gums	1
	1-2	initial form	2
	2-3,5	Average	3
	>3,5	Severe	4
PMA index (%)	<30	mild	1
	30-60	moderate	2
	>60	severe	3

Bacteriological research was carried out before veneering and 3 weeks later.

Microbiological analysis was carried out with the microbes identifying and antimicrobial sensitivity disco-diffusive method— over the microbiological analyzer VITEK 2 Compact. (VITEK 2 Compact, MIC-Minimum Inhibitory Concentration, disc diffusion-antimicrobial susceptibility).

According to the Fiodorov-Volodkina method (Федоров Ю.А., Володкина В.В.)the mouth cavity hygiene state is defined in the following way: 43, 42, 41, 31, 32, 33 teeth vestibular surface is painted with Schiller-Pisarev, Lugol or other paints. The tooth crown painted surface is assessed according to 5 points system:

1. Absence of paint;
2. $\frac{1}{4}$ of the tooth crown paint;
3. $\frac{1}{2}$ of the tooth crown paint;
4. $\frac{3}{4}$ of the tooth crown paint;
5. Tooth crown complete surface paint.

The calculation formula for the hygiene index:

$$N = \frac{\sum}{6},$$

Where Σ – the sum of all the 6 teeth points;

6. Number of the teeth to be investigated

According to the results of N the hygiene level of the mouth cavity is defined:

1.1 – 1.5 points – good level of hygiene;

1.6 -2.0 points-satisfactory;

2.1 - 2.5 points – non-satisfactory;

2.6 – 3.4 points - bad;

3.5 – 5.0 points – very bad.

The Fiodorov-Volodkina hygiene index might not have the significance more than 5 points and less than 1 point.

Periodontal index - PI(Russell, 1956) defines the gums inflammation, presence of the periodontal pockets with the alveolar bone final resorption and losing a tooth. State of all the teeth is assessed from 1 point to 8 points, and the index is calculated proportionally of the points sum divided into the number of the teeth. In case of the clinically healthy gym that is divided in the frameworks 0,1-0,2, in case of gingivitis 0,1-1, in case of mild gingivitis and starting of the destructive processes 0,5-1,9, the developing and the terminal phases- 1,5-5,0.

Statistical analysis

- Statistical processing included the average values(M) and their average square deviation calculation Std,
- For the qualitative indicators we calculated the average frequency , we carried out assessment of the differences among the groups with the F criterion, and the frequencies of the indicators before and after veneering according to Wilcoxon ranks test.
- The qualitative characteristics were assessed with the T criterion.
- For defining of the interrelation among the oral cavity status and the general state of an organism the Spearman's range correlative analysis has been carried out with 95% probability $p<0,05$ [Петри А., Сэбин К, 2003; Гайяtt Г., Ренни Д,2003].
- The comparative chance of the veneering necessity was assessed with the approving medicine methods [Власов В.В,2005;Флетчер Р., Флетчер С., 1998].

- Forecasting of the veneering complications has been carried out with the regressive analysis.

Mathematical provisioning has been carried out by means of the program packet SPSS 17.0.

Research results

3.1. Characteristics of the own material

Among 330 patients studied by us veneering was necessary for 121(36.7%), 71 of which were women and 50 were men. The patients with the veneering necessity according to the age were divided as follows: under 20 years - 6, 20-40 years - 66, 41-60 years - 46, over 60 years - 3.

119 patients used to brush their teeth regularly, 39 patients used mouth rinse, and 24 patients used flosses.

The study of bad habits among the patients with the veneering necessity showed that there were 79 smokers, 38 patients consumed alcohol in large amounts, and 1 patient was drug-addicted. The action of the malicious environmental factors was verified in 14 cases.

In order to study the general state of the organism the patients general diseases have been reviewed. The digestive tract pathologies were indicated among 70 patients, the endocrine diseasees – among 30 patients, and the cardiovascular diseases – with 33, hypovitaminosis - with 16, focal infection base - among 18, the chronic respiratory infections – among - 9.

The mucous membrane traumas were verified with 22 patients, 21 of which had mechanic traumas and 1 - chemical trauma. 43 patients with the necessity of veneering used to take medicines.

Studying of the nutrition type among the patients with the veneering necessity showed that 99 patients used preferably the carbonate food, 97 of which ate sweets; the protein food was used by 101 patients, the frequent use of spicy food was indicated with 71 patients, the obligatory allergens were verified with 27 patients; fast food was preferred by 56 patients; the healthy diet was verified with 63 patients; the special diet was kept by 34 patients, coffee abusers were 81 patients; and the synthetic drinks were applied for by 71 patients.

Among the patients with the veneering necessity, the orthognathic occlusion was verified with 34 patients, deep – with 31, direct – with 13, crossed – with 20, open – with 2, mesial – with 4, distal – with 17 patients.

Caries was indicated with 114 patients, among them compensated – with 24, subcompensated – with 52, and decompensated caries – with 38 patients.

Periodontitis was verified with 55 patients, paradontosis mild form- with 4 and gingivitis – with 37 patients.

The other diseases of the oral cavity mucous membrane were verified with 17 patients, and the old veneer – with 65 patients. The post-veneering following complications were verified: partial or complete exfoliation of filling – with 30, filling color change -with 53, indication of the demarcation line – with 38, recurrent caries - with 33, gingivitis–with 17, periodontitis - with 29, and gum recession–with 18, verification of the pathological microflora – with 45 patients.

Among the investigated people ,we studied veneering necessity and according to that, we divided the patients, as the result of which by means of the alternative analysis we compared their initial factors.

After the research at the following level, we studied the comparative chance of the veneering necessity for each initial factor (table 2).

Table 2

Assessment of the comparative chance of the veneering necessity

		OR	95%CI	
bad habits	Smoking	1.82	1.13	12.37
	Alcohol abuse	0.84	0.52	17.43
	Drug abuse	0.28	0.03	786.59
Concomitant/accompanying	Digestive tract	1.94	1.22	14.26

diseases	pathologies			
	Endocrine diseases	1.14	0.67	35.08
	Cardiovascular diseases	0.71	0.44	18.93
	Vitamin deficiency	1.52	0.75	168.80
	Focal infection bases	65.57	8.80	76.22
	Respiratory infections	0.65	0.29	389.78
	Mechanical traumas	2.23	1.27	58.95
Medications intake		2.14	1.34	24.56
Nutrition type	Preferable carbonate	2.89	1.51	13.15
	Preferably protein	0.80	0.43	4.04
	Frequent intake of spice food	0.79	0.50	6.69
	Obligatory allergens	1.02	0.59	38.32
	Sweets	1.87	1.07	9.85
diet type	Preferably fast food	1.03	0.66	12.04
	Healthy food	0.94	0.60	9.32
	Special diet	0.87	0.53	21.72
	Coffee abuse	1.75	1.10	12.51
	Use of synthetic drinks	1.30	0.83	11.02
Occlusion	Orthognathic	0.71	0.43	21.15
	Deep	1.21	0.72	33.15
	Direct	0.81	0.41	132.85
	Cross	1.62	0.86	97.08
	Open	0.69	0.13	562088.33
	Mesial	0.32	0.11	5236.91
	Distal	2.26	1.09	181.68

oral cavity diseases	Compensated caries	0.42	0.25	17.62
	Subcompensated caries	2.04	1.28	23.48
	Decompensated caries	1.33	0.82	24.36
	Gingivitis	1.62	1.02	19.20
	Paradontosis	0.28	0.09	4527.37
	Periodontitis	1.02	0.63	22.13
	oral cavity mucous membrane disease	1.33	0.61	313.16
Old veneering complications	Filling partial or direct exfoliation of filling	34.12	7.98	52.11
	Filling color change	80.67	19.15	509.48
	appearance of demarcation line	95.23	12.86	714.61
	Recurrent caries	25.75	7.69	39.87
	Gingivitis	11.22	3.22	68.99
	Periodontitis	0.79	0.43	69.79

As it is indicated in the table, the veneering necessity comparative chance is defined by the following factors: smoking, digestive tract pathologies, focal infection basis, medications intake, preferably carbonate nutrition, frequent sweets use, coffee abuse, distal occlusion, and subcompensated caries.

Among the old veneering complications, the following are verified: gingivitis, partial or complete exfoliation of filling, filling color change, verification of demarcation line, recurrent caries, and pathological microflore.

Therefore, the factors were verified, defining the necessity of veneering among Georgian people

Questionnaire
preconditioning factors of veneering necessity

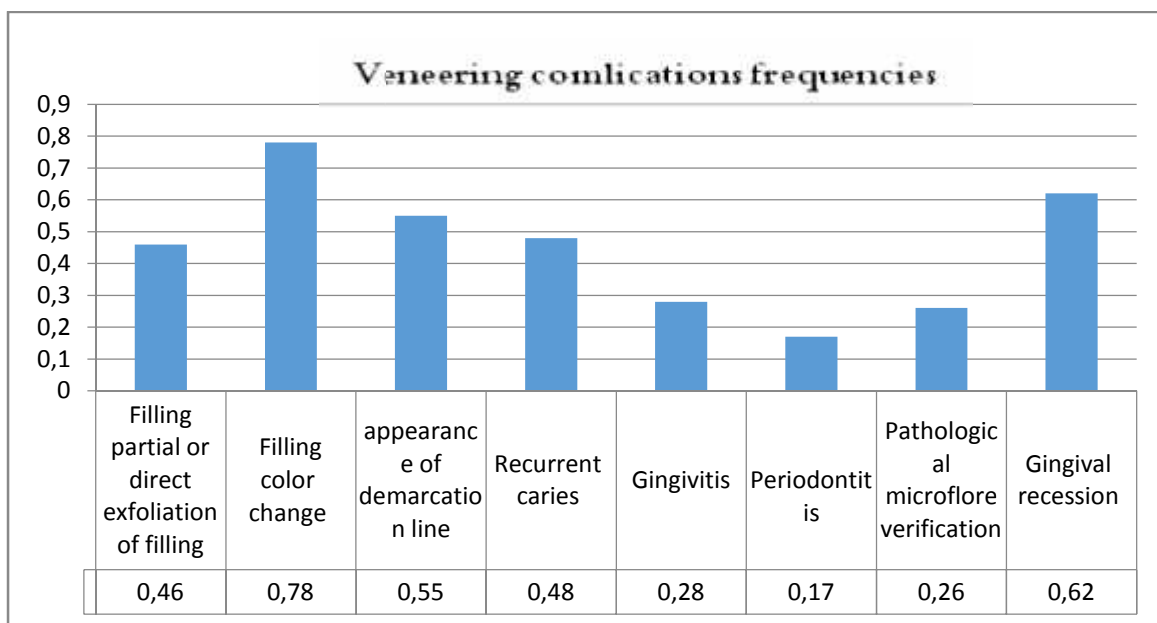
1. Smoking	No–0, Yes–1
2. Digestive tract pathologies	No–0, Yes–1
3. Focal infections basis	No–0, Yes–1
4. Mechanic trauma	No–0, Yes–1
5. Medications intake	No–0, Yes–1
6. Preferably carbonate nutrition	No–0, Yes–1
7. Frequent sweets use	No–0, Yes–1
8. Coffee abuse	No–0, Yes–1
9. Mesial occlusion	No–0, Yes–1
10. Distal occlusion	No–0, Yes–1
11. Compensated caries	No–0, Yes–1
12. Subcompensated caries	No–0, Yes–1
13. Gingivitis	No–0, Yes–1
14. Old veneering complications	No–0, Yes–1
15. Filling partial or direct exfoliation	No–0, Yes–1
16. Filling color change	No–0, Yes–1
17. Verification of demarcation line	No–0, Yes–1
18. Recurrent caries	No–0, Yes–1
19. Gingivitis	No–0, Yes–1
20. Pathological microflore verification	No–0, Yes–1
21. Old veneer presence	No–0, Yes–1

In order to raise the efficiency of veneering, it is necessary to define the complications predictors, for which retrospectively 65 patients with the old veneers have been studied, at least 3 years later after veneering.

The statistical analysis has shown that the number of the clinically satisfactory veneering is equal to 59%.

Frequency of the verified complications during our research is shown in the diagram 1. As it is obvious from the diagram, among the complications, the most frequent is the color change, and the least frequent are the mucous membrane diseases

Diagram 1



In order to verify the impact of the old veneer over the state of an oral cavity, we have compared the patients with and without veneering.

Table 3

statistical assessment of average values of dental indexes

	Presence of the old veneer		Absence of the old veneer		t	p
	N =266		N =64			
	M	StD	M	StD		
Hygiene index	2.36	0.855	2.23	0.879	1.10	0.2722

Periodontal index	1.94	1.557	2.09	1.630	-0.66	0.5110
PMA index	1.61	0.660	1.39	0.626	2.40	0.0183

Comparison of the dental indexes has shown that in the group of patients with the old veneers reliable increase of PMA index was verified. At the next level we have studied correlation between the veneering complications and the patients' initial factors.

As the research has verified, the partial or direct exfoliation of filling is correlated reliably and positively with the following factors: endocrine diseases, cross occlusion and decompensated caries and the negative – the usage of floss, distal occlusion and compensated caries.

Filling color changes correlated reliably and positively with the following factors: patient's age 41-60, focal infections bases, coffee abuse, and gingivitis; and the negative – patient's age 20-40, and compensated caries.

Verification of demarcation line is correlated reliably and positively with the following factors: mechanic trauma, synthetic drinks usag, necessity of veneering.

Recurrent cariesis correlated reliably and positively with the following factors: digestive tract pathologies, focal infections basis, preferably carbonate nutrition, and decompensated caries.

Gingivitis correlated reliably and positively with gingivitis before veneering.

Periodontitis is correlated reliably and positively with synthetic drinks usag.

Gums recessionis correlated reliably and positively with the following factors: focal infections bases, PMAindex, and direct occlusion; and the negative - 20-40 years.

Pathological microflore verification is correlated reliably and positively with the following factors: , smoking, digestive tract pathologies, endocrine diseases, focal infections base, decompensated caries, gingivitis, hygiene index, periodontal index, and PMA index; and the negative–floss useage , and orthognathic occlusion.

Oral cavity mucous membranes tatus studies before and after veneering has verified that among those patients, which needed veneering, before veneering the microbes were indicated with $49(0,75\pm0,447)$ patients, among them associations were verified in 15 cases, in particular– *Candida-albicans*+*Streptococcus-mutans*– in 3case; *Streptococcus mutans*+*Stenotrophomona maltophilia* – 3; *Streptococcus sanguinis*+*sStreptococcus mutans* – 4, *sStreptococcus mutans*+*sStenotrophomona maltophilia* – 1; *sStenotrophomona maltophilia*+*pPorphyromona gingivalis* – 1; *sStreptococcus sanguinis*+*pPrevotella intermedia* – 1; *sStreptococcus mutans*+*pPorphyromona gingivalis* – 1; *sStreptococcus salivarius*+*sStreptococcus mutans* – 1cases.

The oral bacterial status before and after veneering is given on the diagram 2. As it is obvious from the diagram, the microbial contamination after veneering is decreased.

The patients' characteristics distribution frequency according to the bacterial contamination is given in the table 4. The oral cavity bacterial contamination depends on the patients' life-style. In the patients' group with the microbes reliably high is the preferably carbonate nutrition type, sweets frequent intake and direct occlusion.

The oral cavity microbiological characteristics before and after veneering

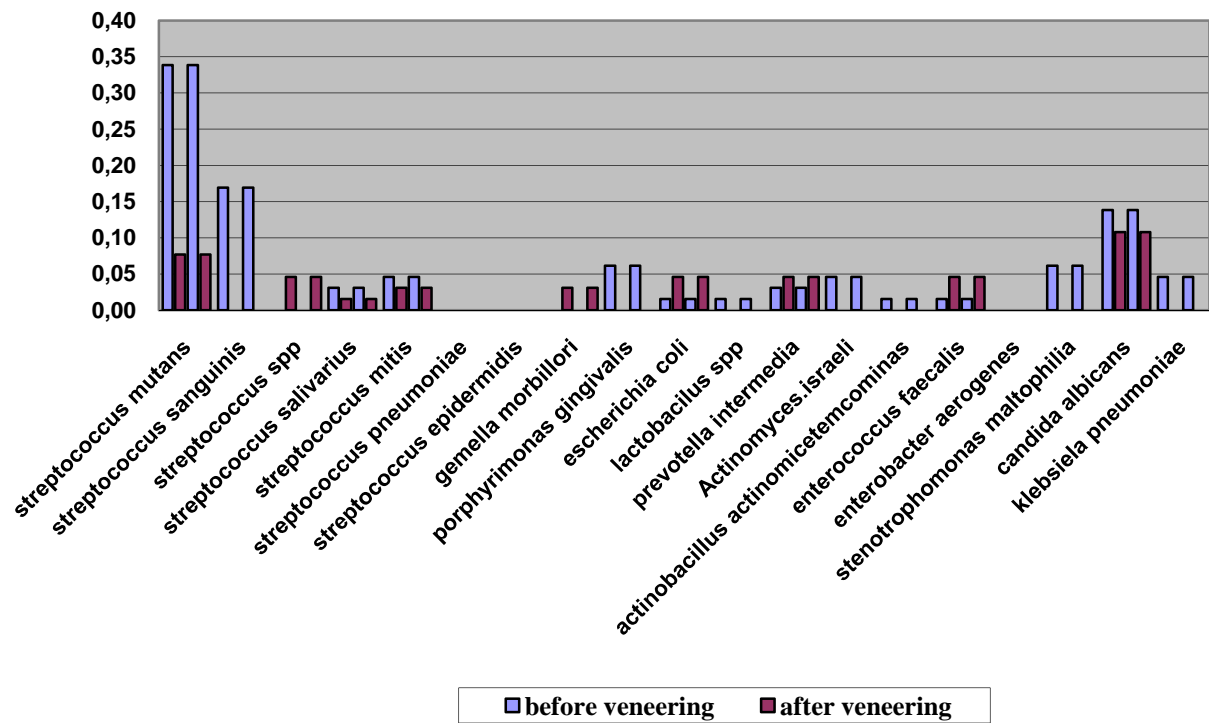


Table 4

Statistical assessment of oral cavity characteristics according to the microbial colonization

Factors	Patients with microbial contamination n=49		Patients without microbial contamination n=16		F	P
	Mean	Std. Dev.	Mean	Std. Dev.		
Sweets frequent intake	0,25	0,447	0,55	0,503	4,55	0,0368
Direct occlusion	0,38	0,500	0,14	0,354	4,20	0,0446

Decompensated caries	0,06	0,250	0,31	0,466	3,98	0,0500
Filling color change	0,25	0,447	0,55	0,503	4,55	0,0368
Recurrent caries	0,00	0,000	0,45	0,503	12,64	0,0007

decompensated caries and filling color change are reliably high in this group a recurrent caries is reliably more frequent . At the next level of the research, we have studied bacterial contamination before and after veneering 21 days later (table 5)

Table 5

Bacterial contamination before and after veneering 21 days later (sign factors) (n=65)

Factors name	Before veneering			After veneering			Z	P
	n	M	Std	N	M	Std		
Bacterial contamination	49	0,75	0,434	25	0,38	0,490	-3,46	0,0005
Streptococcus mutans	22	0,34	0,477	5	0,08	0,269	-3,71	0,0002
Streptococcus sanguinis	11	0,17	0,378	0	0,00	0,000	-3,32	0,0009
Porphyromonas gingivalis	4	0,06	0,242	0	0,00	0,000	-2,00	0,0455

After veneering the quantity of bacterial contamination,as well as the frequency of Streptococcus mutans, Streptococcus sanguinis, Stenotrophomonas maltophilia and Porphyromonas gingivalis have been reliably decreasedOn the next level we studied the bacterial contamination among the patients with old veneer and compared them to the patients without old veneer(table 6).

Table 6

The statistical assessment of bacterial contamination sign factors in case of old veneer

Factors name	Patients without old veneer (n=37)	Patients with old veneer (n=28)	
--------------	------------------------------------	---------------------------------	--

	Mean	Std. Deviation	Mean	Std. Deviation n	F	P
Bacterial contamination before veneering	0,65	0,485	0,93	0,262	7,59	0,0078
Streptococcus mitis	0,00	0,000	0,11	0,315	3,95	0,0515
Porphyrimonas gingivalis	0,00	0,000	0,14	0,356	5,48	0,0225
Stenotrophomonas maltophilia	0,00	0,000	0,14	0,356	5,48	0,0225
Candida albicans	0,26	0,448	0,00	0,000	9,75	0,0028
Klebsiela pneumonia	0,00	0,000	0,11	0,315	3,95	0,0515

Among those patients with the primary veneers Streptococcus mutans, Streptococcus mitis, Porphyrimonas gingivalis, Stenotrophomonas maltophilia, Klebsiela pneumonia bacterial contamination frequency were reliably increased; Candida albicans contamination among the patients with the primary veneer were not verified.

Bacterial contamination after veneering shows reliable positive correlation with the following factors: age 41-60 years, smoking, focal infections base, and the negative – age 20-40 years. Bacterial contamination before veneering shows reliable positive correlation with the following factors: sweets frequent usage, decompensated caries, recurrent carried, filling color change, verification of demarcation line, pathological microflora, and presence Of old veneer.

Streptococcus mutans shows reliable positive correlation with the following factors: digestive tract pathologies, filling color change, the appearance of demarcation line, recurrent caries, periodontitis, and bacterial contamination before veneering.

Streptococcus sanguinis shows reliable positive correlation with the following factors: females, age - 20-40 years, age-41-60 years, malicious industrial factors, digestive tract pathologies, and recurrent caries.

Streptococcus mitis shows reliable positive correlation with the following factors: subcompensated cries, and presence of the old veneer.

Porphyromonas gingivalis shows reliable positive correlation with the following factors: age – over 60 years, preferably protein nutrition, sweets, special diet, deep occlusion, filling partial or direct exfoliation $-r=0,2707$, $p<0,0292$, filling color change, periodontitis and presence of the old veneer.

Escherichia coli shows reliable positive correlation with the following factors: alcohol, and cross occlusion.*Prevotella intermedia* shows reliable positive correlation with the following factors: open occlusion, periodontitis, filling partial or direct exfoliation, and gingivitis.

Actinomycete Israeli shows reliable positive correlation with the following factors: cross occlusion, and subcompensated caries.

Actinobacillus actinomycetemcominas shows reliable positive correlation with the following factors: open occlusion, periodontitis and oral cavity mucous membrane disease.

Stenotrophomonas maltophilia shows reliable positive correlation with the following factors: deep occlusion, subcompensated caries, filling color change, the appearance of demarcation line, recurrent caries, gingivitis, and presence of the veneer.

Candida albicans shows reliable positive correlation with the following factors: malicious ecological factors of the living area, and periodontitis.

Klebsiela pneumonia shows reliable positive correlation with the following factors: endocrine diseases, special diet, compensated caries and presence of the old veneer.

Among the oral cavity indexes, there is the reliable positive correlation. The oral cavity bacterial contamination shows reliable positive correlation with the presence of the old veneer . *Streptococcus mitis* shows reliable positive correlation with the presence of the old veneer, hygiene and periodontal indexes, and *Candida albicans*—with the presence of the old veneer, hygiene and PMA indexes.

After veneering, *Streptococcus mitis* shows reliable positive correlation with the periodontal index, and *Gemella morbilliori* and *Candida albicans*- with PMA index.

Therefore:

- Oral cavity bacterial status is correlated with the general state of oral cavity and an organism
- Oral cavity microbial contamination is influenced by the presence of the old veneer.

After veneering the bacterial status of oral cavity is improved.

Conclusions:

1. Among the adult population of Georgia the veneering necessity is verified with 36.7% of the investigated people, among them subcompensated caries is indicated with- 46%, old veneer complications –filling partial or direct exfoliation with- 25%, filling color change with- 0.44%, the appearance of demarcation line with – 31%, and recurrent caries with- 27% persons.
2. The risk factors of teeth aesthetic defects have been represented and the veneering necessity comparative chance have been defined by the following factors: smoking, digestive tract pathologies, focal infections basis, mechanic damages, medications intake, preferably carbonate nutrition, sweets frequent use, coffee abuse, distal occlusion, gingivitis, and pathological microflore verification.
3. PMA index-is in reliable positive correlation with gums recession, pathological microflore verification; hygienic index and periodontal indexes -with the verification of - pathological microflora.
4. Presence of the old veneer defines the increase of PMA index,; the presence of old veneers in the oral cavity is in reliable positive correlation with oral bacterial contamination, *streptococcus mitis* and *candida albicans*. filling partial or complete exfoliation, filling color change, the appearance of demarcation line, recurrent caries,

and gingivitis are verificated with high frequency and define the comperative chance of repetitive veneering nessassity among old veneering complications.

5. The veneering complications are correlated with the patient's initial factors. The following factors such as endocrine diseases, cross occlusion, decompensated caries, pathological microflore verification show a reliable positive correlation with the filling partial or direct exfoliation; and the negative correlation is verified with floss useage, distal occlusion, compensated caries; The following factors such as: patient's age 41-60; focal infections base; coffee abuse; gingivitis; verification of demarcation line; pathological microflore verification is in a reliable positive correlation with the filling color change ; and the negative correlation—patient's age 20-40; compensated caries; the following factors such as: digestive tract pathologies; focal infections bases; preferably carbonate nutrition; decompensated caries shows a reliable positive correlation with the recurrent caries.
6. Among those people with microbial contamination preferably carbonate nutrition type, sweets frequent usag, direct occlusion, decompensated caries is reliably high. filling color change and the recurrent caries are more frequently developed.
7. After veneering reliably decreases the general bacteriological contamination as well as the frequency of a *Streptococcus mutans*, *Streptococcus sanguinis*, *Stenotrophomonas maltophilia* and *Porphyromonas gingivalis*. Before veneering *Streptococcus mitis* verifies reliable positive correlation with the hygienic and the periodontal indexes. *Candida albicans* – with hygienic and PMA indexes. after veneering *Streptococcus mitis* verifies reliable positive correlation with the periodontal index, and *Gemella morbilliori* and *Candida albicans* - with PMA index.

Practical recommendations

1. In order to avoid the necessity of veneering, it is important to verify the contingent with the risk of disease and holding the prophylactic arrangements;

2. After veneering for each particular patient, it is recommended to verify the complications risk factors in order to avoid them(oral cavity curing, verification and treatment of digestive tract deseases, defining of the bacterial status, etc.);
3. it is recommended monitoring of oral indexes among the patients of the risk groups after veneering;
4. Defining the complications risk factors will provide us with the veneering complications forecast and give us the opportunity to optimize the treatment.

The publications on the thesis topic:

1. Ivanishvili R. G., Margvelashvili V. V., Kalandadze M. N. Correlations complications after cosmetic veneer treatment with initial parameters of oral cavity] //Georgian medical news. – 2010. – №. 182. – C. 16.
2. Ivanishvili R., Margvelashvili V., Kalandadze M. [Assessment prevalence and risk factors of aesthetic defects dens and need veneers in a population Georgia] //Georgian medical news. – 2010. – №. 183. – C. 13-17.
3. Bilder L, Machtei E, Margvelashvili M, Ivanishvili R, Levin L Traumatic Dental Injuries among Children in Georgia: A Pathfinder Study. PER/IADR Congress, Helsinki, Finland.- 2012
4. Ivanishvili R., Taboridze I., The effect of the direct composite veneers restorations on the microbial status of oral cavity. European Scientific Journal. July 2013. -61- 71.